

第363回  
地震防災対策強化地域判定会

記者会見資料



平成28年7月25日

気象庁

この資料は、国立研究開発法人防災科学技術研究所、北海道大学、弘前大学、東北大学、東京大学、名古屋大学、京都大学、高知大学、九州大学、鹿児島大学、国立研究開発法人産業技術総合研究所、国土地理院、国立研究開発法人海洋研究開発機構、青森県、東京都、静岡県及び神奈川県温泉地学研究所、気象庁のデータを用いて作成しています。また、IRIS の観測点（台北、玉峰、寧安橋、玉里、台東）のデータを用いて作成しています。また、5月9日から 2016 年熊本地震緊急観測グループのオンライン臨時観測点（河原、熊野座）のデータを用いて作成しています。

以下の資料は暫定であり、後日の調査で変更されることがあります。

## 目次

### 定例資料

1. 地震活動概況	P. 1-7
2. 注目すべき地震・地殻活動	P. 8-11
3. 活動指數	P. 12-16
4. 静穏化・活発化領域の抽出	P. 17-18
5. 領域別地震活動	P. 19-28
6. ひずみ計による地殻変動観測	P. 29-59
7. GNSS による面的地殻変動監視	P. 60-69
8. 東海・東南海地域の海底津波計記録の長期変化	P. 70
9. ひずみ変化量から推定した長期的ゆっくりすべり	P. 71-72

## 平成 28 年 6 月 1 日～平成 28 年 7 月 19 日の主な地震活動

- 想定震源域およびその周辺 ;  $M \geq 3.0$  または震度 1 以上を観測した地震
- ・期間内では、特に目立った活動はなかった。

〈期間外〉

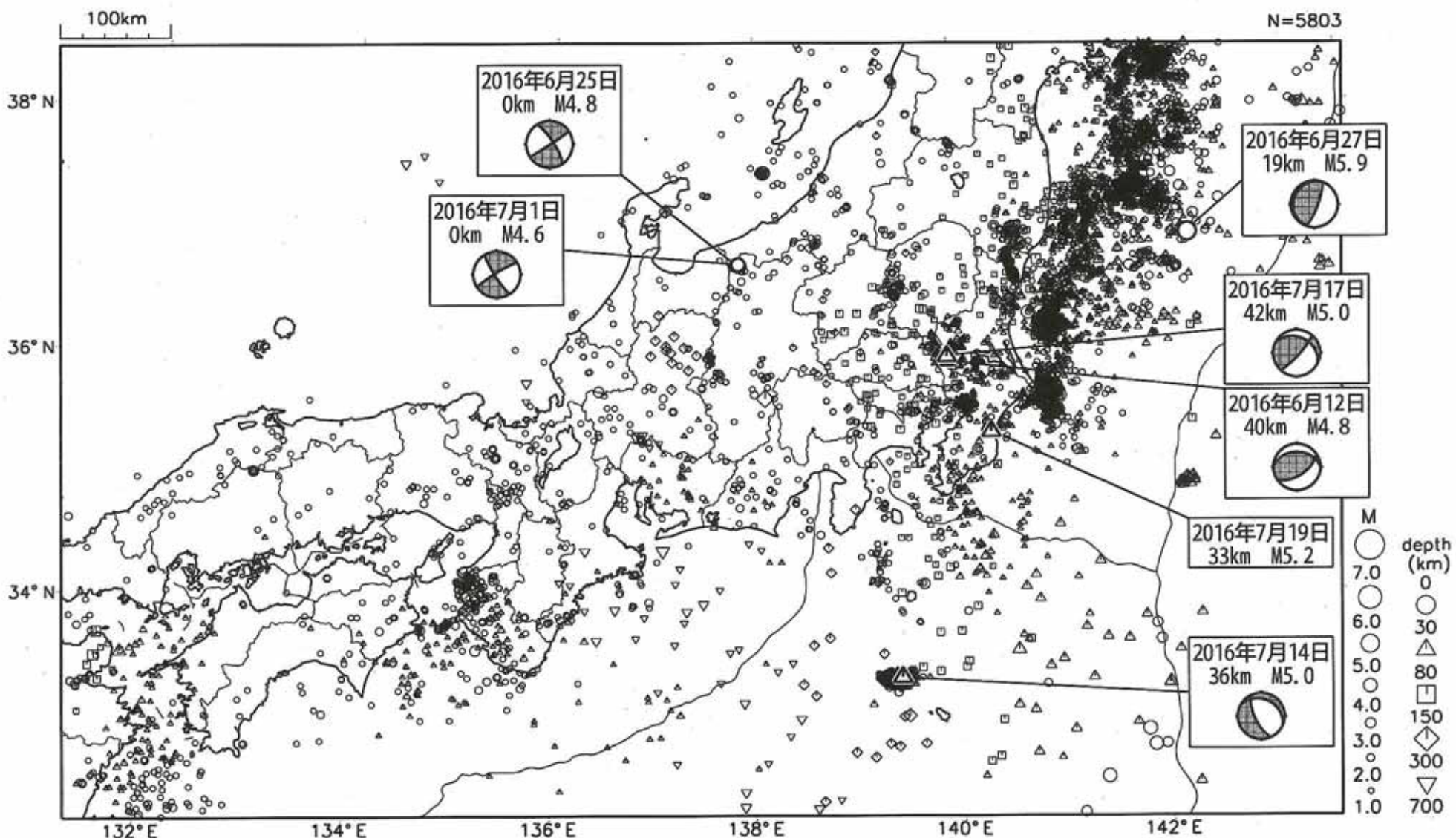
月 / 日	時 : 分	震央地名	深さ (km)	M	最大 震度	発震機構
7/20	3:06	駿河湾	19	3.9	2	北西-南東方向に張力軸を持つ横ずれ断層型(自動解)

※ 深部低周波地震（微動）活動

- ・7月3日から4日にかけて、長野県南部を震央とする深部低周波地震を観測した。

※2016年4月1日以降の震源では、Mの小さな地震は、自動処理による震源を表示している場合がある。自動処理による震源は、震源誤差の大きなものが表示されることがある。

東海地方とその周辺の広域地震活動 2016年6月1日～7月19日



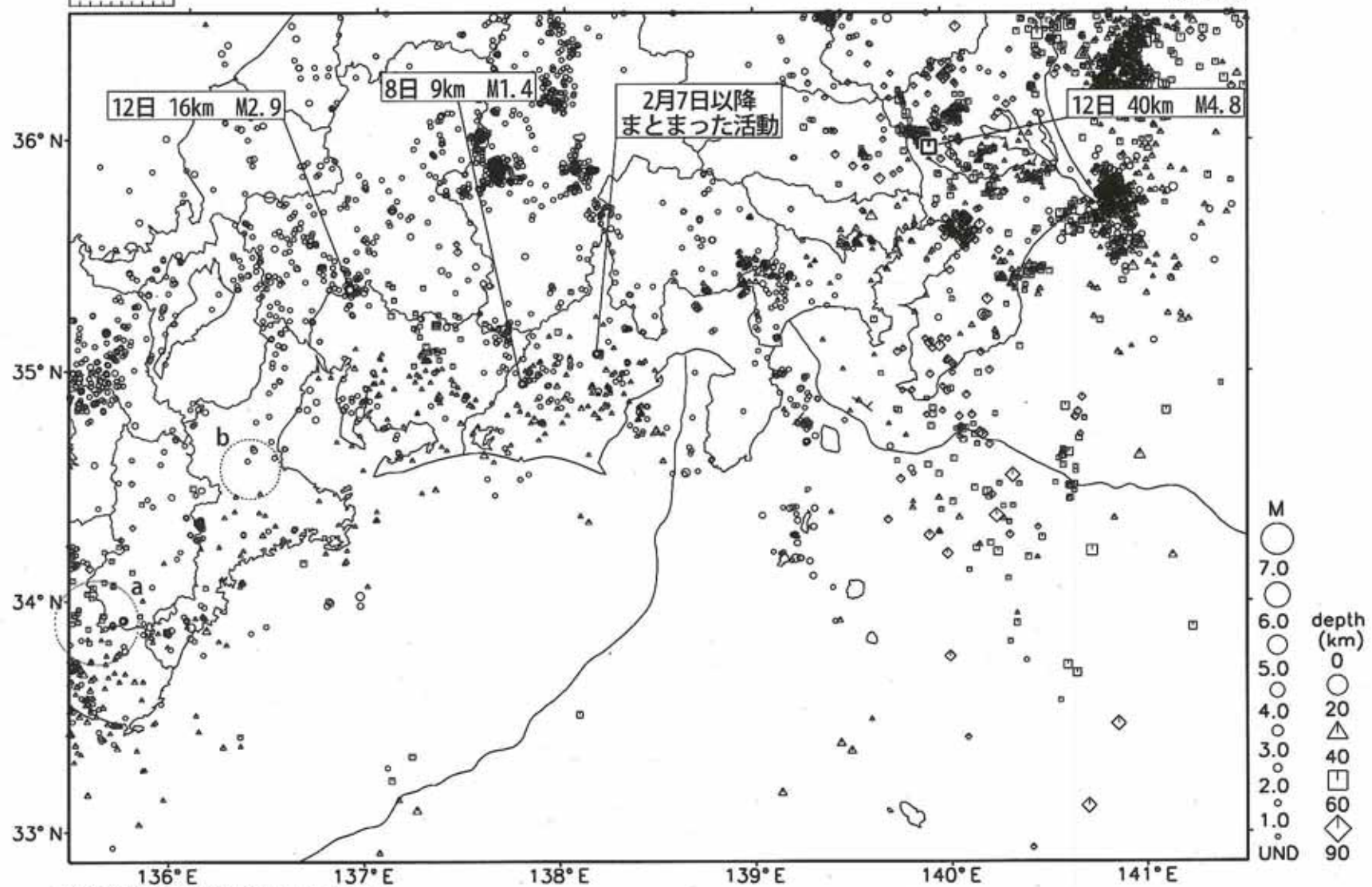
図中の吹き出しへは、陸域M4.5以上・海域M5.0以上とその他の主な地震

気象庁作成

東海・南関東地域の地震活動 2016年6月（1日～30日）

50km

N=4082



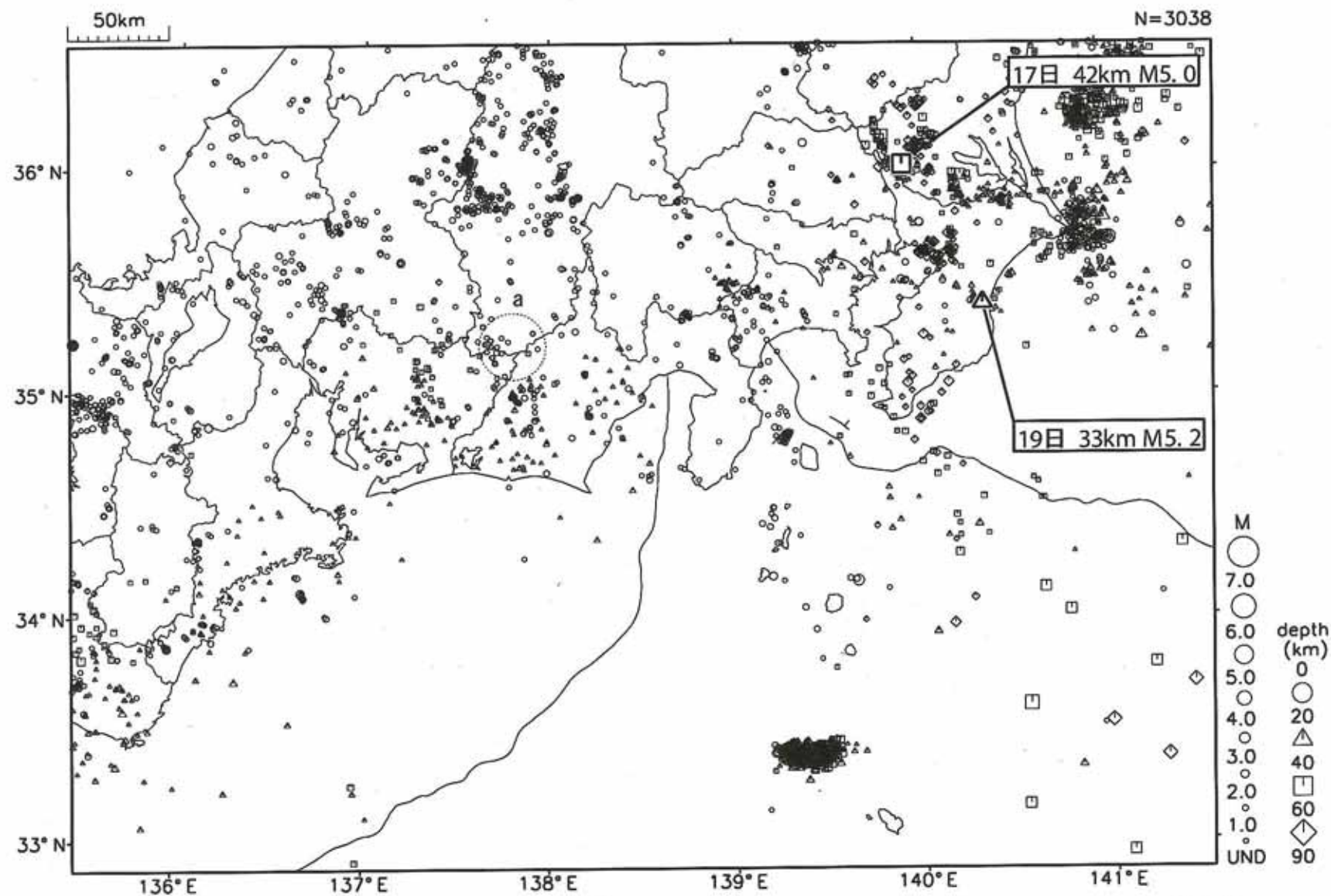
精度良く震源決定された地震のみを表示している。

25日から29日に、奈良県から和歌山県南部にかけて（領域a）を震央とする深部低周波地震を観測した。

28日に、三重県中部（領域b）を震央とする深部低周波地震を観測した。

気象庁作成

東海・南関東地域の地震活動 2016年7月（1日～19日）

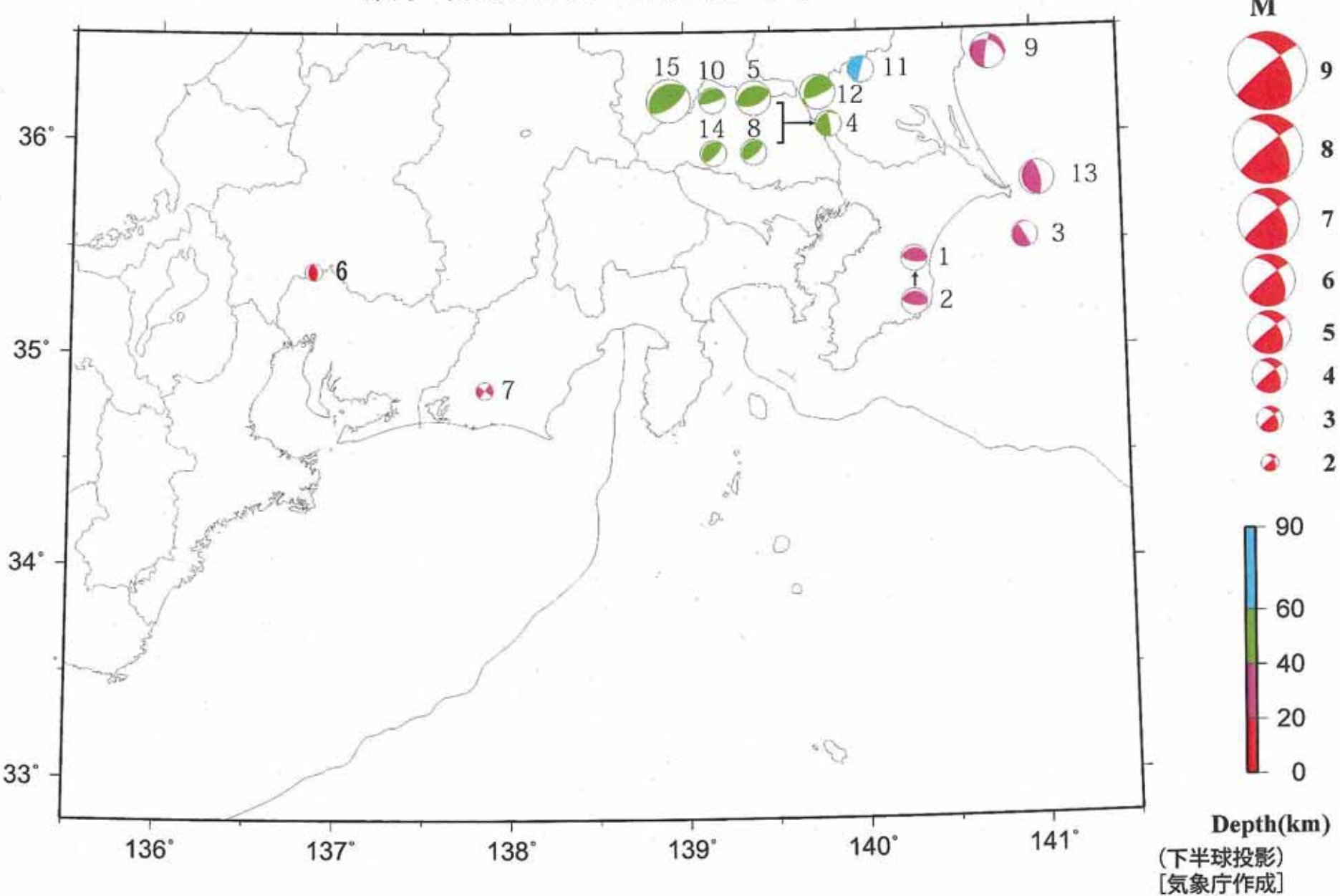


精度良く震源決定された地震のみを表示している。  
3日から4日に、長野県南部（領域a）を震央とする深部低周波地震を観測した。

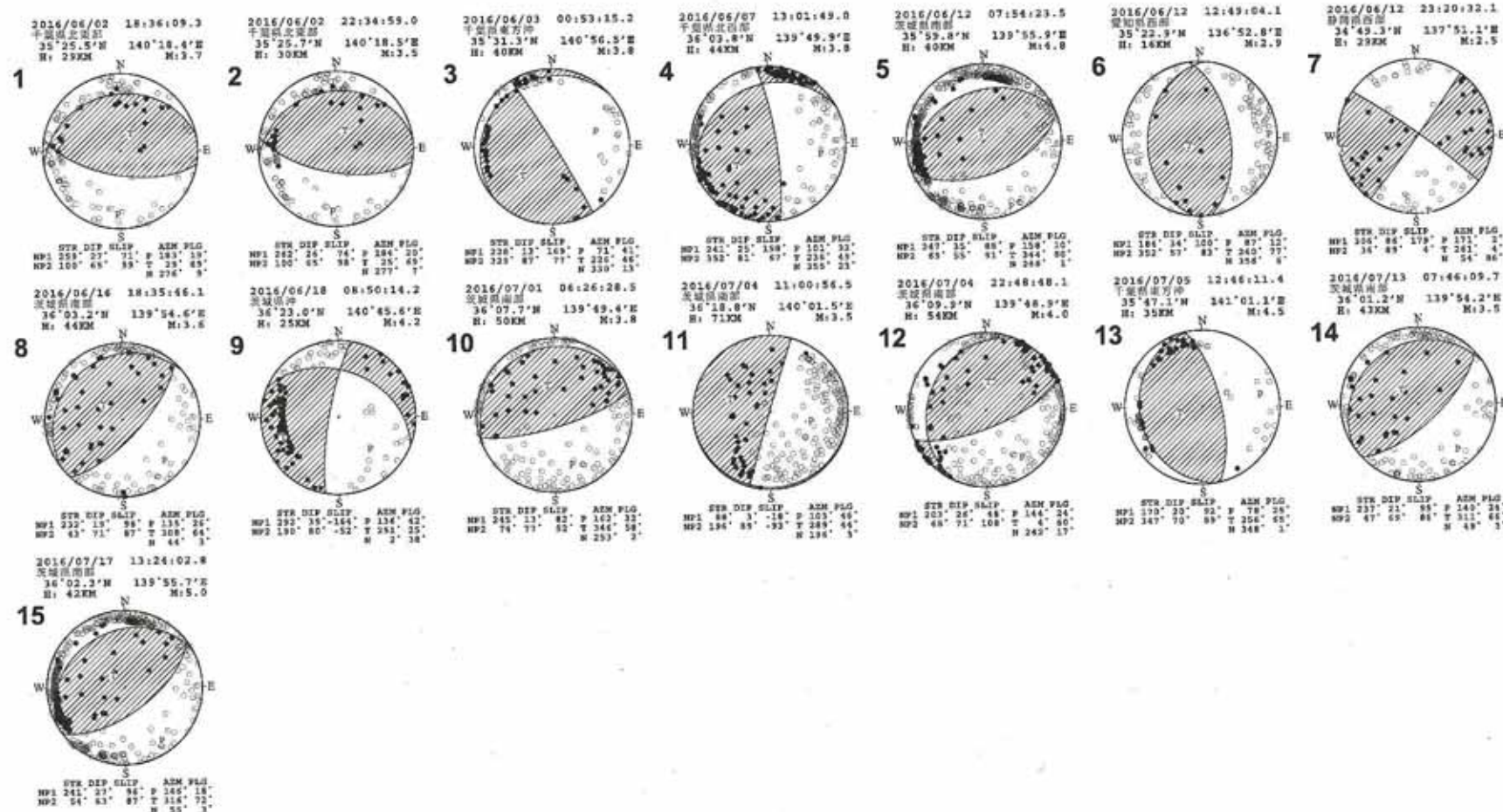
気象庁作成

# 東海・南関東地域の発震機構解（1）

Period:2016/06/01 00:00—2016/07/19 24:00



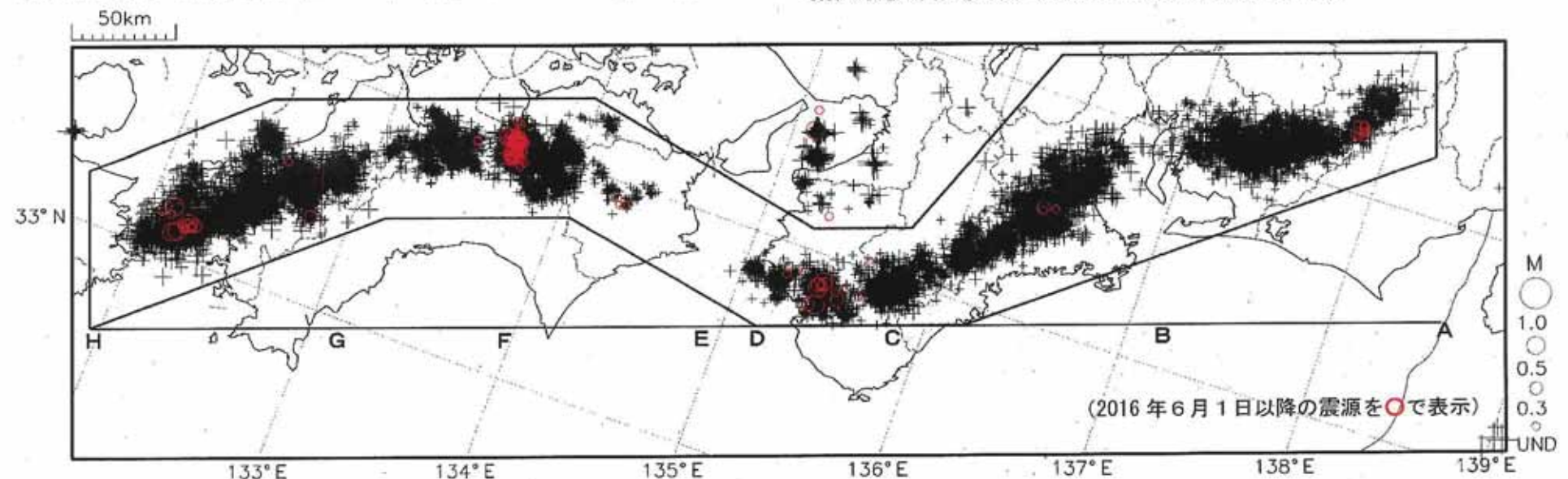
## 東海・南関東地域の発震機構解（2）



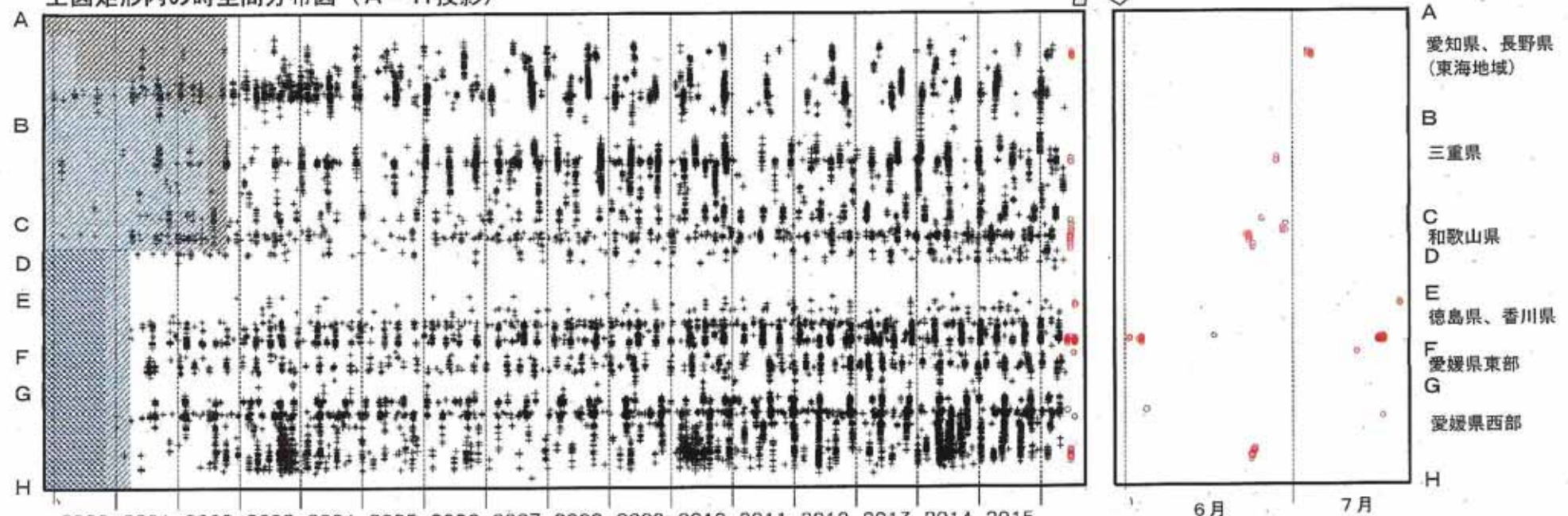
(下半球投影)  
[気象庁作成]

## 深部低周波地震活動（2000年1月1日～2016年7月19日）

深部低周波地震は、「短期的ゆっくりすべり」に密接に関連する現象とみられており、プレート境界の状態の変化を監視するために、その活動を監視している。



上図矩形内の時空間分布図（A-H投影）

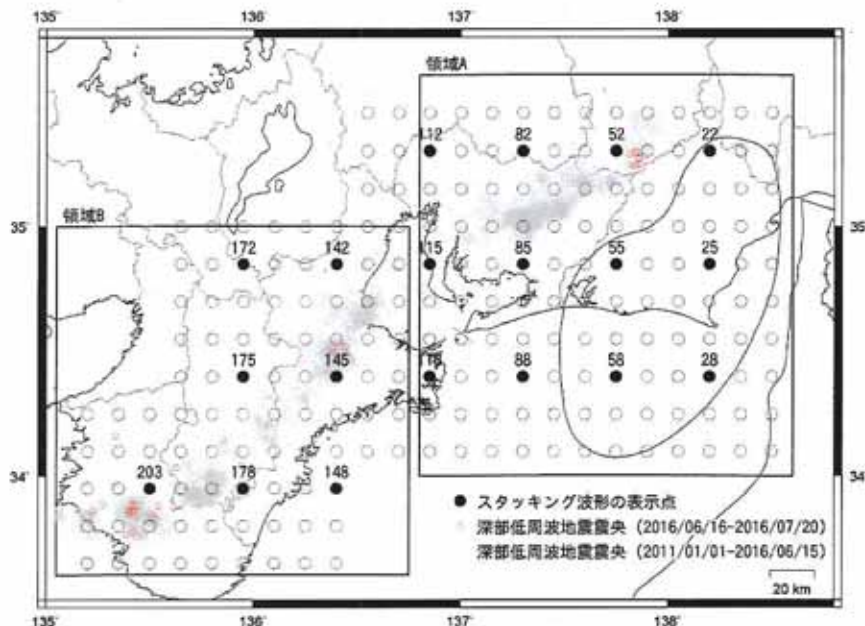


※時空間分布図中、網掛けした期間は現在と比較して十分な検知能力がなかったことを示す。

気象庁作成

# スタッキング波形によるプレート境界のすべりの監視

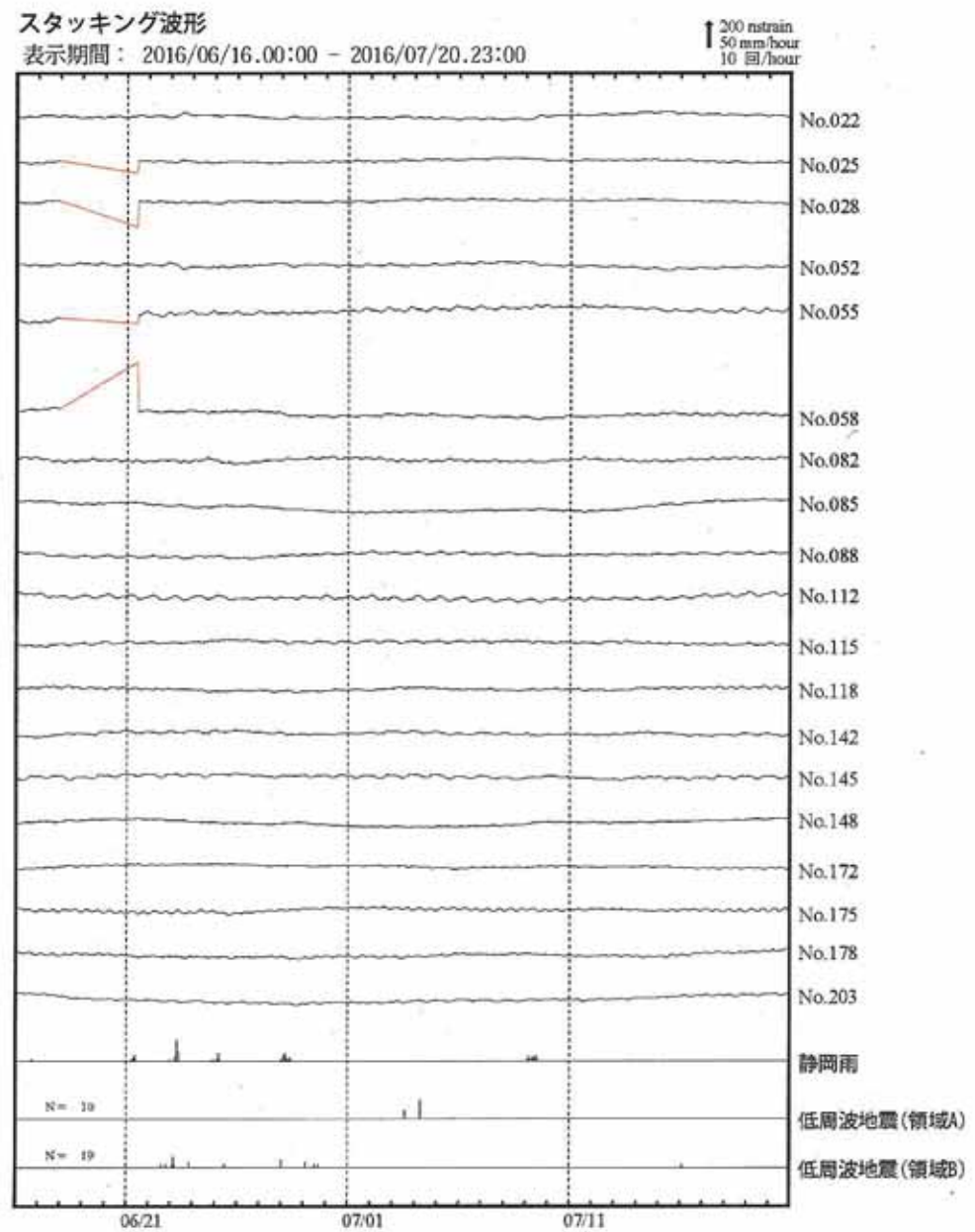
短期的ゆっくりすべりに伴うと推測される変化は観測されなかった。



スタッキング波形は、上図の各監視ポイントについて、宮岡・横田（2012）の手法により、気象庁、静岡県、国立研究開発法人産業技術総合研究所のひずみ計データを基に作成している。

## （参考文献）

宮岡一樹・横田崇(2012):地殻変動検出のためのスタッキング手法の開発, 地震, 2, 65, 205-218.



気象庁作成

## 7月3日からの長野県南部の深部低周波地震活動

2016年7月3日から4日にかけて、長野県南部を震央とする深部低周波地震を観測している。

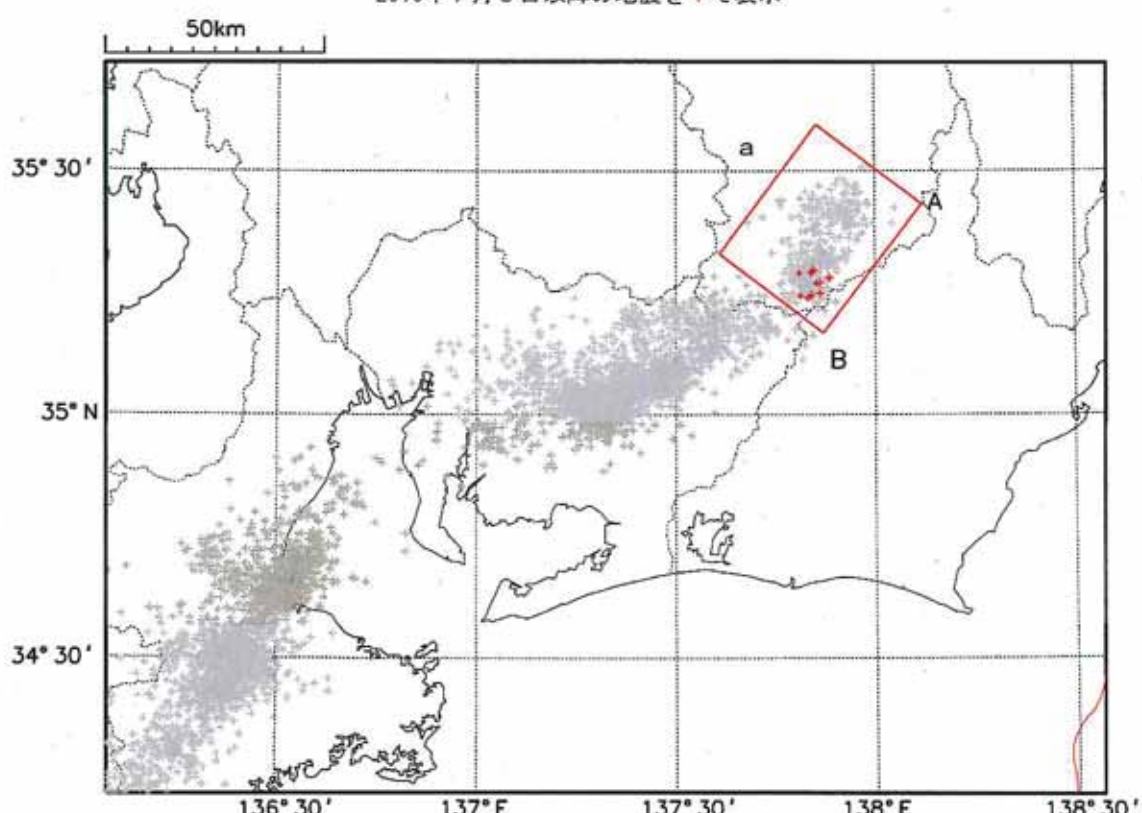
2008年以降の活動を見ると、今回の活動領域での周辺では、半年に1回程度、深部低周波地震のまとまった活動が発生している。最近では、2016年2月10日から13日にかけて発生している。

なお、この深部低周波地震に伴う東海地域のひずみ計には特段の変化は現れていない。

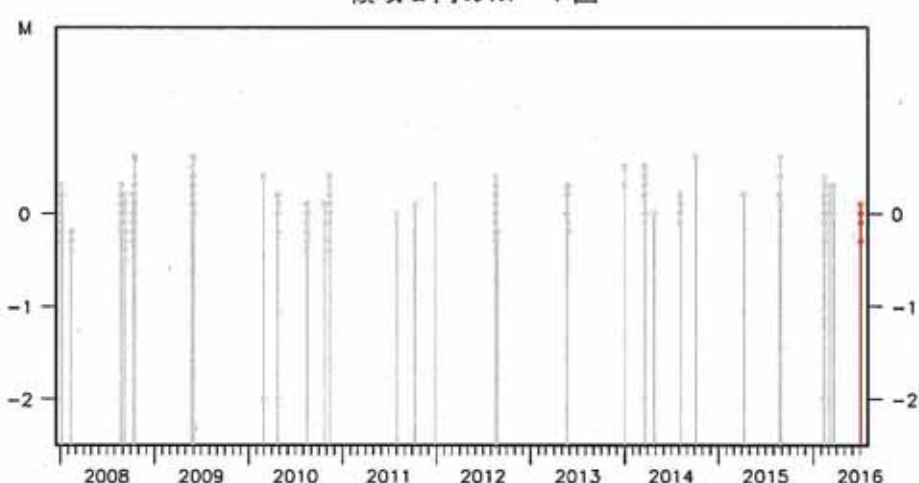
深部低周波地震の震央分布図

(2008年1月1日～2016年7月19日、深さ0～60km、Mすべて)

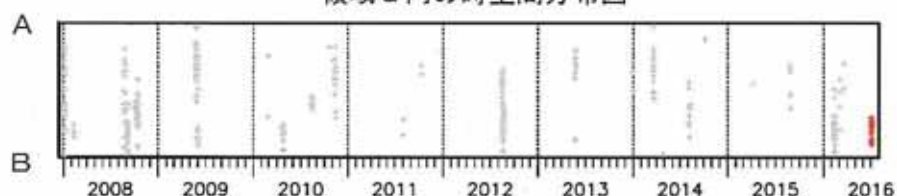
2016年7月3日以降の地震を+で表示



領域a内のM-T図

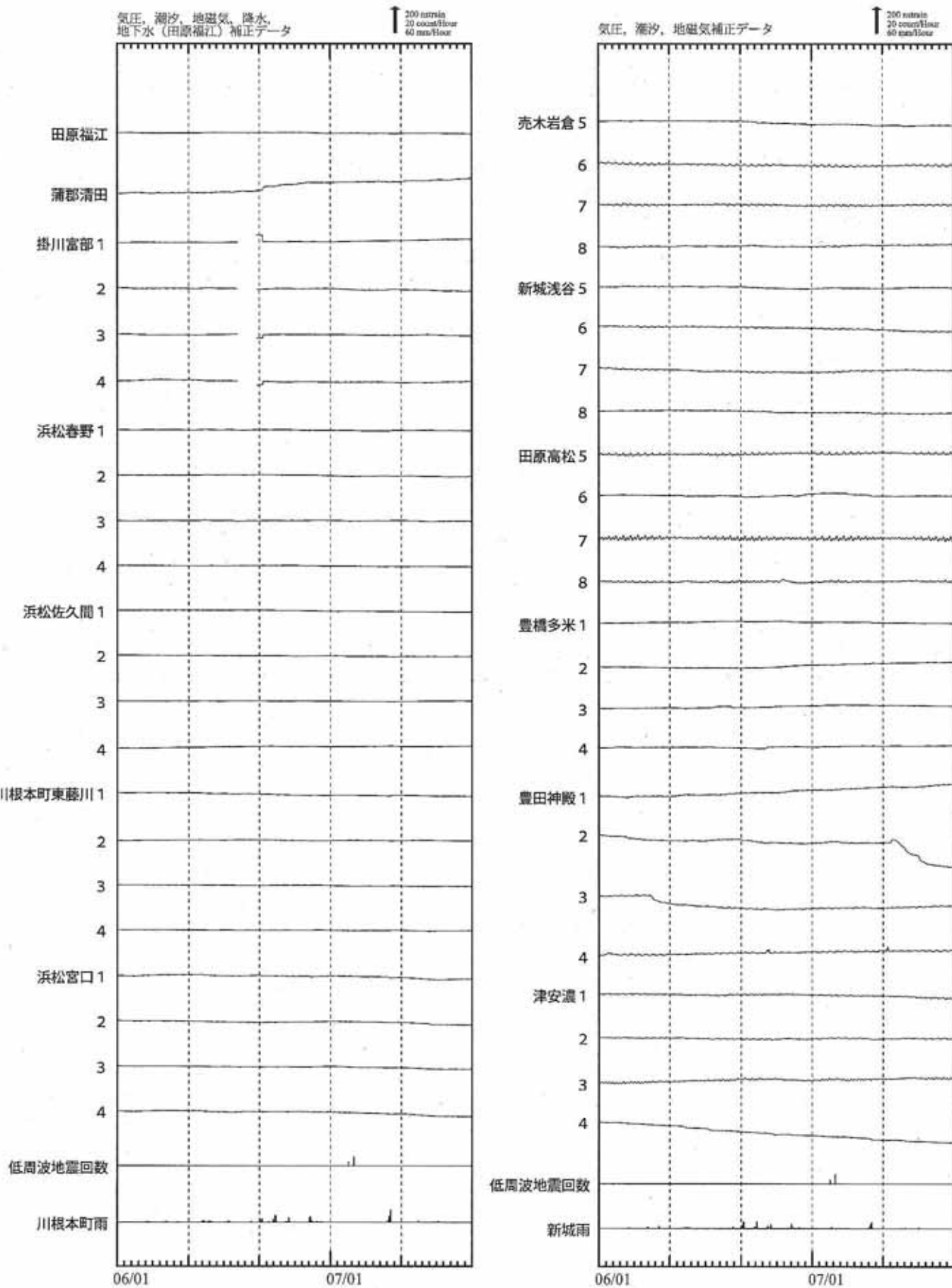


領域a内の時空間分布図



## 東海地域の短期的ゆっくりすべりの監視

2016.06.01 ~ 2016.07.20



※浜松春野、川根本町東藤川は静岡県、豊橋多米、豊田神殿、津安濃は産業技術総合研究所の観測点である。

気象庁作成

# 2016年7月20日 駿河湾の地震

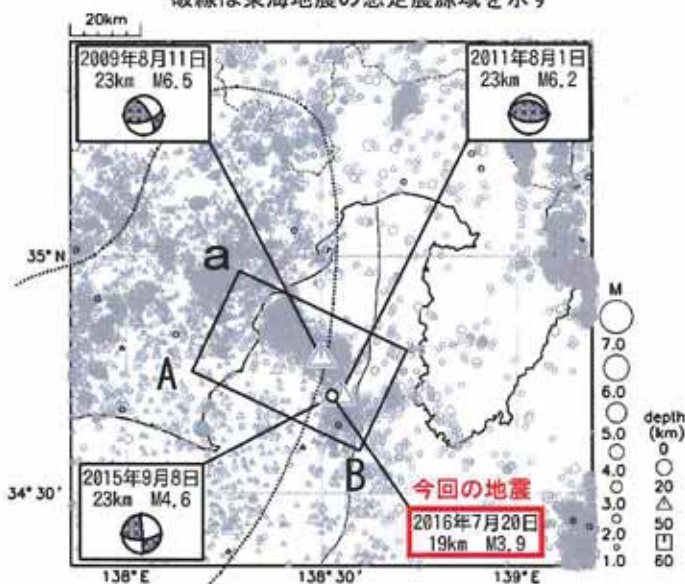
震央分布図

(1997年10月1日～2016年7月20日、

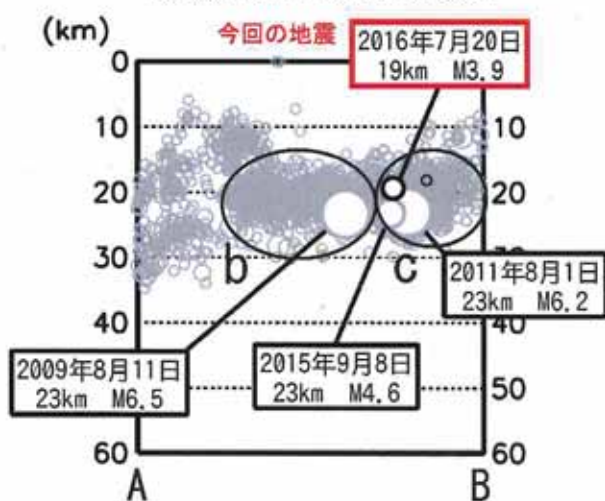
深さ0～60km、M $\geq$ 1.0)

2016年7月の地震を濃く表示

破線は東海地震の想定震源域を示す



領域a内のA-B方向の断面図

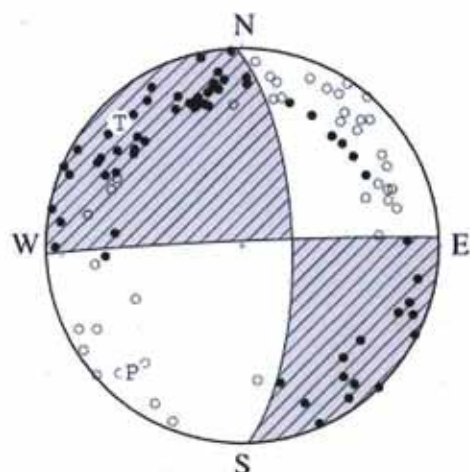


2016年7月20日03時06分頃に駿河湾の深さ19kmでM3.9の地震(最大震度2)が発生した。この地震の発震機構は北西-南東方向に張力軸を持つ横ずれ断層型で、フィリピン海プレート内部で発生した。ひずみ計の変化は特に観測されていない。

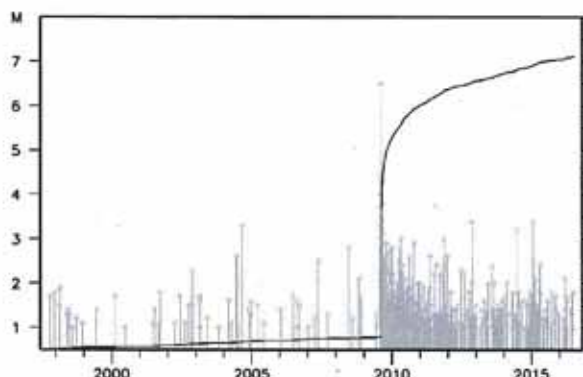
今回の地震の震源は2011年8月1日に駿河湾で発生したM6.2の地震(最大震度5弱)の余震域の中に位置する。この領域では、2015年9月8日にM4.6の地震(最大震度3)が発生している。

1997年10月以降の活動をみると、今回の地震の震源周辺では、2009年8月11日にM6.5の地震(最大震度6弱)が発生している。

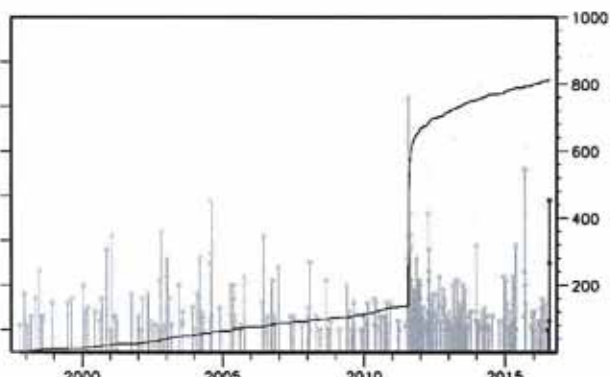
今回の地震の発震機構解(自動解)



領域b内のM-T図・回数積算図



領域c内のM-T図・回数積算図



# 東海地域の地震活動指数

(クラスタを除いた地震回数による)

2016年7月19日現在

	① 静岡県中西部		② 愛知県		③ 浜名湖周辺			④ 駿河湾
	地殻内	フィリピン海プレート	地殻内	フィリピン海プレート	フィリピン海プレート内 全域	西側	東側	全域
短期活動指数	7	1	1	3	4	5	4	5
短期地震回数 (平均)	9 (5.29)	2 (7.00)	7 (13.16)	11 (14.15)	3 (3.72)	2 (1.43)	1 (2.28)	7 (6.06)
中期活動指数	6	2	0	4	2	4	3	5
中期地震回数 (平均)	20 (15.87)	14 (21.00)	18 (39.48)	39 (42.44)	4 (7.44)	2 (2.87)	2 (4.57)	14 (12.12)

\*Mしきい値： 静岡県中西部、愛知県、浜名湖周辺：M≥1.1、駿河湾：M≥1.4

\*クラスタ除去：震央距離が $\Delta r$ 以内、発生時間差が $\Delta t$ 以内の地震をグループ化し、最大地震で代表させる。

静岡県中西部、愛知県、浜名湖周辺： $\Delta r=3\text{km}$ 、 $\Delta t=7\text{日}$

駿河湾： $\Delta r=10\text{km}$ 、 $\Delta t=10\text{日}$

\*対象期間： 静岡県中西部、愛知県：短期30日間、中期90日間

浜名湖周辺、駿河湾：短期90日間、中期180日間

\*基準期間： おおむね長期的スロースリップ（ゆっくり滑り）発生前の地震活動を基準とする。

静岡県中西部、愛知県：1997年—2001年（5年間）、駿河湾：1991年—2000年（10年間）、

浜名湖周辺：1997年—2000年 および 2006年—2012年（11年間）

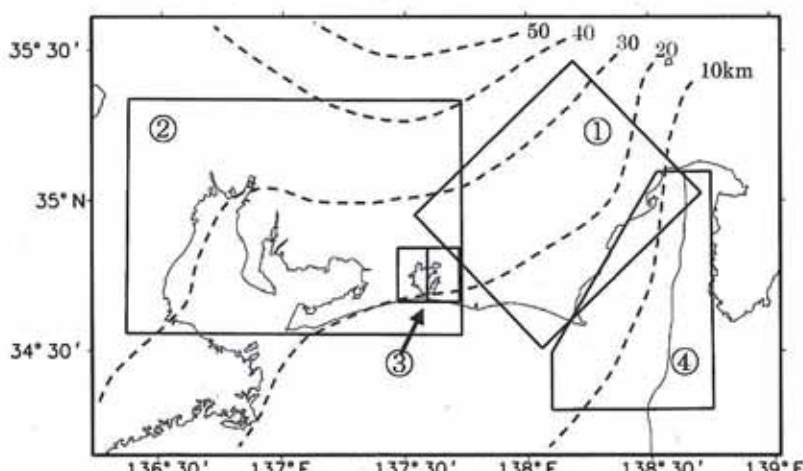
[各領域の説明] ①静岡県中西部：プレート間が強く「くっついている」と考えられている領域（固着域）。

②愛知県：フィリピン海プレートが沈み込んでいく先の領域。

③浜名湖周辺：固着域の縁。長期的スロースリップ（ゆっくり滑り）が発生する場所  
であり、同期して地震活動が変化すると考えられている領域。

④駿河湾：フィリピン海プレートが沈み込み始める領域。

2009年8月11日の駿河湾の地震（M6.5）と2011年8月1日の駿河湾の地震（M6.2）  
の余震域の活動を除いた場合での活動指数についても求めた（次ページ）。

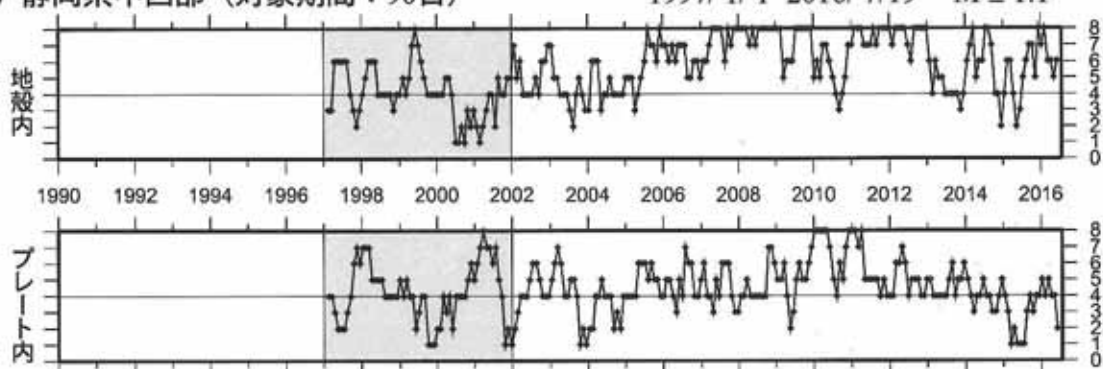


地震回数の指標化		
指標	確率 (%)	地震数
8	1	多い
7	4	□ やや多い
6	10	□
5	15	□
4	40	□ ほぼ平常
3	15	□
2	10	□ やや少ない
1	4	□
0	1	□ 少ない

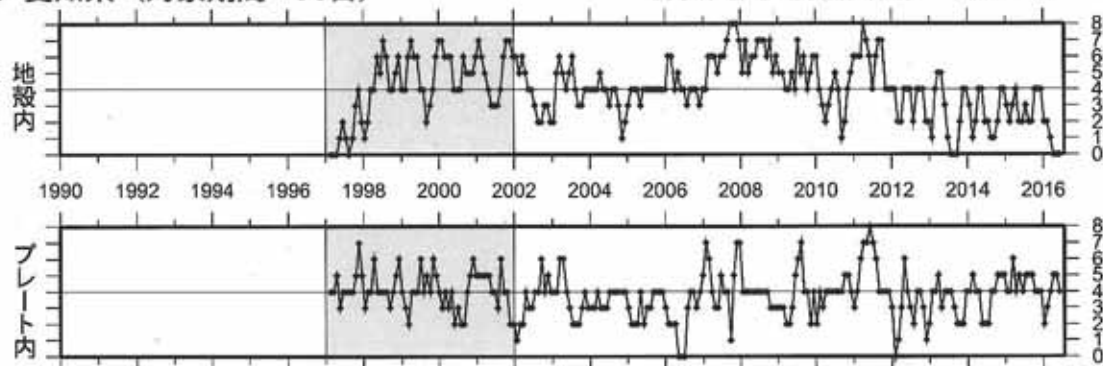
\*Hirose et al. (2008) によるプレート境界の等深線を破線で示す

## 地震活動指標の推移（中期活動指標）

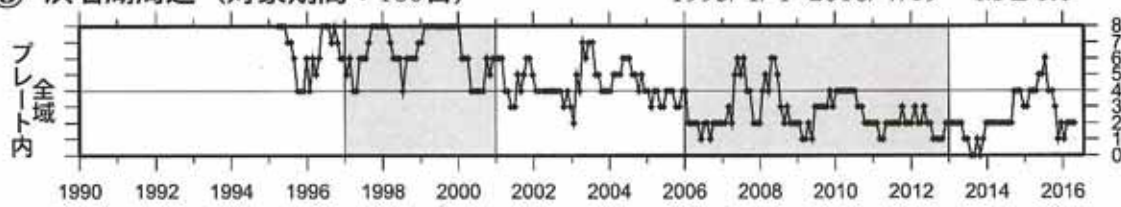
① 静岡県中西部（対象期間：90日）



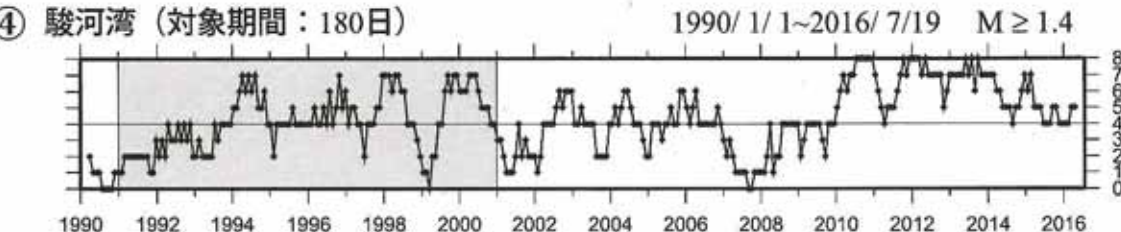
② 愛知県（対象期間：90日）



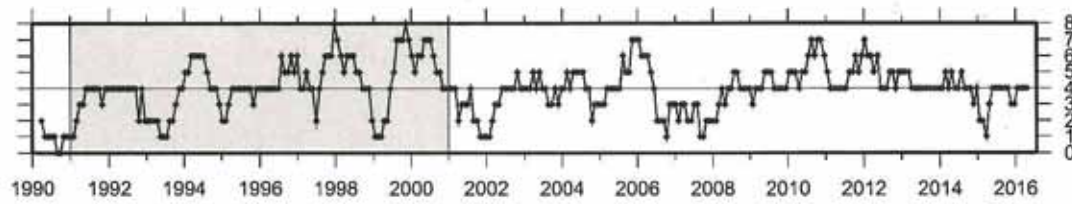
③ 浜名湖周辺（対象期間：180日）



④ 駿河湾（対象期間：180日）



2009年8月11日の駿河湾の地震（M6.5）と2011年8月1日の駿河湾の地震（M6.2）の余震域の活動を除去した場合

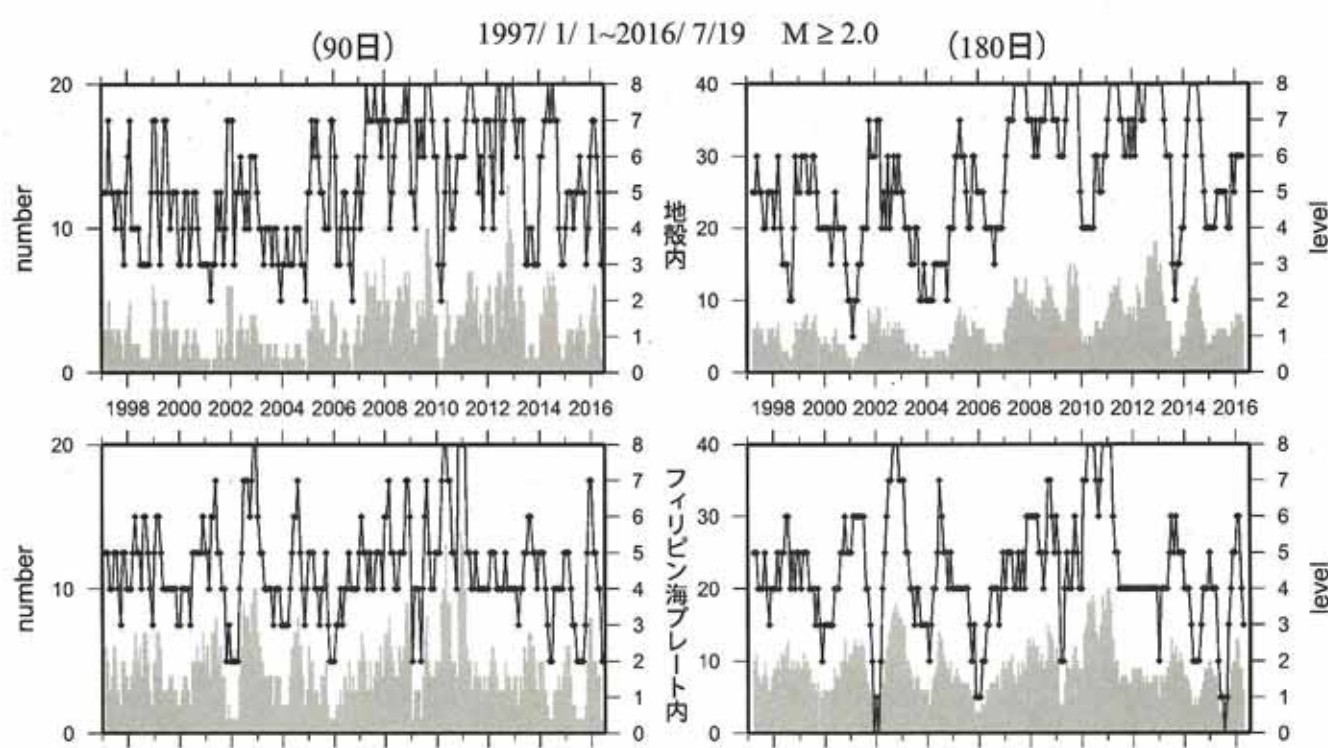
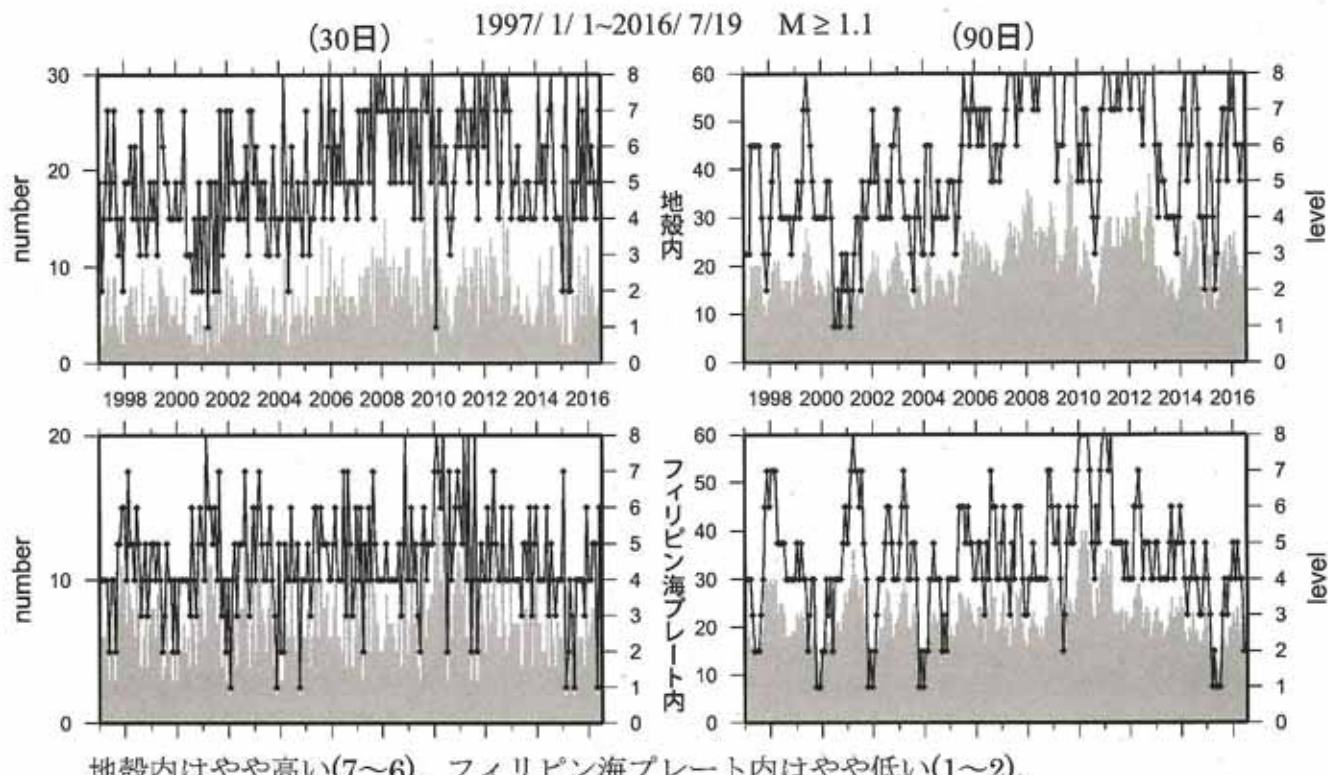


■ : 基準期間

／ : 地震活動指標（0 – 8）

## 地震活動指標の推移

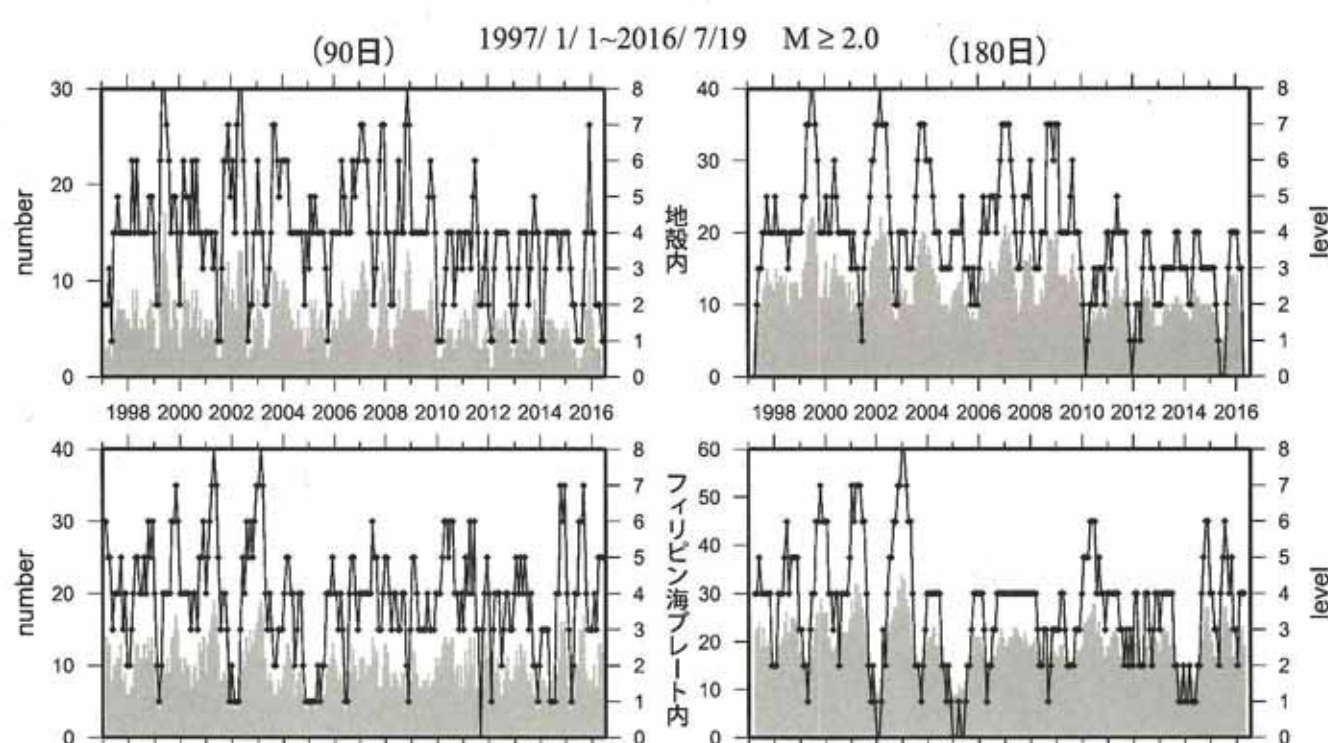
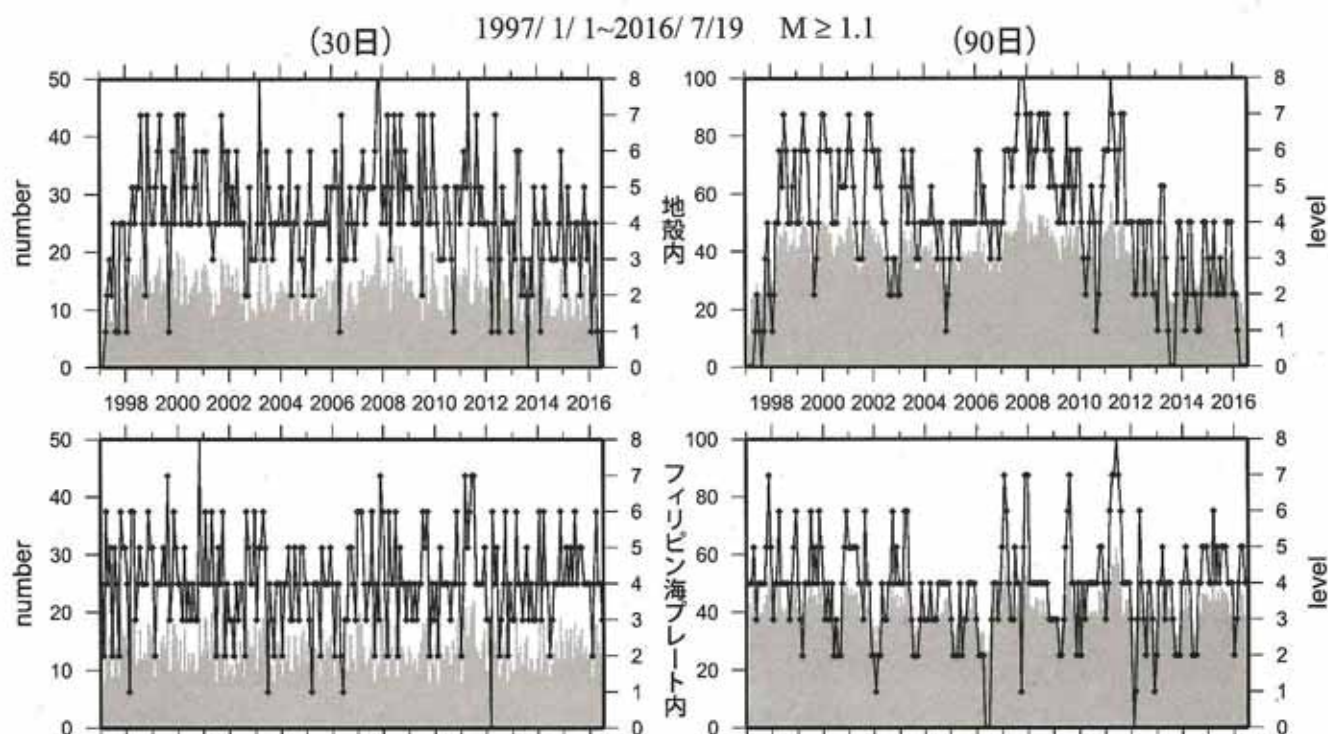
### ① 静岡県中西部



：地震活動指標 (0~8)  
：地震回数 (クラスタを除く)

## 地震活動指數の推移

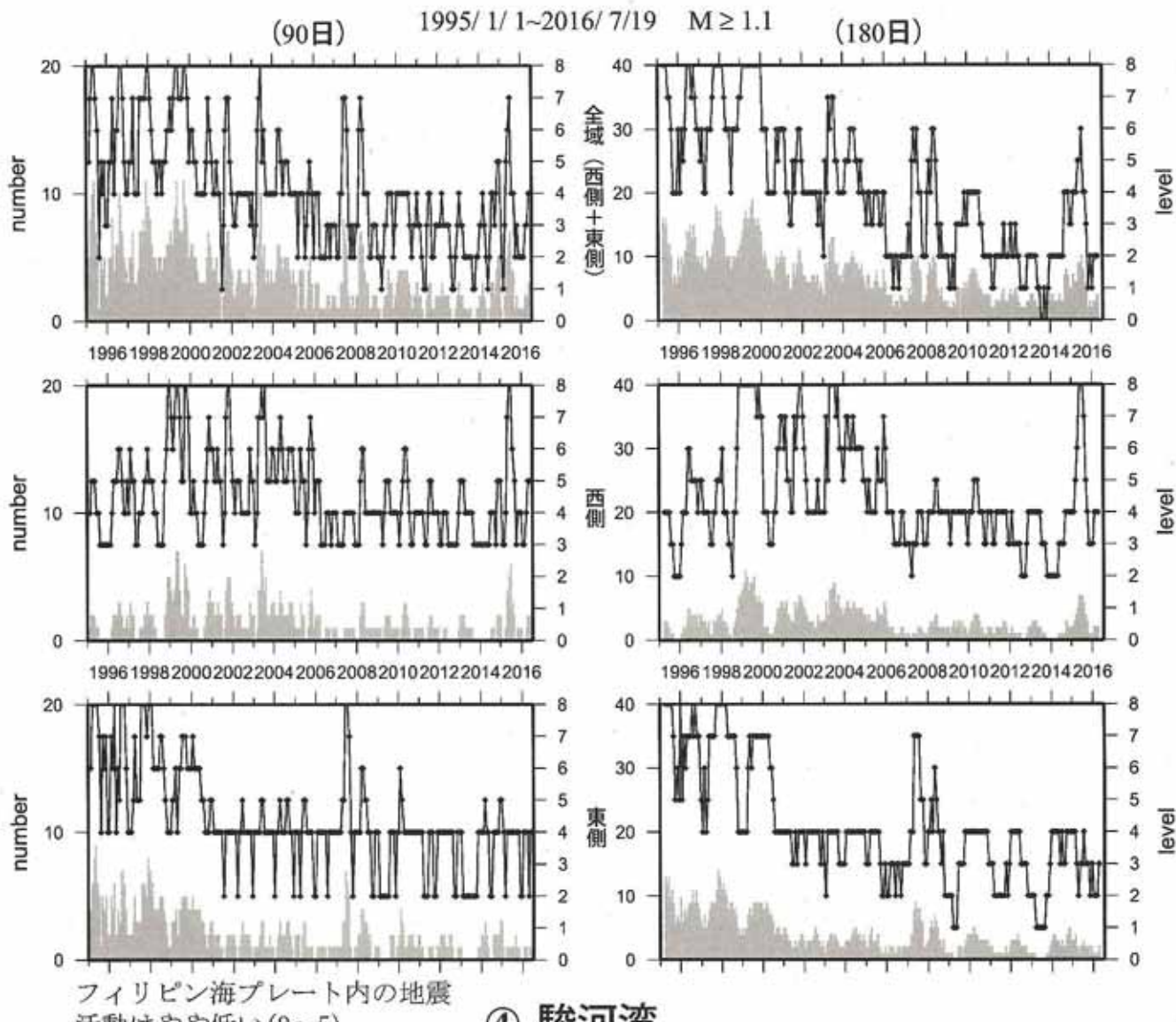
### ② 愛知県



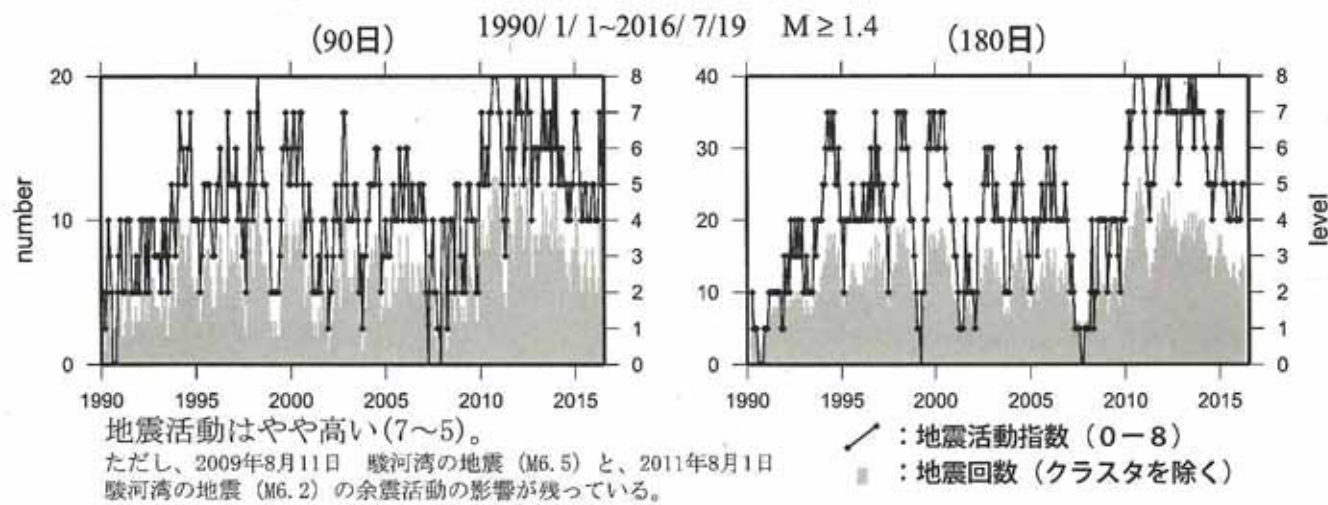
：地震活動指數（0—8）  
：地震回数（クラスタを除く）

## 地震活動指標の推移

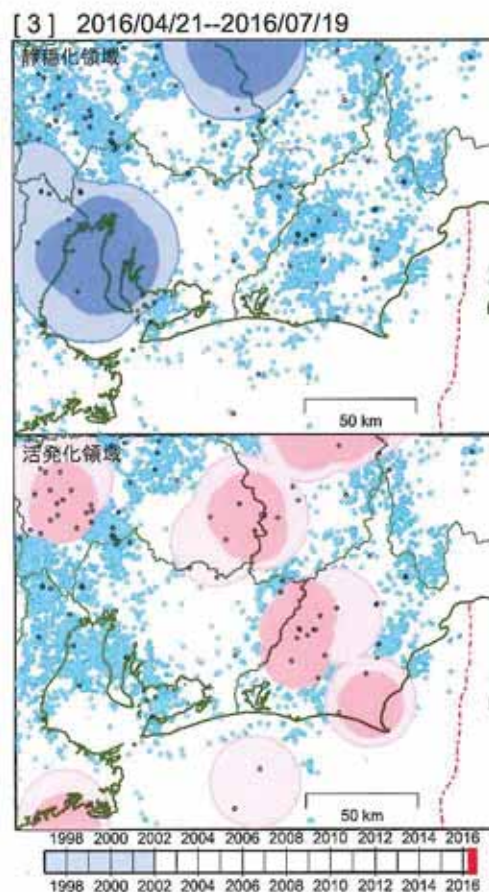
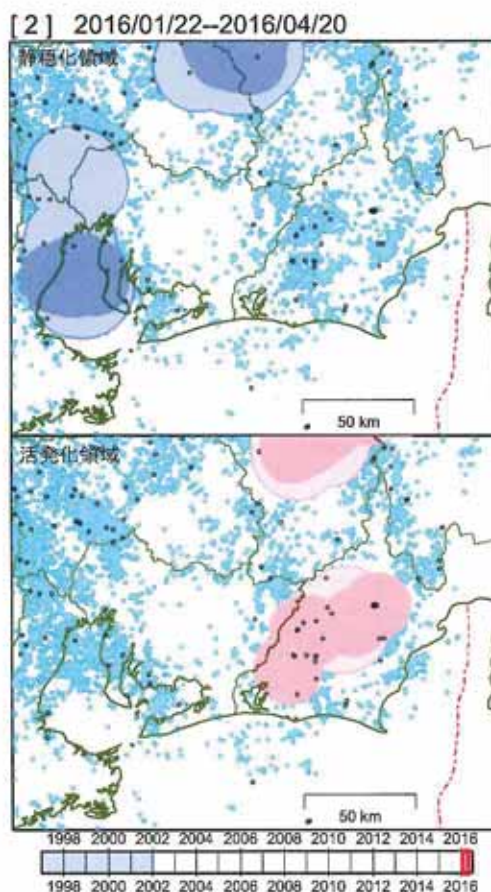
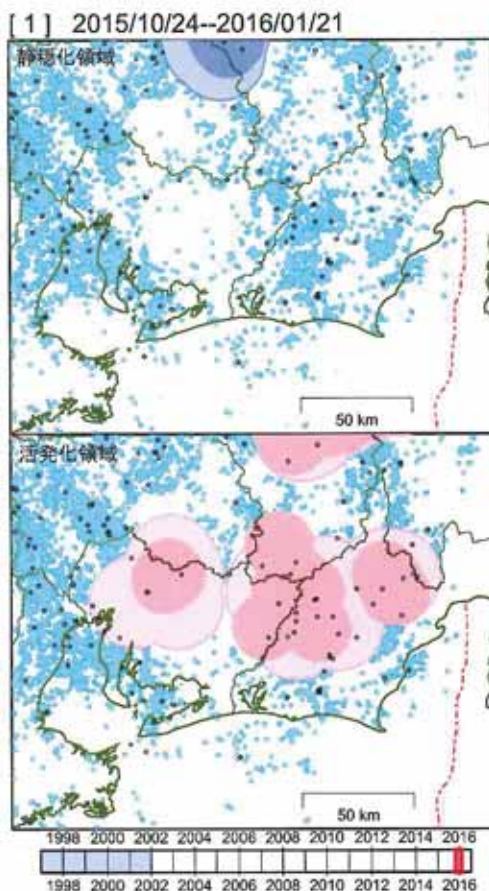
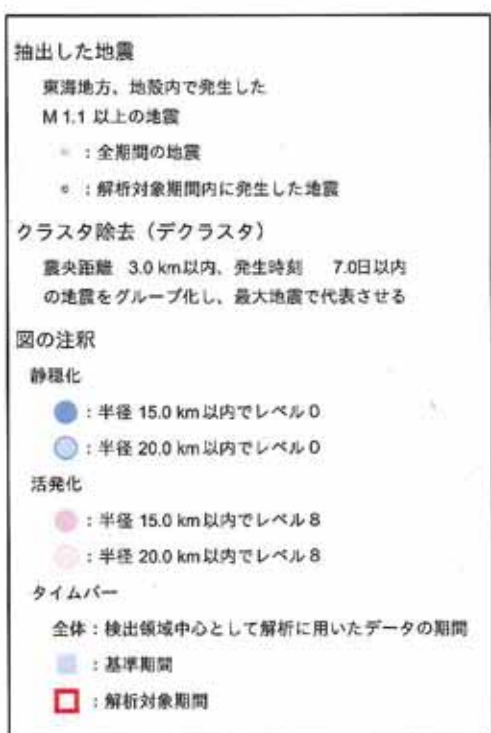
### ③ 浜名湖周辺（フィリピン海プレート内）



### ④ 駿河湾

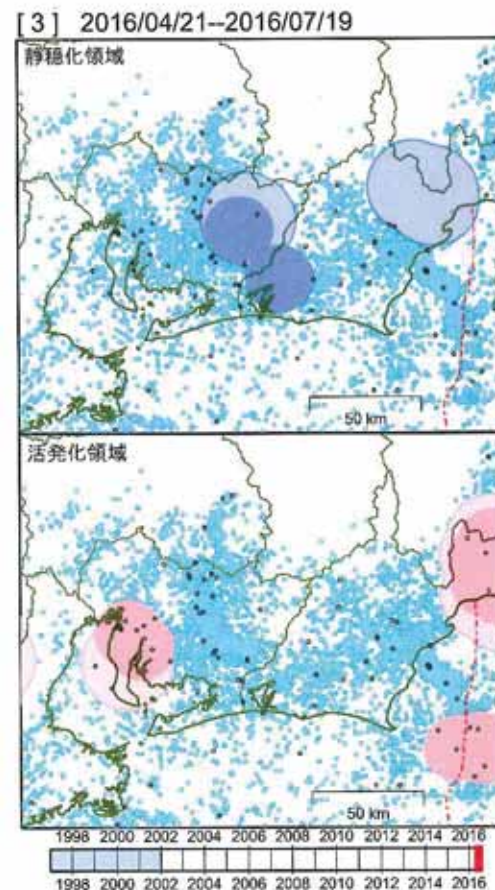
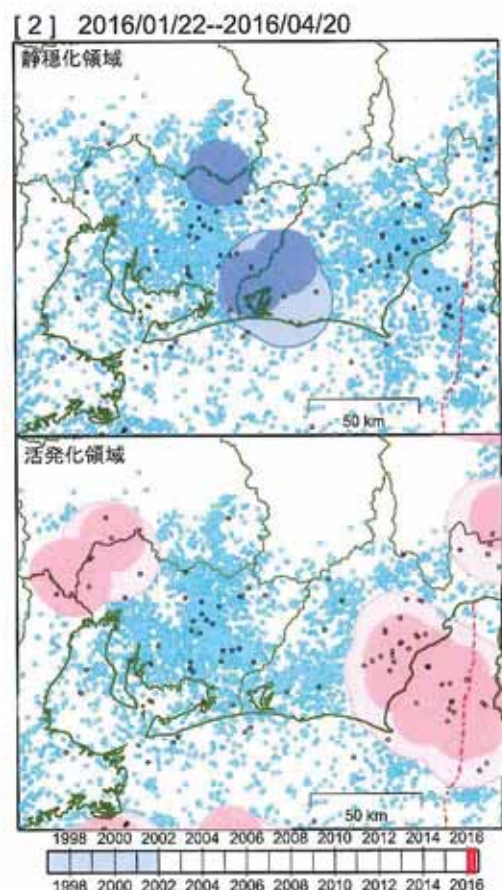
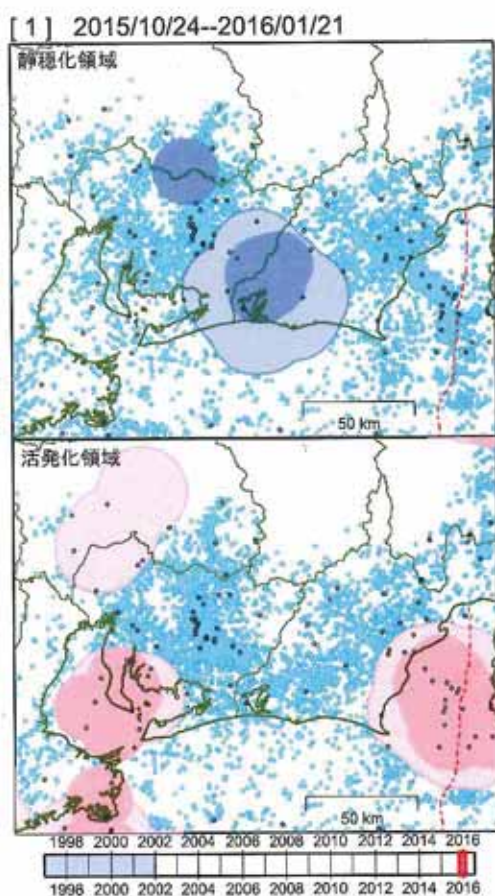
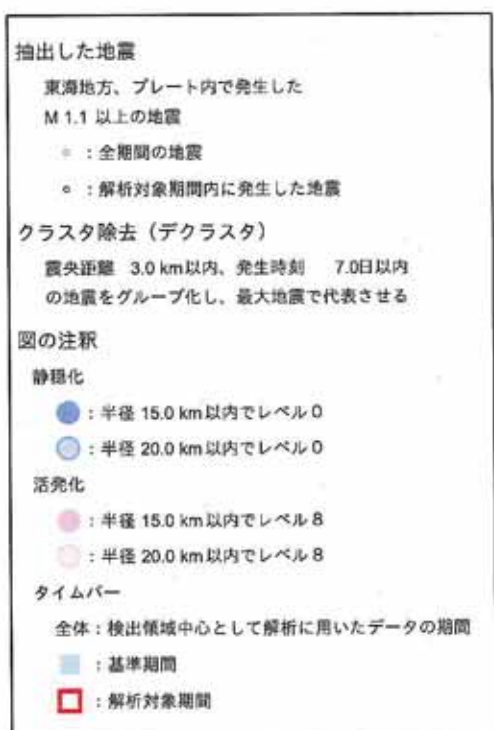


## 静穏化・活発化領域の検出（東海地方、地殻内）



気象庁作成

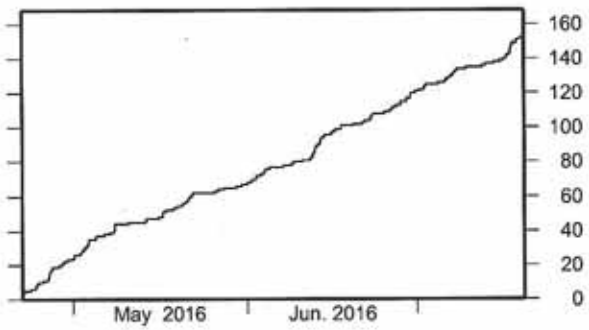
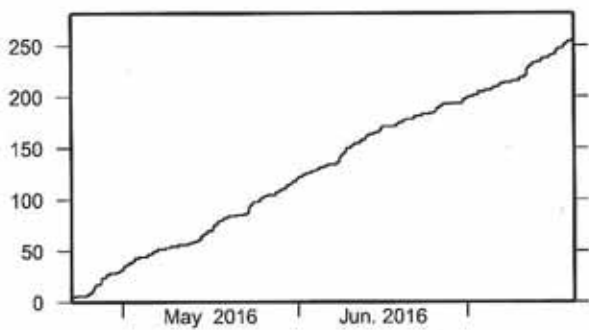
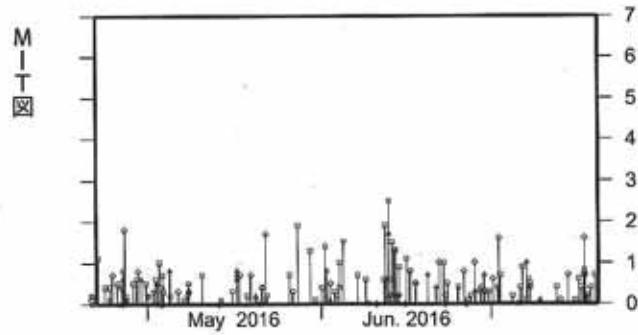
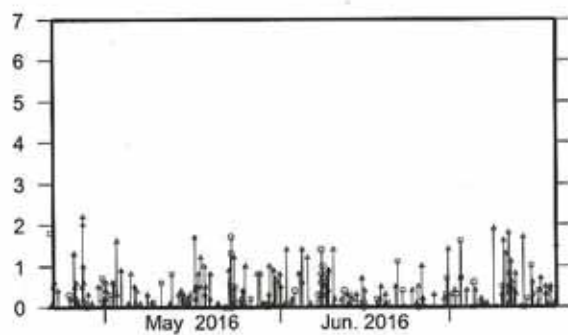
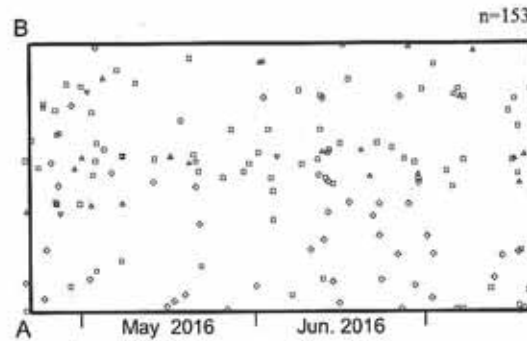
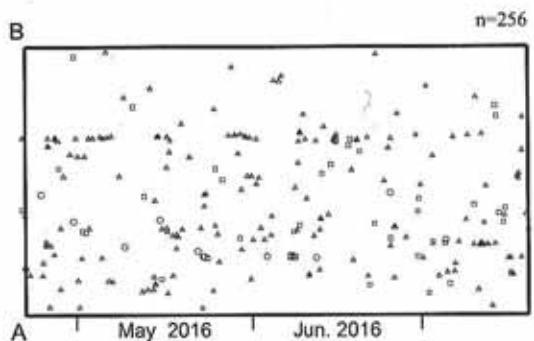
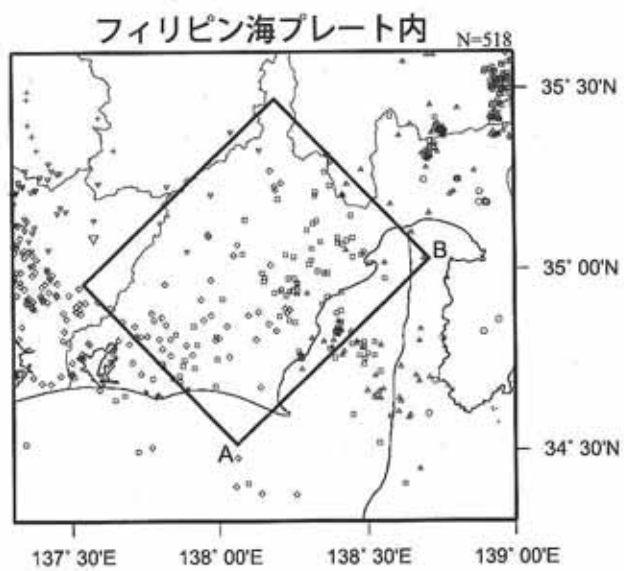
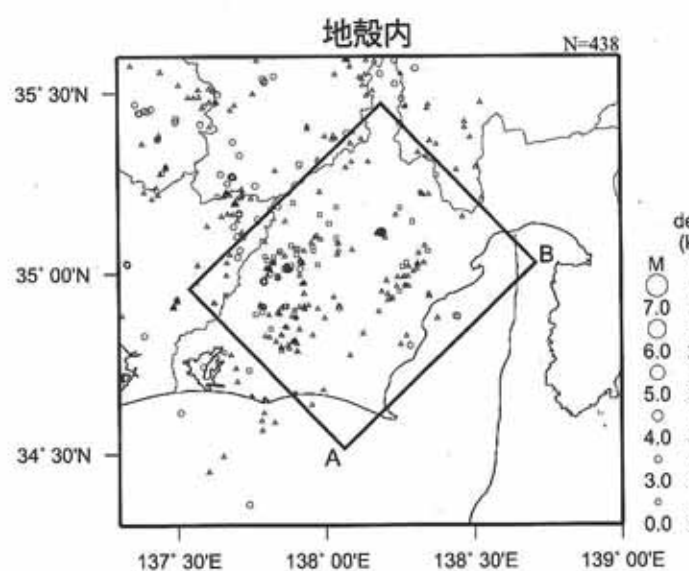
## 静穏化・活発化領域の検出（東海地方、プレート内）



気象庁作成

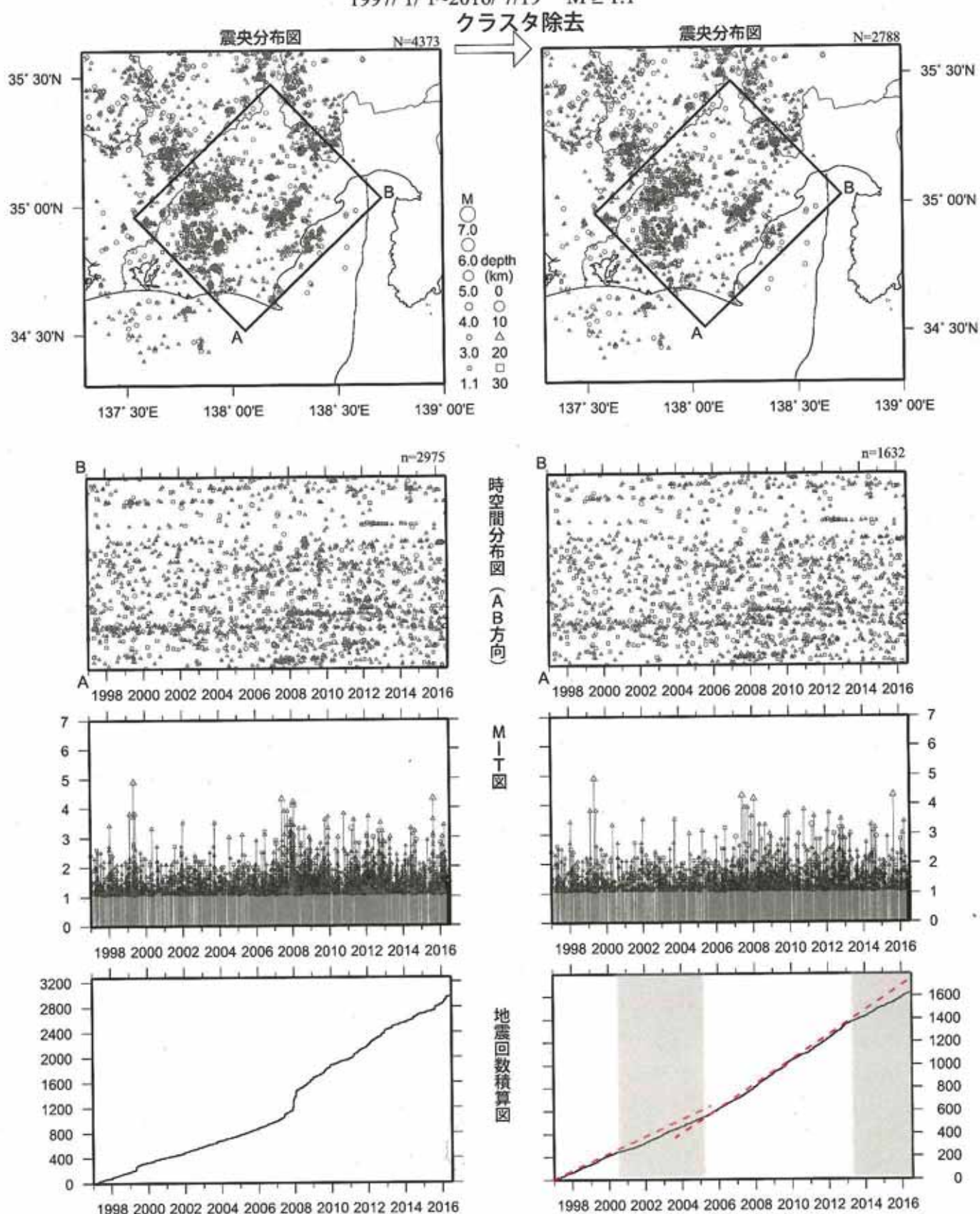
## 静岡県中西部（最近90日）

2016/4/21~2016/7/19 M ≥ 0.0 0 ≤ 深さ(km) ≤ 60



## 静岡県中西部（地殻内）

1997/1/1~2016/7/19 M $\geq$ 1.1

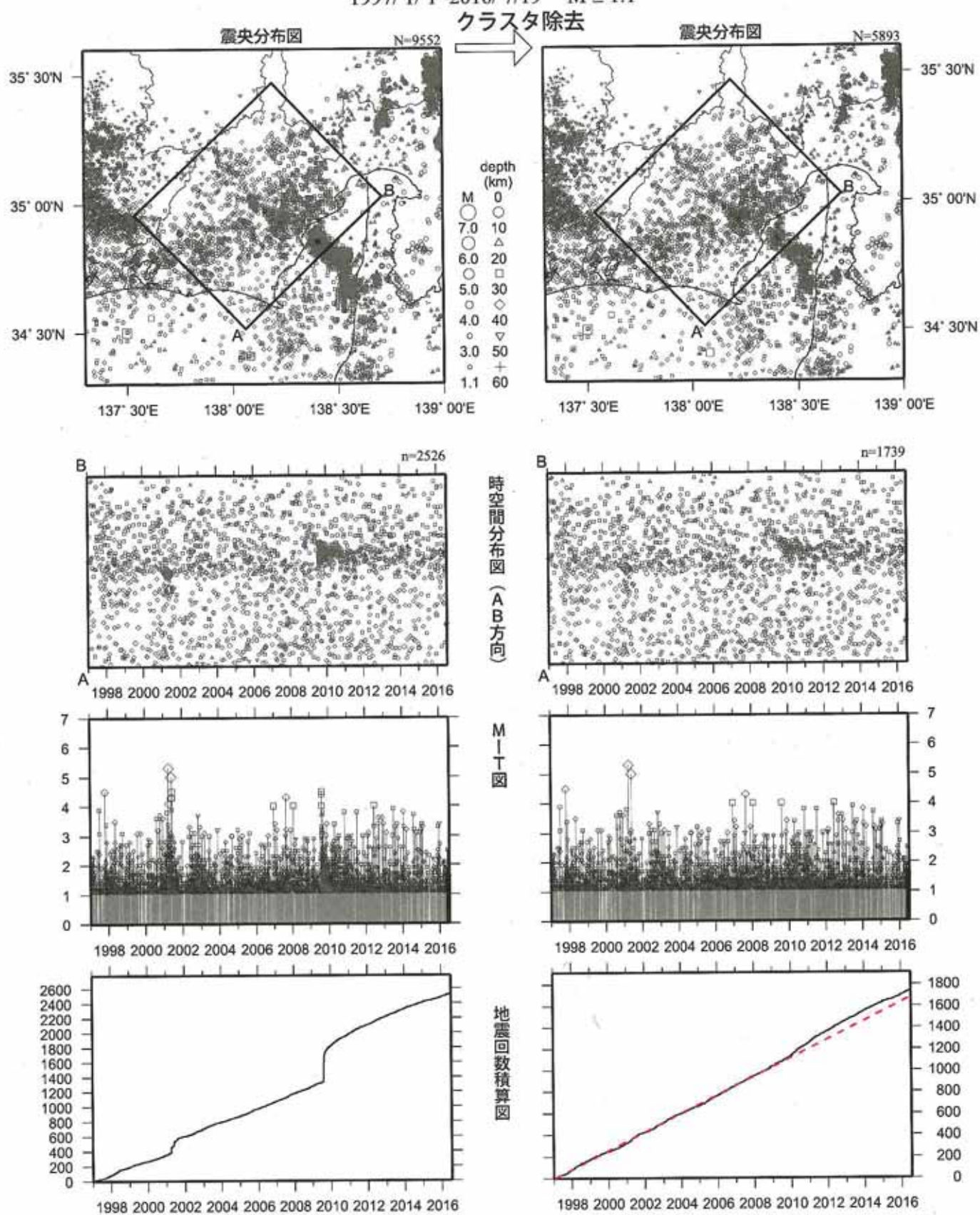


クラスタ除去後の地震回数積算図（右下図）を見ると、長期的ゆっくりすばり発生の時期（右下図濃い網掛け領域）に対応して地震活動が変化している。

また、2013年に入ってから、再び活動が低調になってきており、今回の長期的ゆっくりすばり発生が示唆されている期間と概ね対応する。

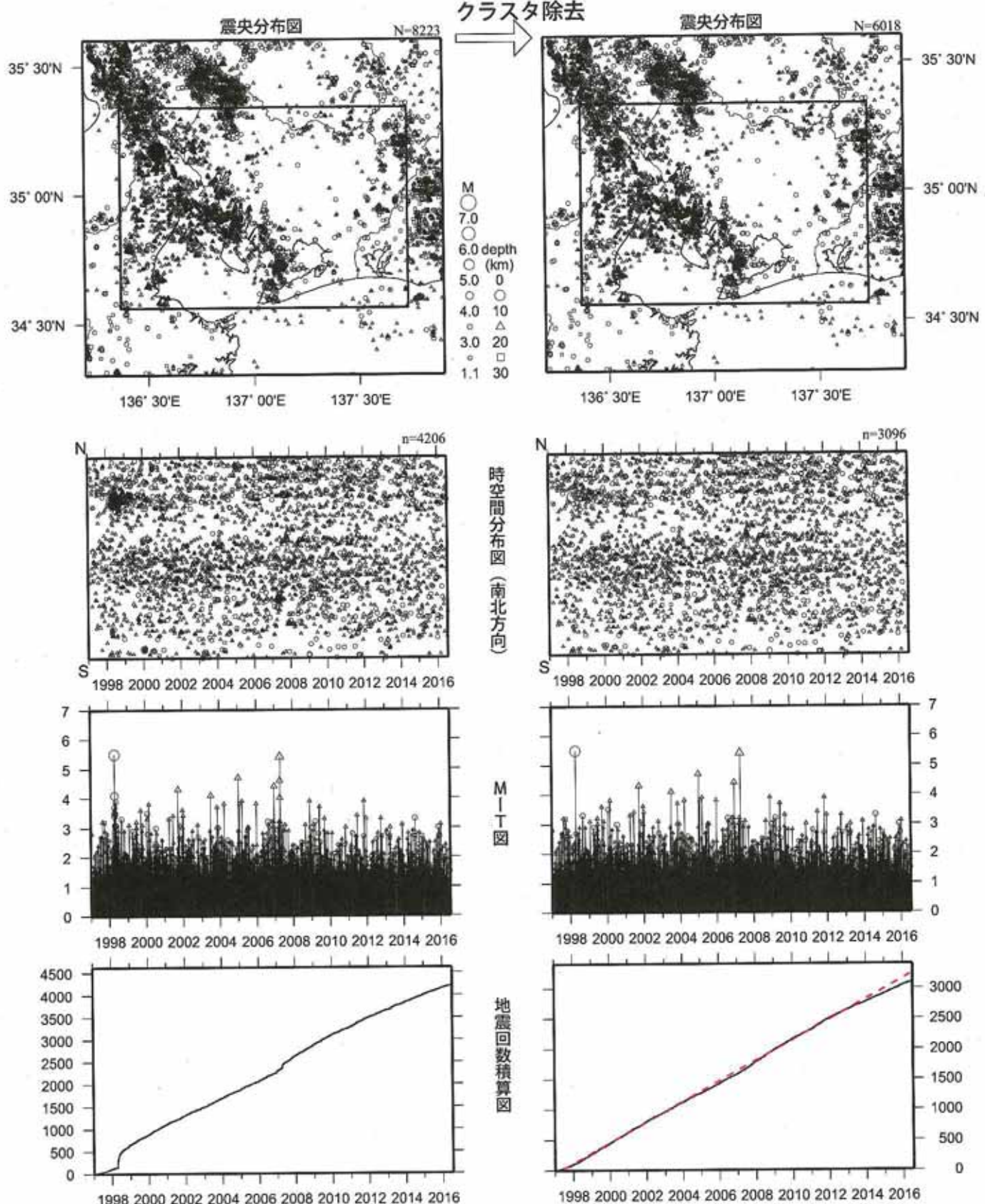
## 静岡県中西部（フィリピン海プレート内）

1997/1/1~2016/7/19 M≥1.1



2009年末から2011年初めまで、地震活動指数はやや高い状態を示しており、クラスタ除去後の地震回数積算図(右下図)からも同様な傾向が見られていた。これは2009年8月11日に発生した駿河湾の地震(M6.5)の余震活動が適切にデクラスタできていないためである。現在の地震活動指数は低下する傾向で推移している。

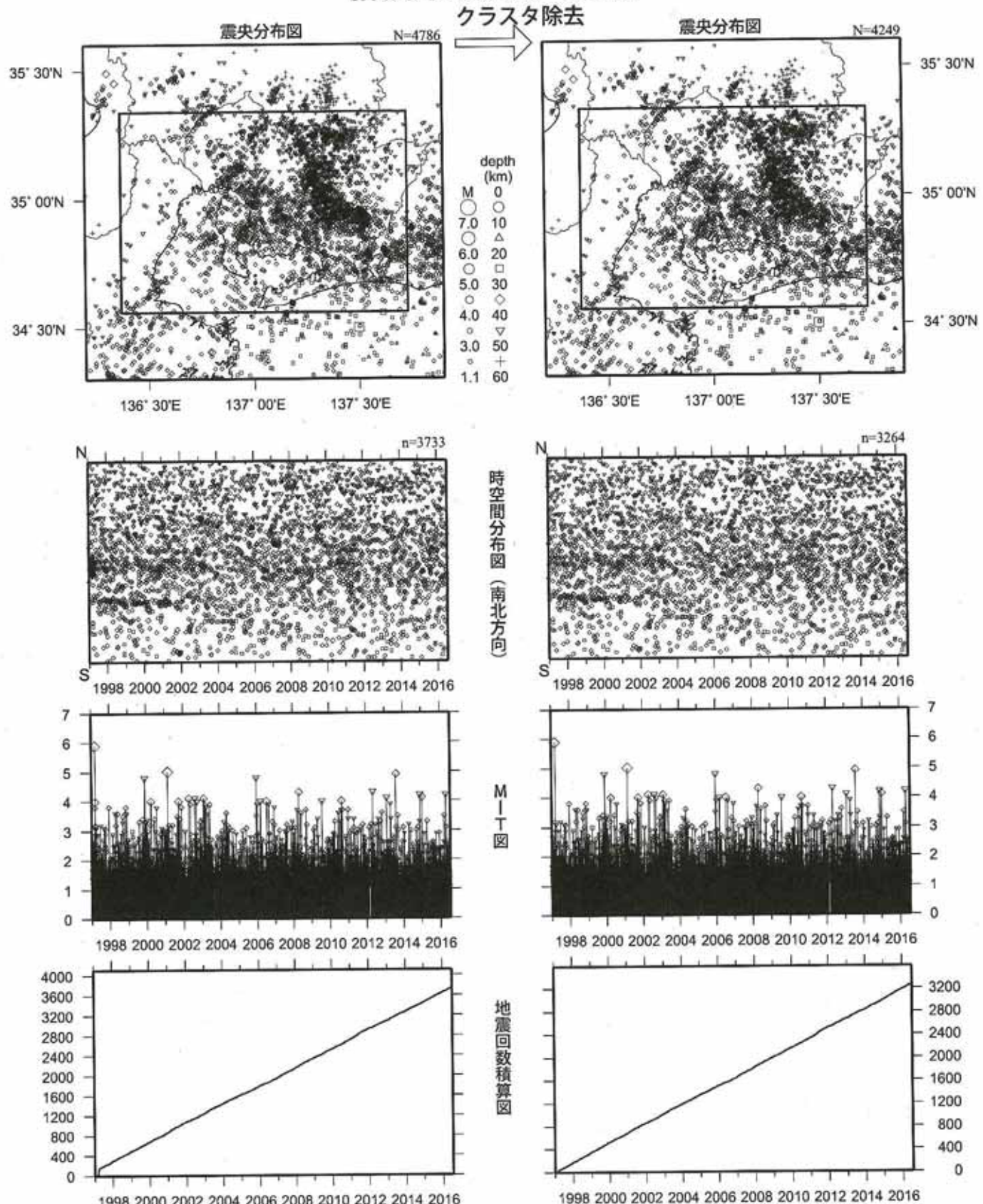
愛知県（地殻内）  
1997/1/1~2016/7/19 M≥1.1



地震活動指数は2013年以降やや少ない状態を示しており、クラスタ除去後の地震回数積算図(右下図)も、2013年以降はやや低調で推移している。

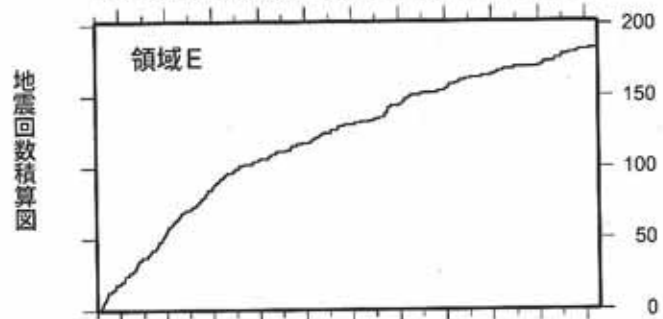
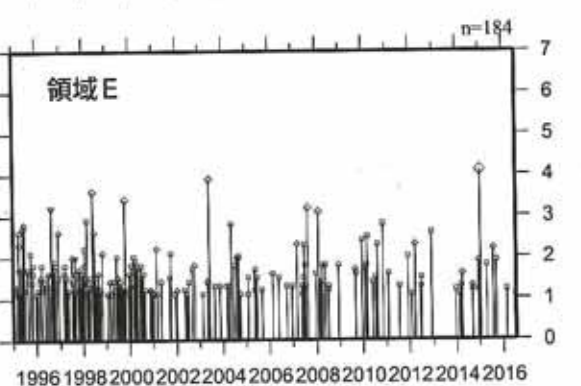
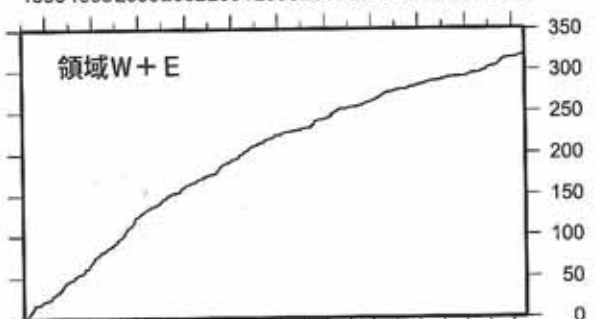
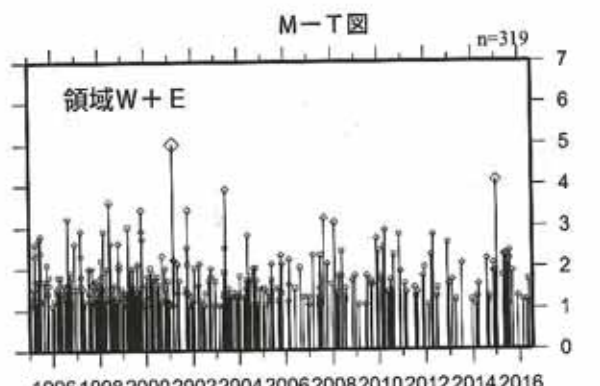
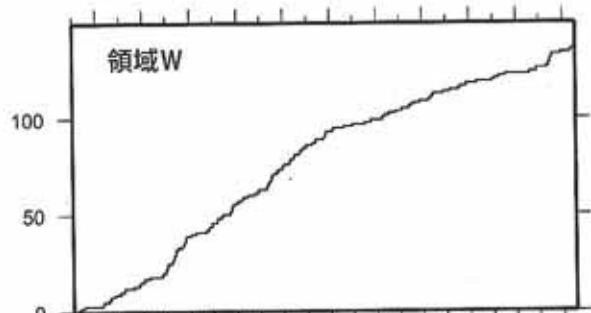
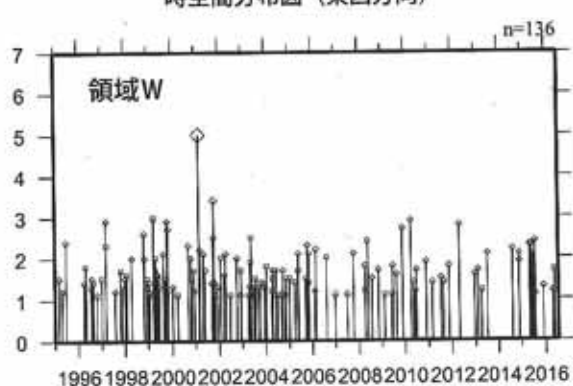
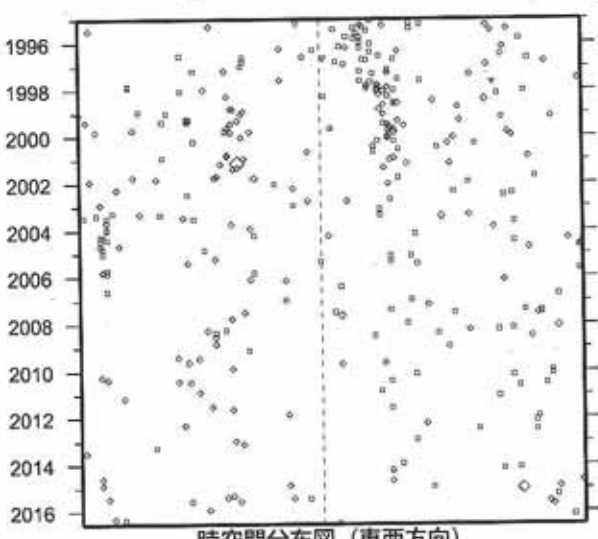
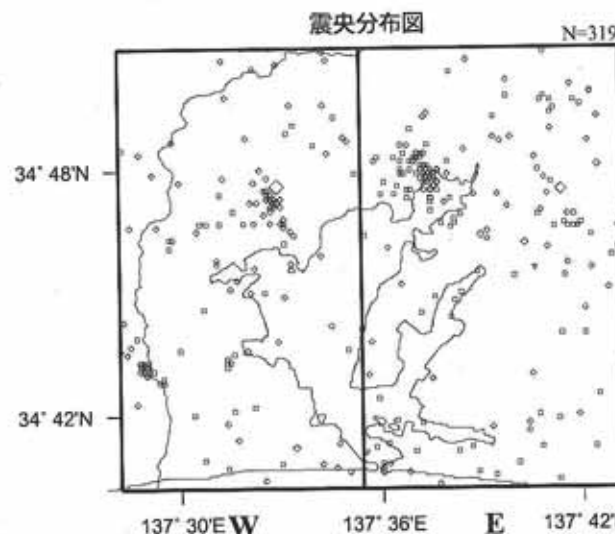
## 愛知県（フィリピン海プレート内）

1997/1/1~2016/7/19 M ≥ 1.1



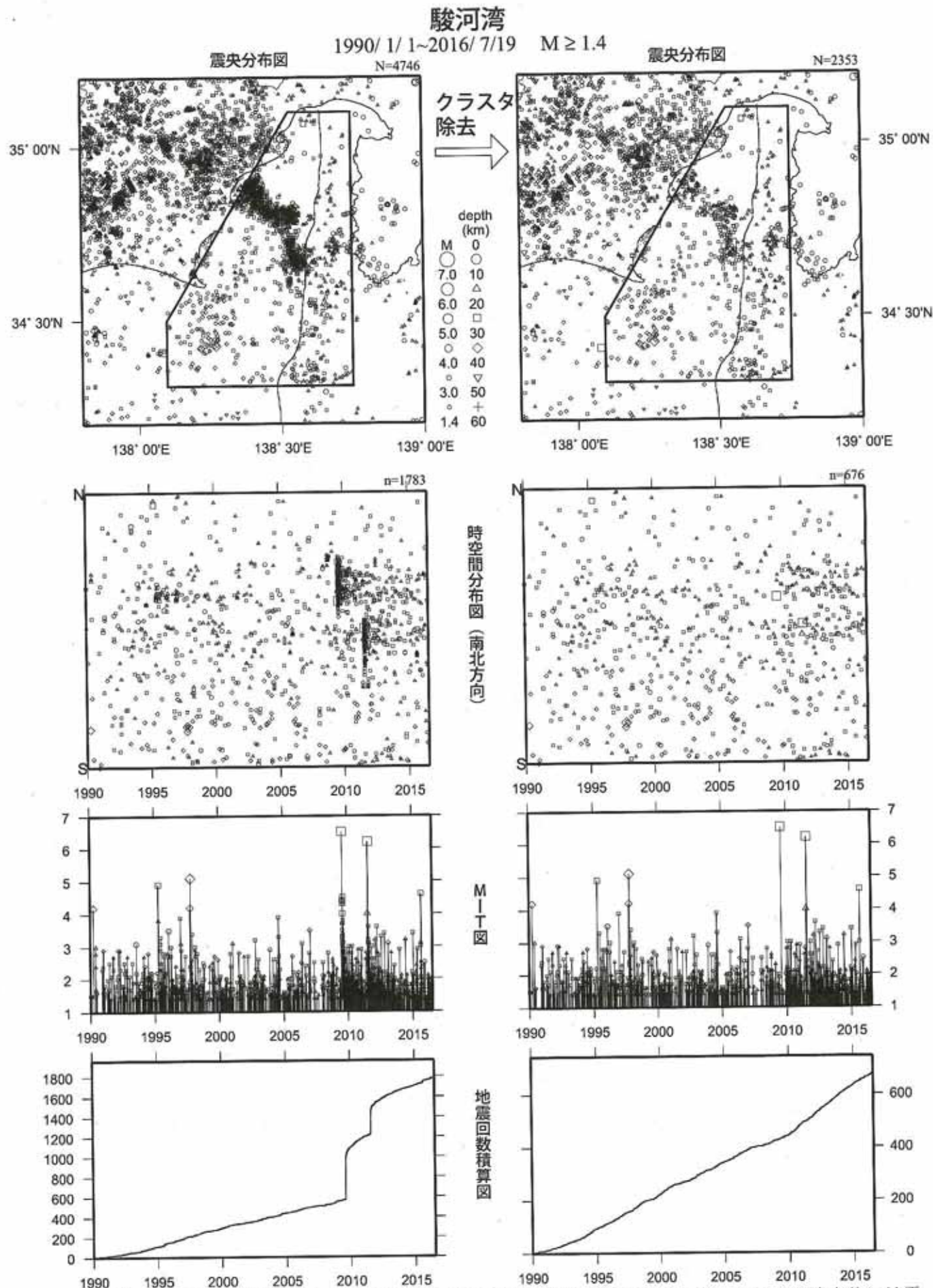
クラスタ除去後の地震回数積算図(右下図)に、特段の変化は見られない。

浜名湖周辺（フィリピン海プレート内）  
1995/1/1~2016/7/19 M≥1.1 \*クラスタ除去したデータ



[東側] 地震回数積算図（右下図）を見ると、地震活動は2000年から傾きに変化。

[西側] 地震回数積算図（左下図）を見ると、2006年から傾きに変化

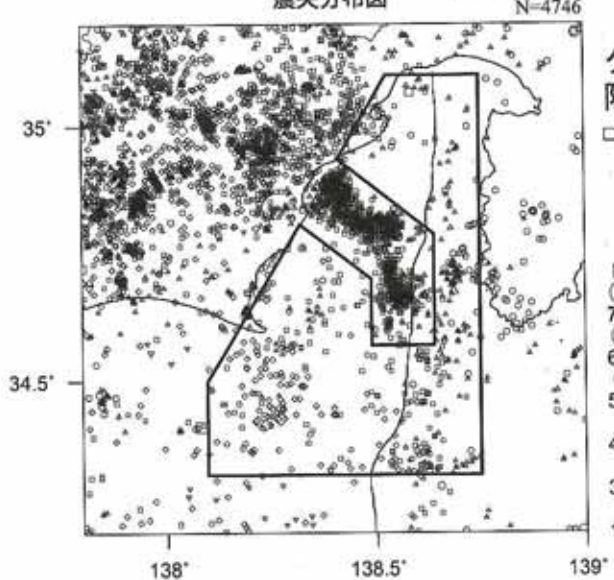


2010年頃から2015年末頃まで、地震活動指数はやや高い状態で推移しており、クラスタ除去後の地震回数積算図(右下図)からも同様の傾向が見られる。これは、2009年8月の駿河湾の地震(M6.5)と、2011年8月の駿河湾の地震(M6.2)余震活動が適切にデクラスタされていないためである。

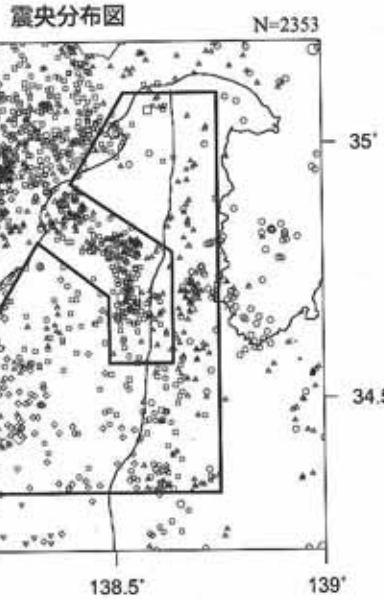
## 駿河湾

1990/1/1~2016/7/19  $M \geq 1.4$

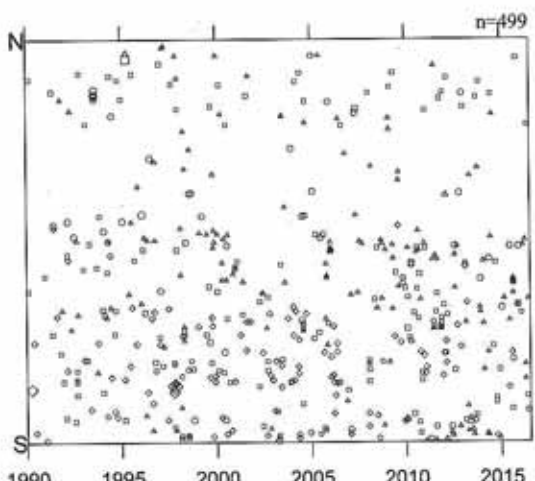
震央分布図



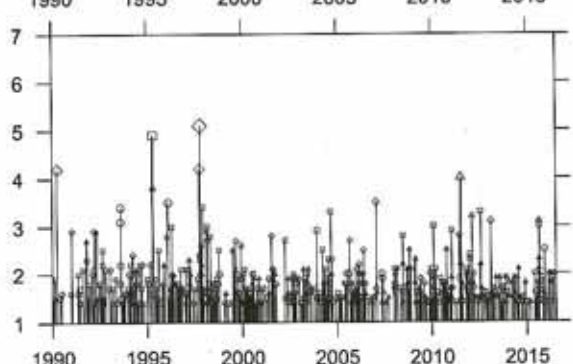
震央分布図



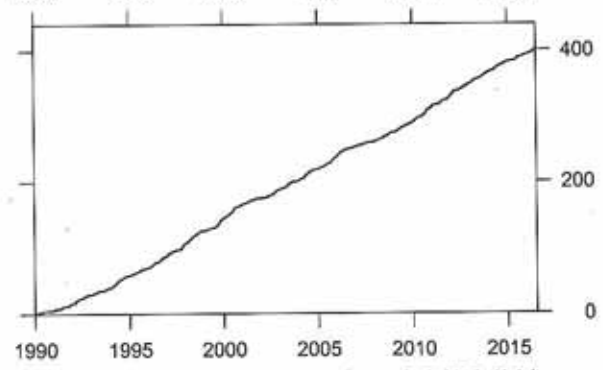
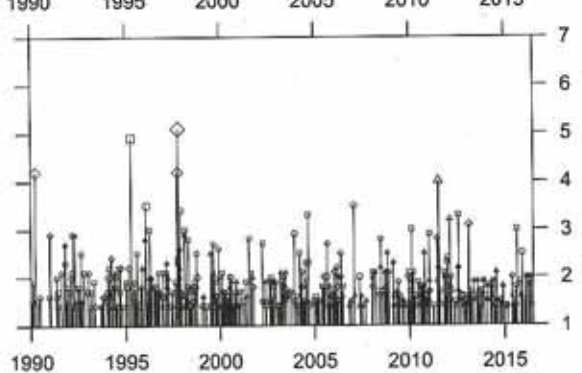
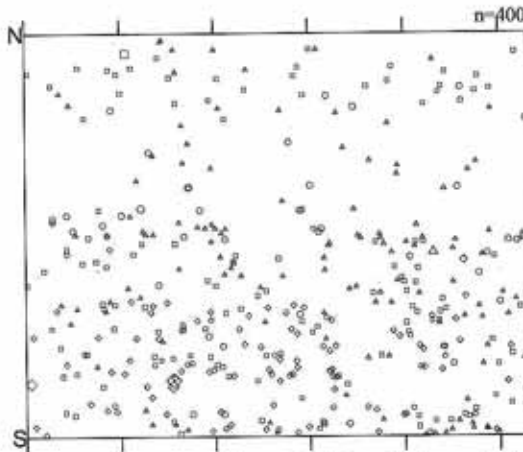
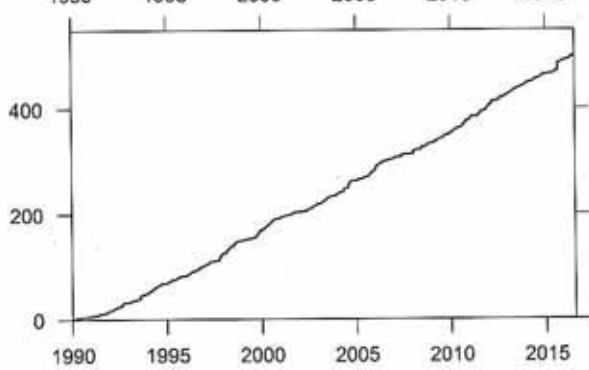
時空間分布図  
(南北方向)



地震活動経過図  
(規模別)



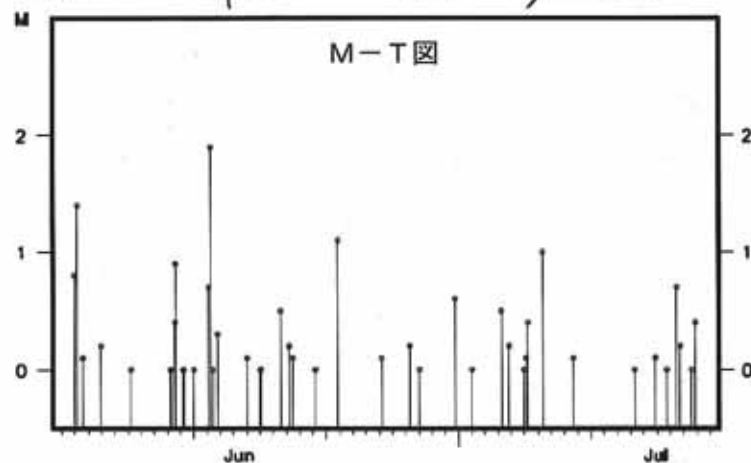
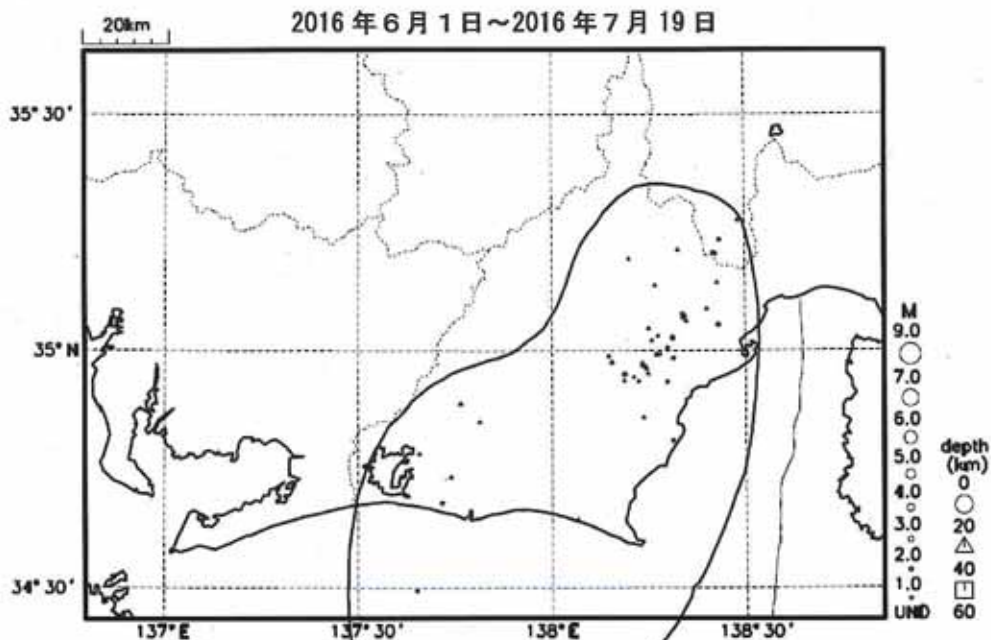
地震回数積算図



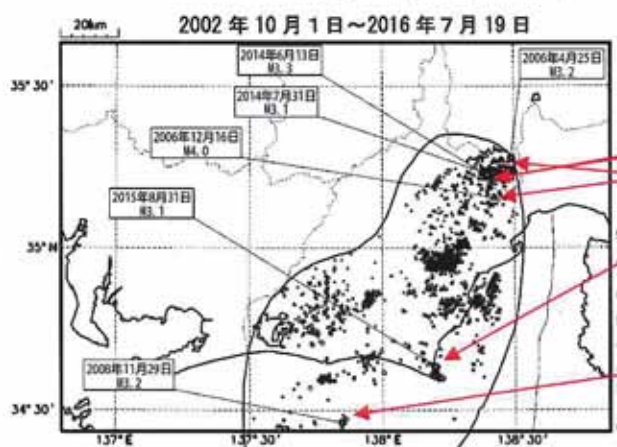
2009年8月の駿河湾の地震(M6.5)と、2011年8月の駿河湾の地震(M6.2)の余震活動域を除外した。

プレート境界とその周辺の地震活動(最近の活動状況)  
(Hirose et al. (2008)によるフィリピン海プレート上面深さの±3kmの地震を抽出)

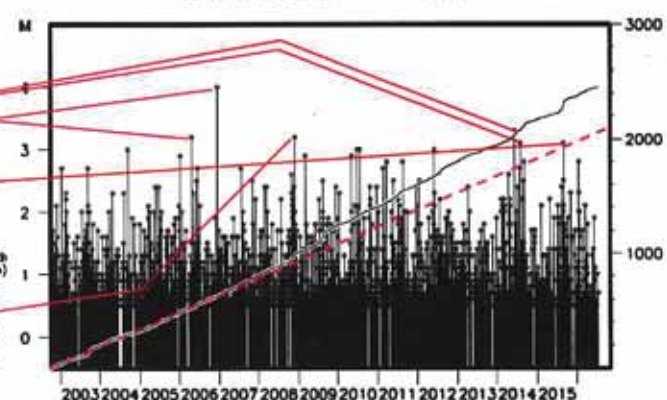
プレート境界とその周辺の地震の震央分布(最近約1ヶ月半、Mすべて)



プレート境界とその周辺の地震の震央分布(2002年10月以降、M≥0.5)



回数積算図とM-T図

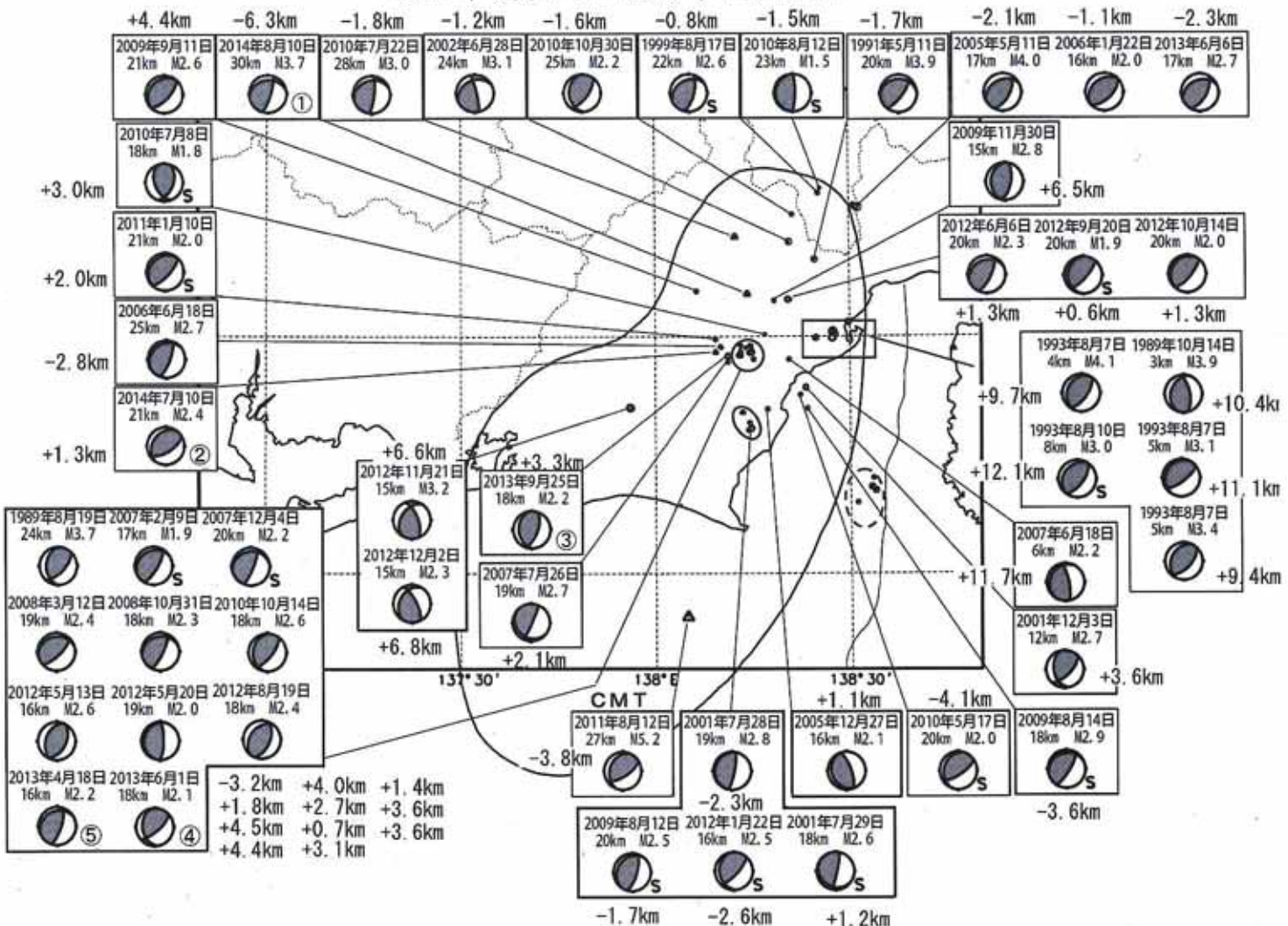


2002年10月以降(M≥0.5)で見ると、東海地域のプレート境界とその周辺の地震活動は、2007年中頃あたりからやや活発に見える。なお、2009年8月11日以降は、駿河湾の地震(M6.5)の余震活動の一部を抽出している。M3を超える地震については、その震央を矢印で示しているが、これらの地震の発震機構解は想定東海地震のものとは類似の型ではない。

気象庁作成

## 想定東海地震の発震機構解と類似の型の地震

1987年9月1日～2016年7月19日



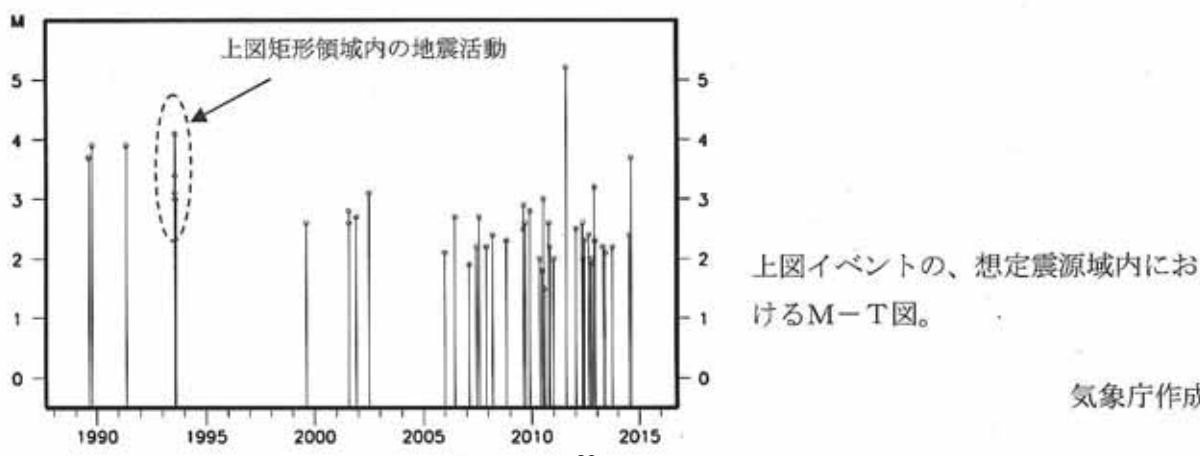
吹き出しの傍に書かれた値は、Hirose et al. (2008)によるプレート境界からの鉛直方向の距離。+はプレート境界より浅く、-は深いことを示す。

最近発生した5つの地震については、丸数字で順番を示す。

想定東海地震の発震機構解と類似の型の地震を抽出した。抽出条件は、P軸の傾斜角が45度以下、かつT軸の方位角が65度以上145度以下、かつN軸の傾斜角が45度以上、かつN軸の傾斜角が30度以下とした。

プレート境界で発生したと疑われる地震の他、明らかに地殻内またはフィリピン海プレート内で発生したと推定される地震も含まれている。また、2009年までに発生した地震については、Nakamura et al. (2008)の3次元速度構造で震源とメカニズム解を再精査し、いくつかの地震は候補から削除されている。点線楕円で囲まれた地震は、2011年8月1日に発生したM6.2の地震の余震で、フィリピン海プレート内の地震である。

なお、吹き出し図中、震源球右下隣りにSの表示があるものは、発震機構解に十分な精度がない。

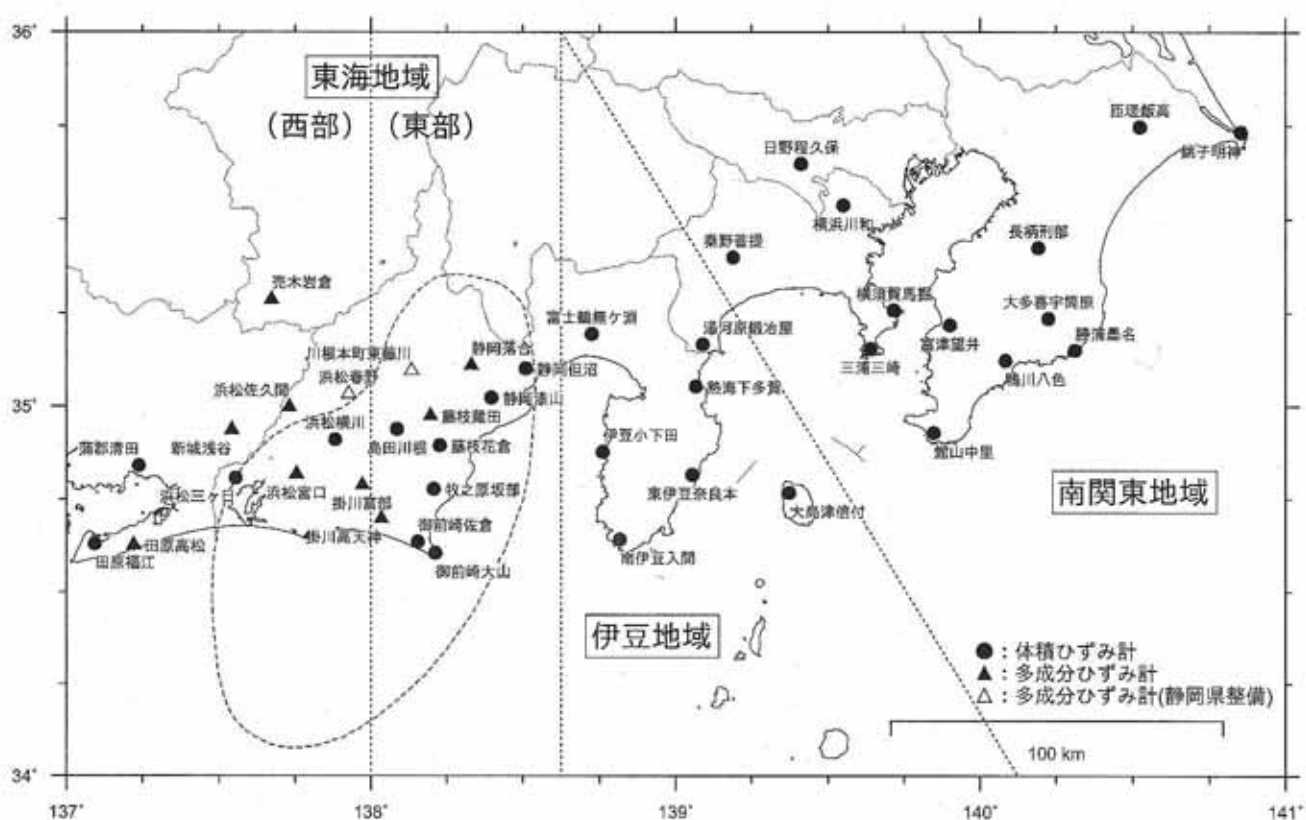


ひずみ計による観測結果（2016年1月1日～2016年7月20日）

短期的ゆっくりすべりに起因すると見られる次の地殻変動がひずみ計で観測された。

SSE1 : 2016年3月2日から4日にかけて観測された。（第359回判定会資料参照）

### ひずみ計の配置図



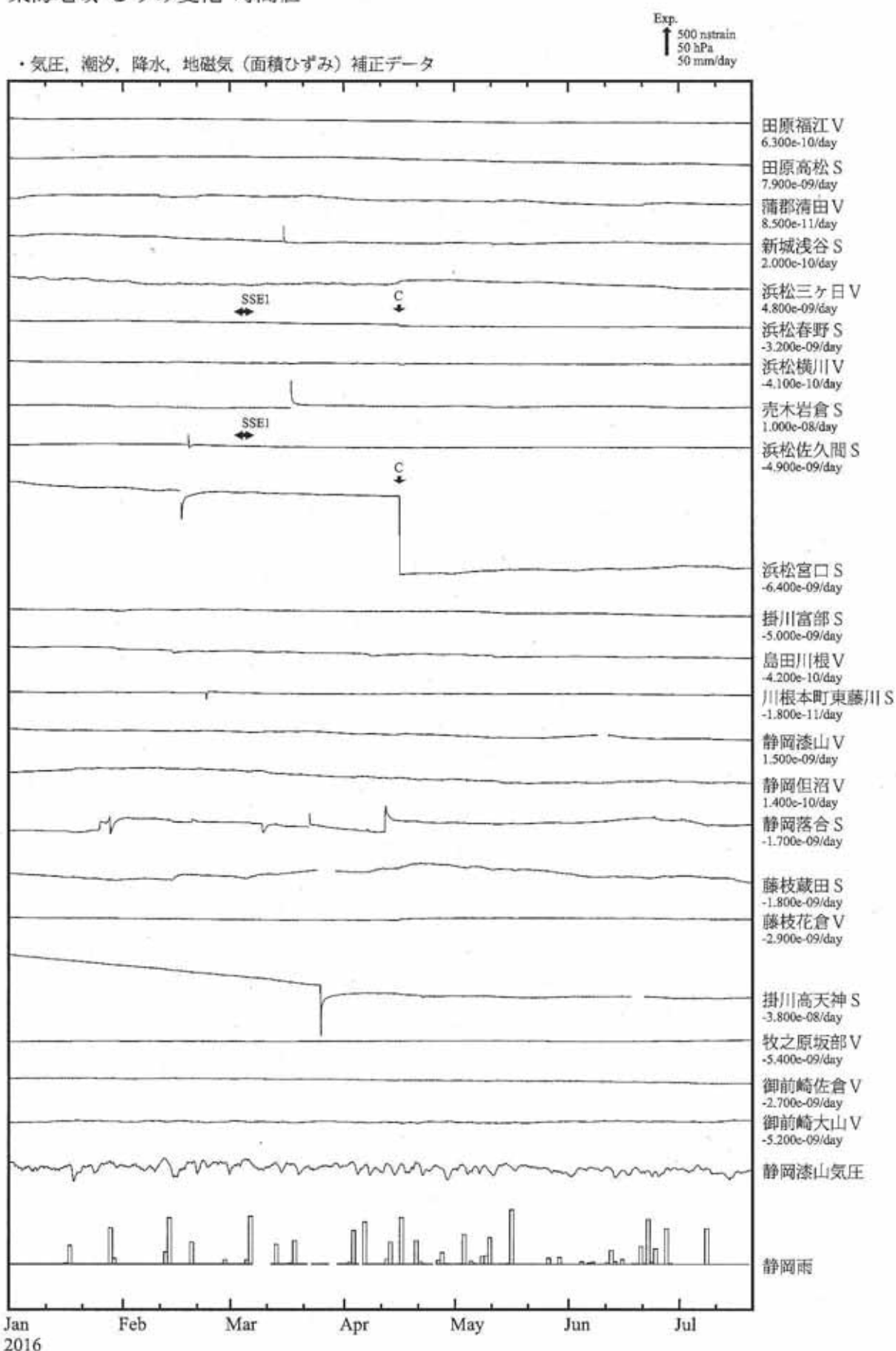
\*観測点名の記号Vは体積ひずみを、Sは多成分ひずみ計で観測した線ひずみより計算した面積ひずみを示す。

※観測点名、観測成分名右側の縦棒は、平常時における24時間階差の99.9%タイル値を示す。

※多成分ひずみ計成分名の( ) 内は測定方位、[ ] 内は面積ひずみ計算に用いた成分を示す。

※多成分ひすみ計の最大剪断ひすみ、面積ひすみ及び主軸方向は、広域のひすみに換算して算出している。

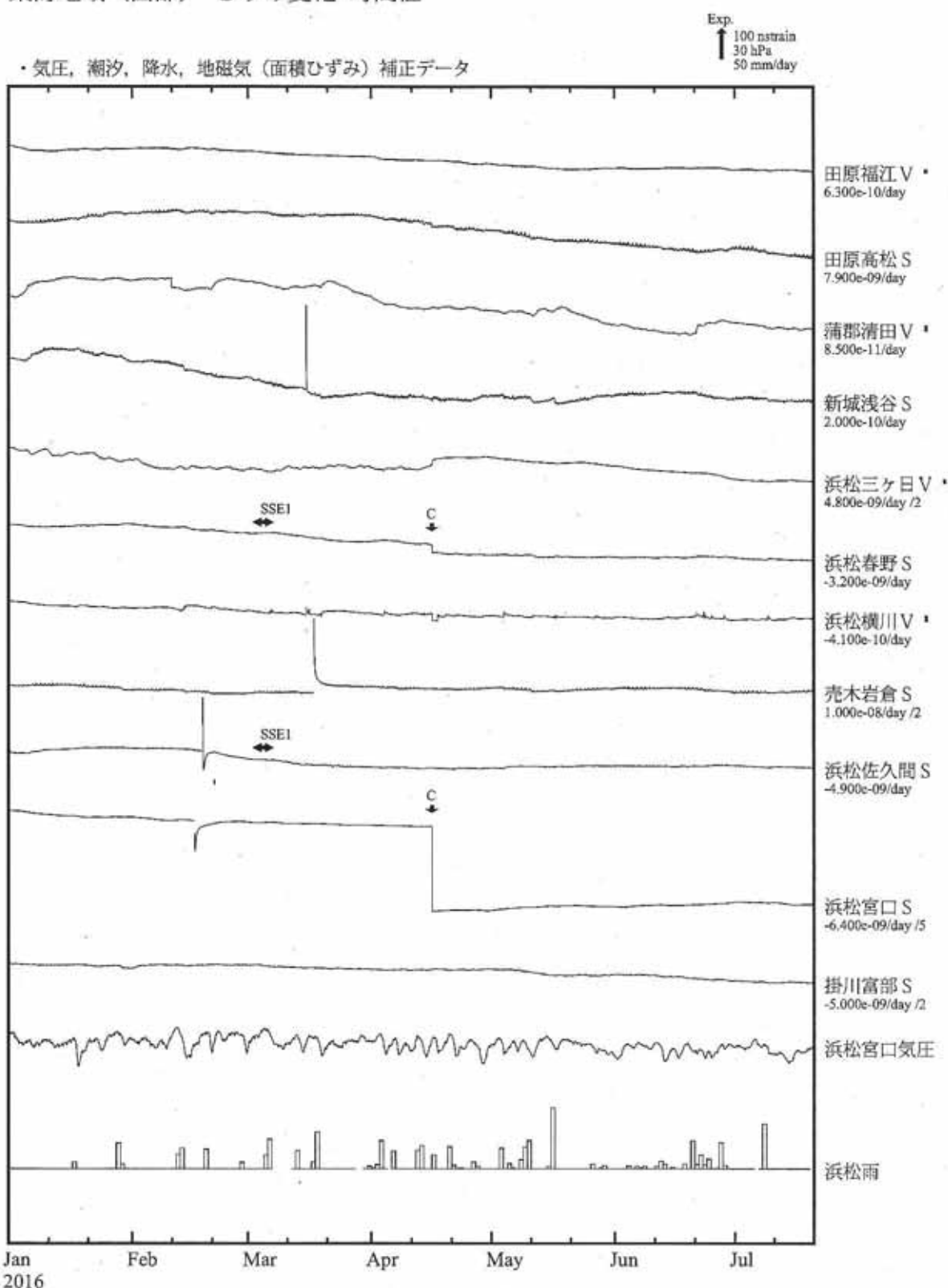
## 東海地域 ひずみ変化 時間値



※田原高松、新城浅谷、壳木岩倉、掛川高天神、藤枝藏田、静岡落合は、降水に伴うひずみ変化を補正していない。  
※田原福江は、地下水の汲み上げに伴うひずみ変化を補正している。

気象庁作成

## 東海地域（西部）ひずみ変化 時間値

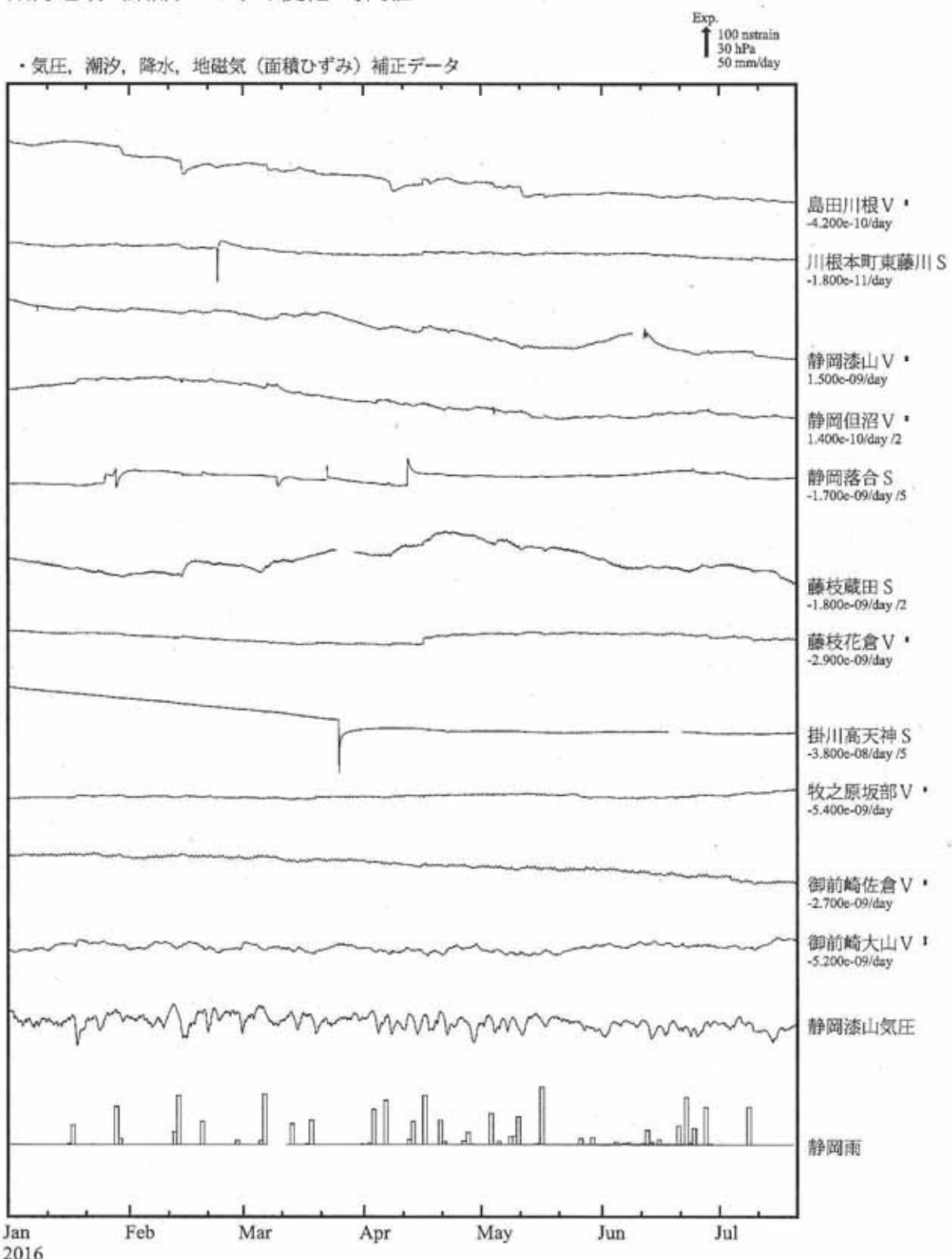


※田原高松、新城浅谷、壳木岩倉は、降水に伴うひずみ変化を補正していない。  
※田原福江は、地下水の汲み上げに伴うひずみ変化を補正している。

SSE1 : 短期的ゆっくりすべり 2016.03.02-03.04

C : 地震に伴うステップ状の変化  
L : 局所的な変化  
S : 例年見られる変化  
M : 調整  
T : 障害

## 東海地域（東部）ひずみ変化 時間値

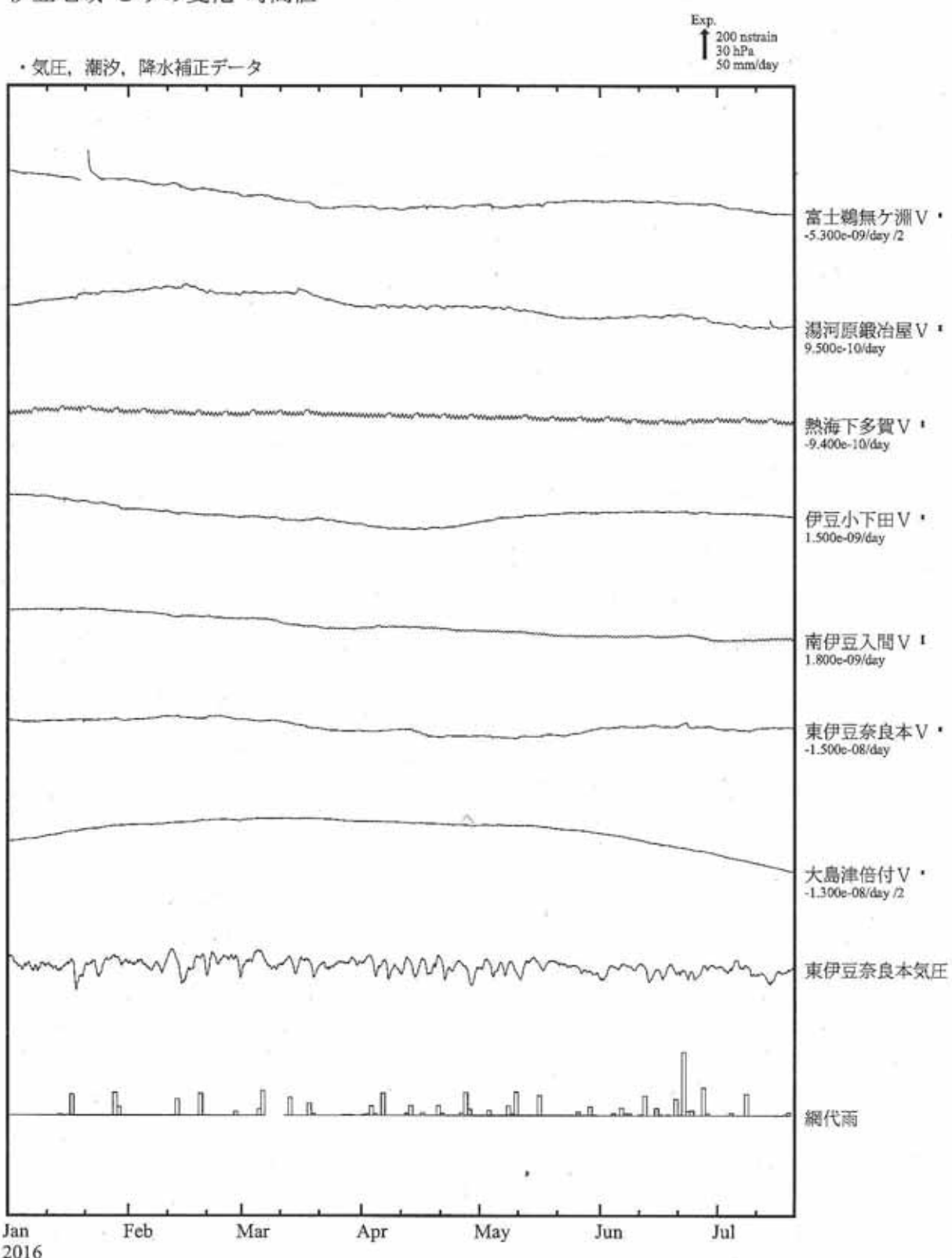


※掛川高天神、藤枝藏田、静岡落合は、降水に伴うひずみ変化を補正していない。

・特記事項なし。

- C : 地震に伴うステップ状の変化
- L : 局所的な変化
- S : 例年見られる変化
- M : 調整
- T : 障害

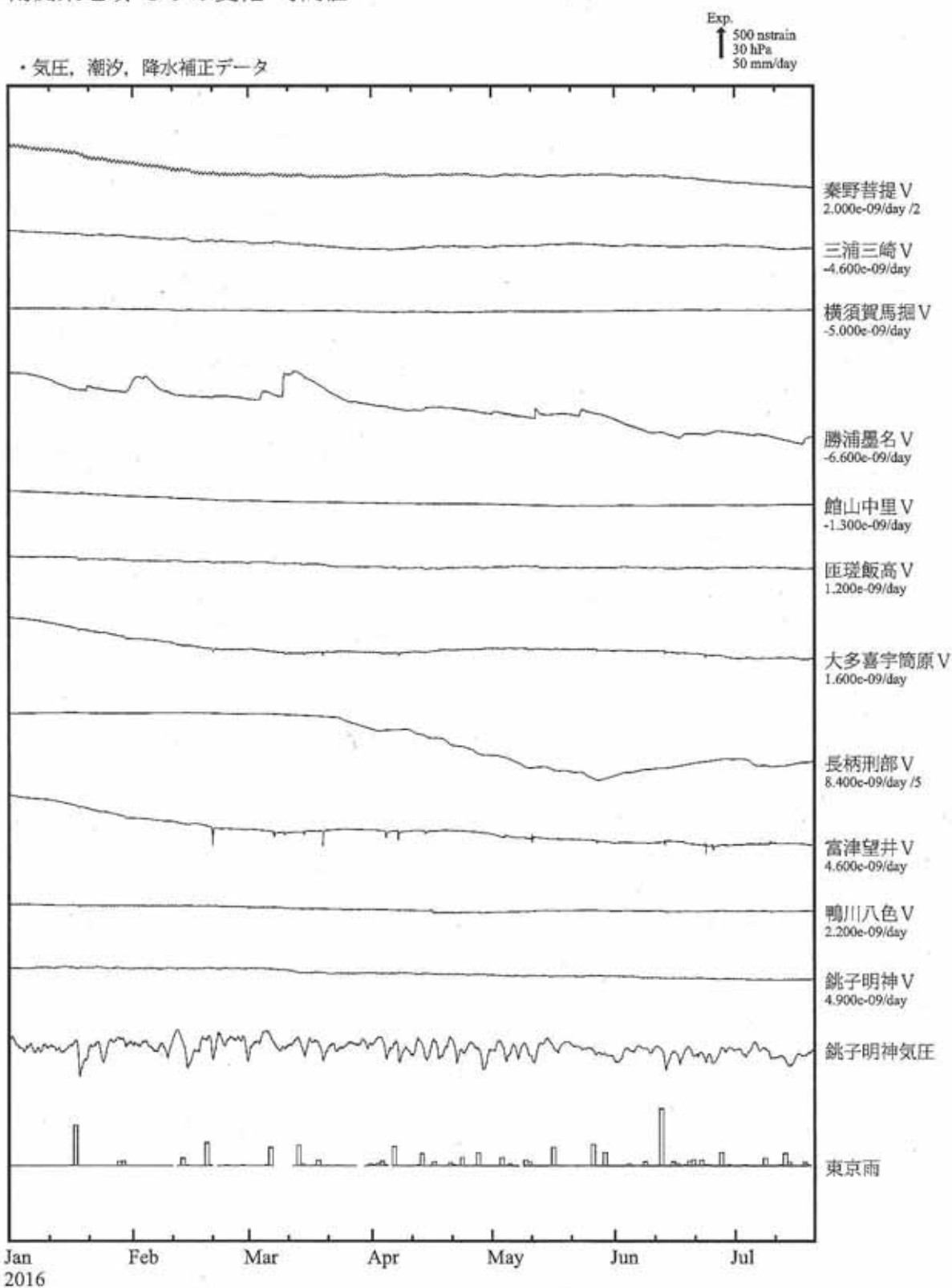
## 伊豆地域 ひずみ変化 時間値



・特記事項なし。

- C : 地震に伴うステップ状の変化
- L : 局所的な変化
- S : 例年見られる変化
- M : 調整
- T : 障害

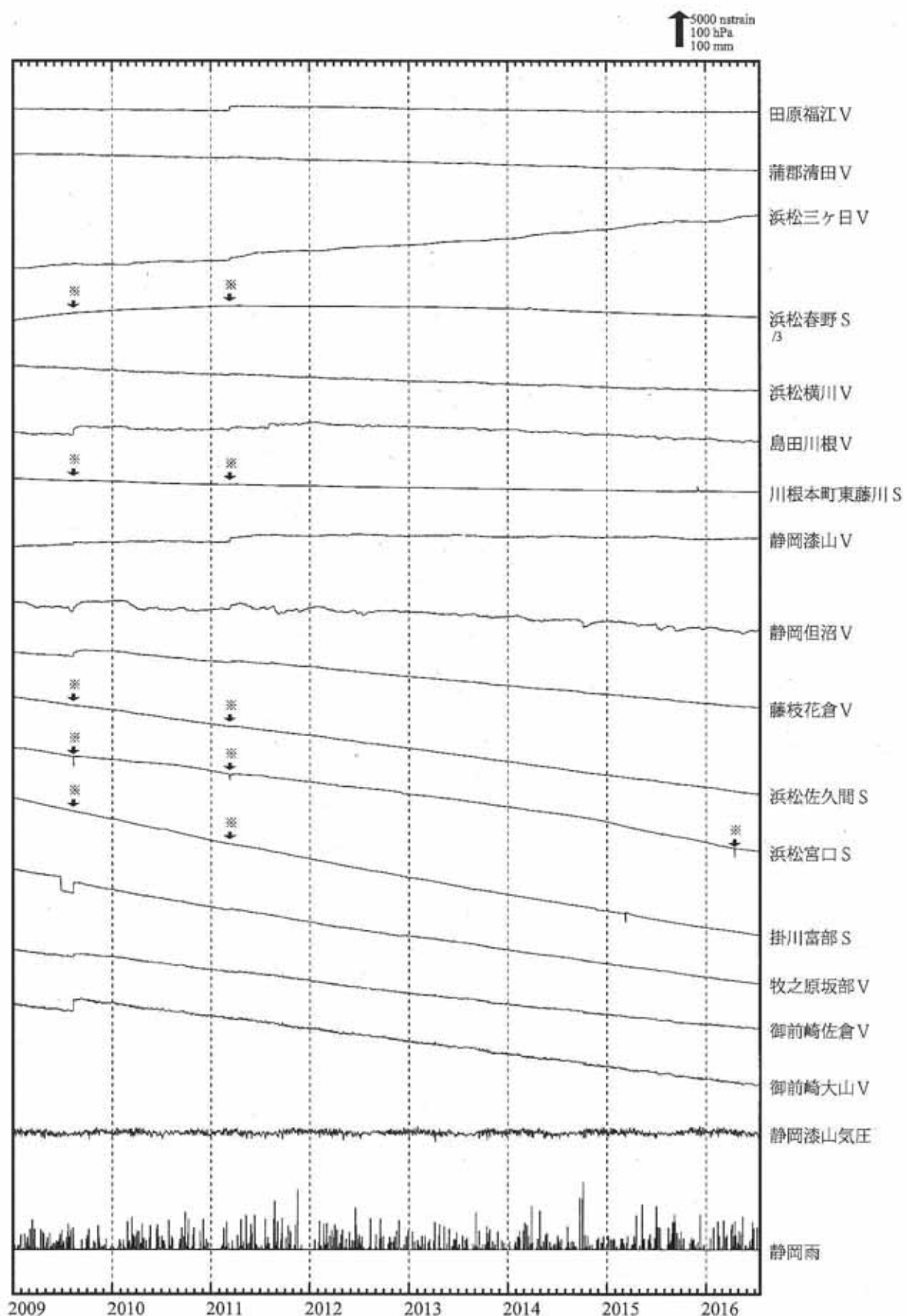
## 南関東地域 ひずみ変化 時間値



・特記事項なし。

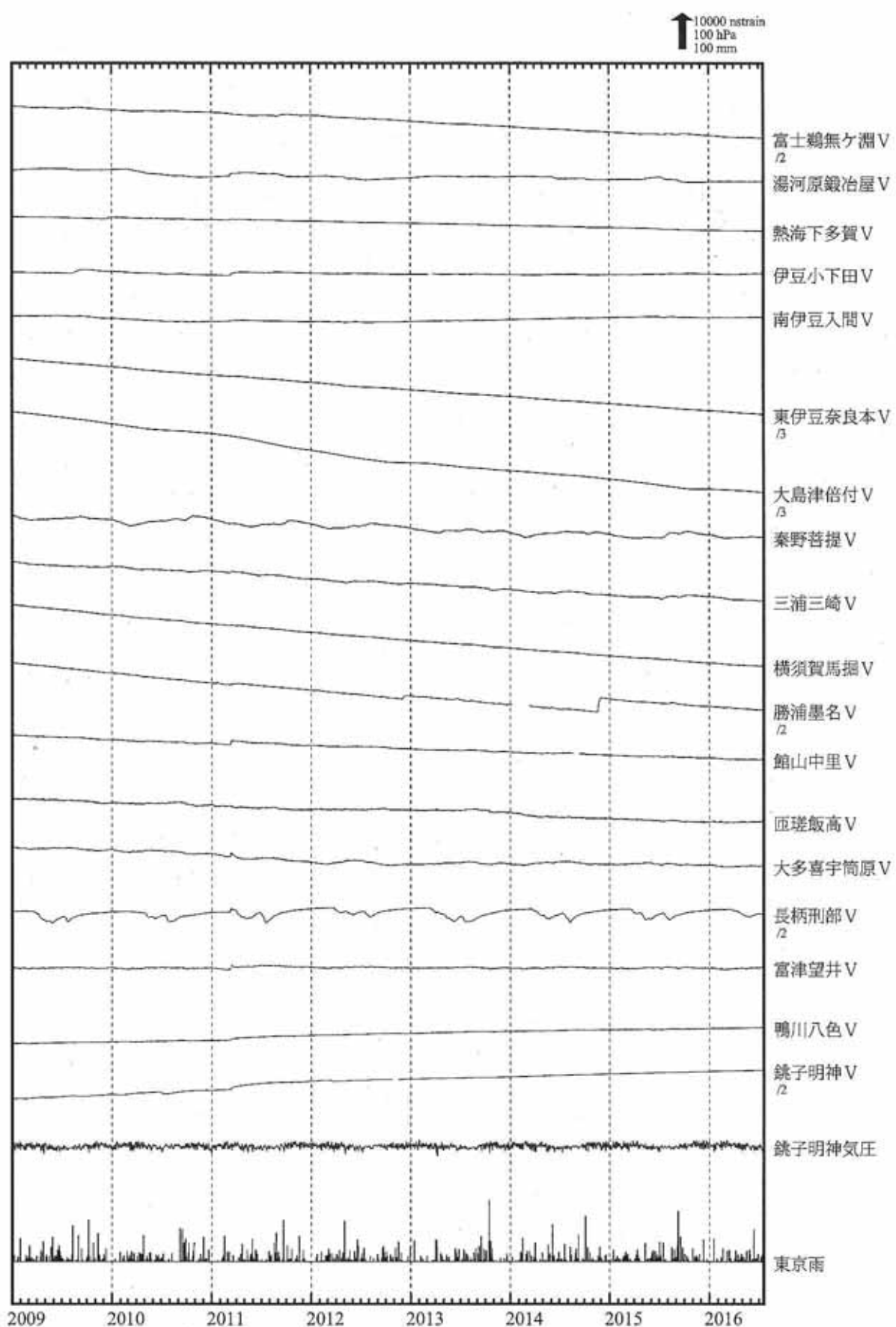
- C : 地震に伴うステップ状の変化
- L : 局所的な変化
- S : 例年見られる変化
- M : 調整
- T : 障害

## 東海地域 ひずみ変化 日平均値

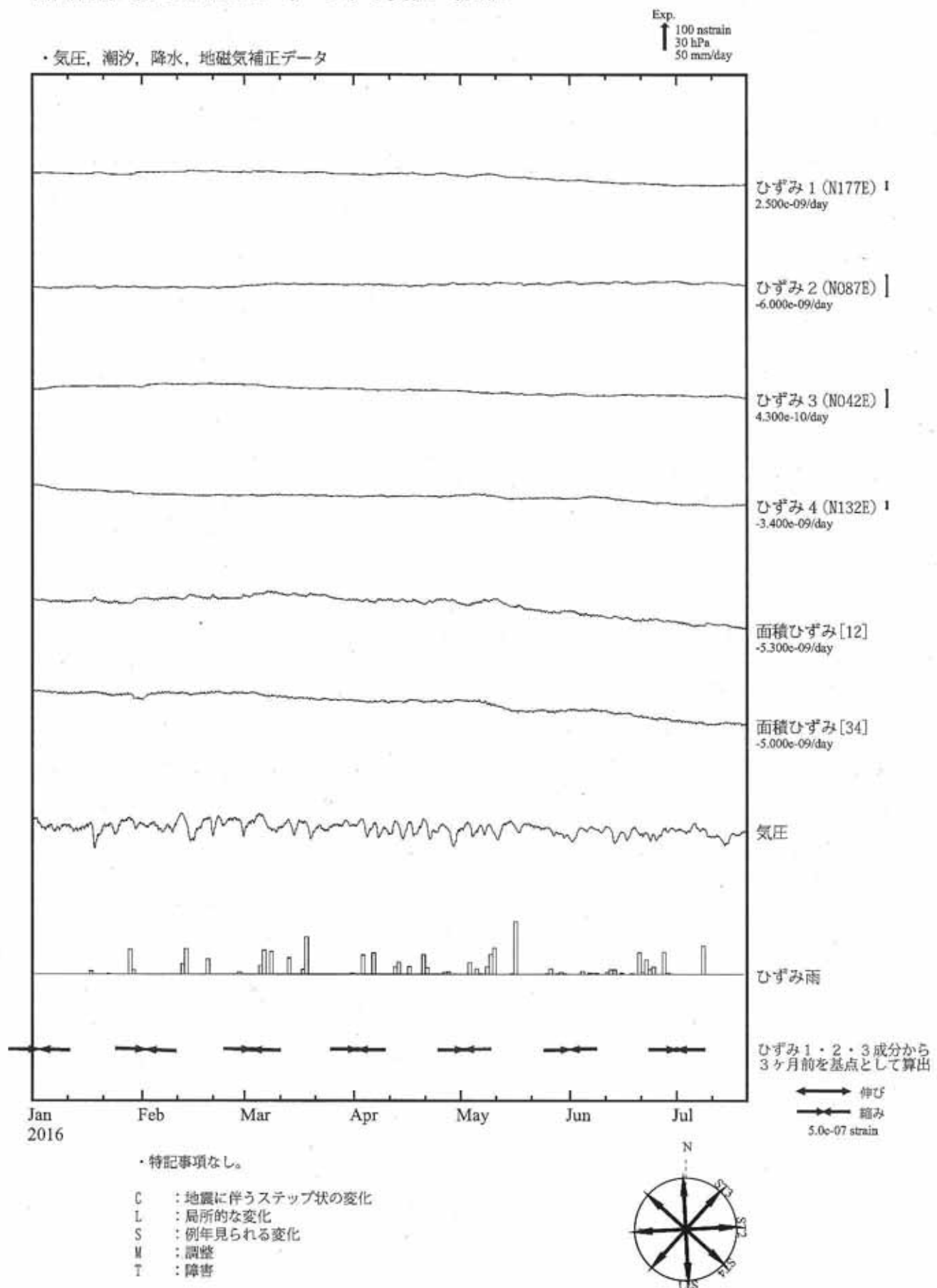


\*面積ひずみは、駿河湾の地震および東北地方太平洋沖地震に伴うステップ状の変化を除去して計算している。

## 伊豆・南関東地域 ひずみ変化 日平均値



## 掛川富部（かけがわとんべ）ひずみ変化 時間値

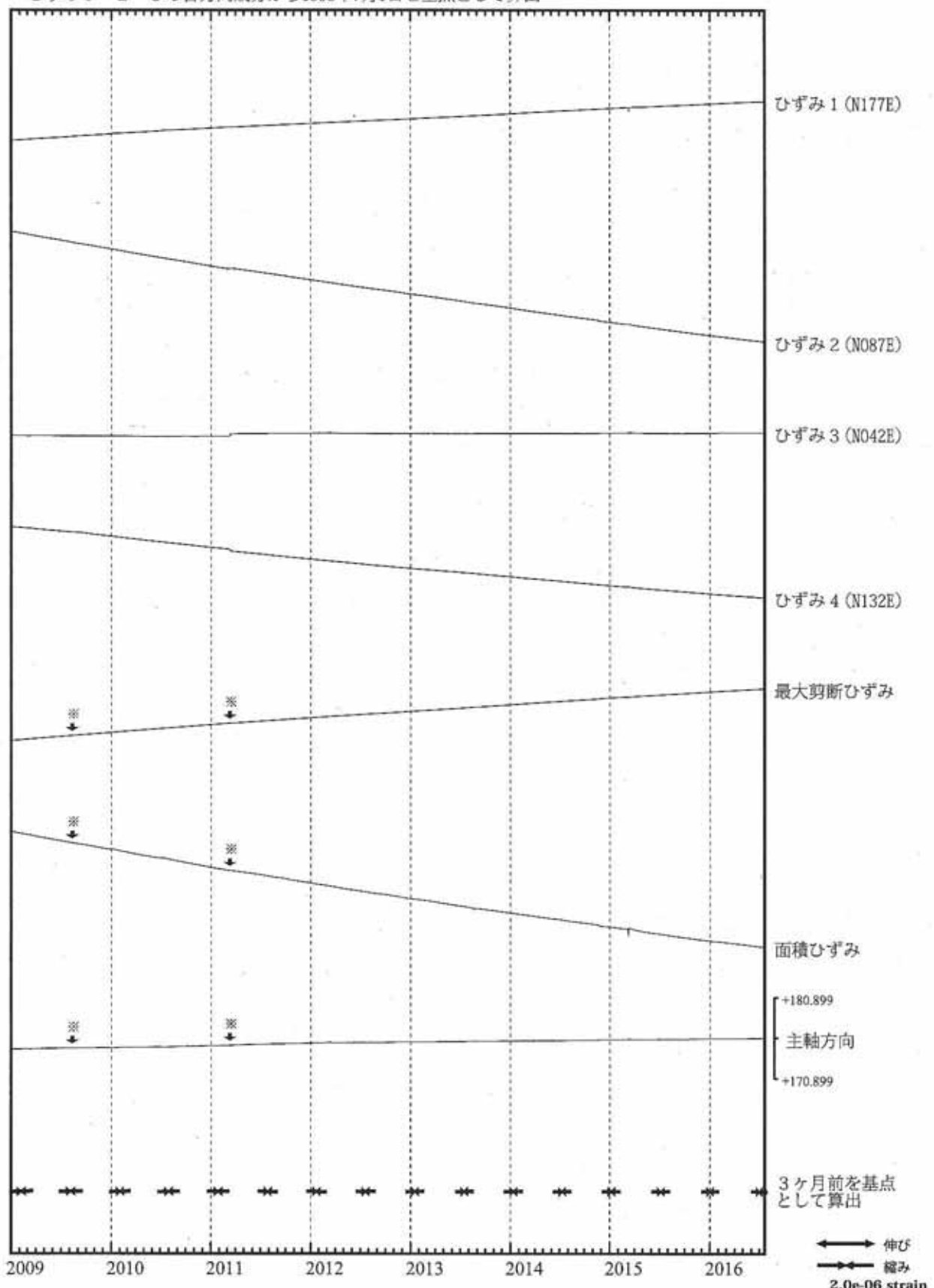


気象庁作成

## 掛川富部 ひずみ変化 日値

・最大剪断ひずみ、面積ひずみおよび主軸方向は  
ひずみ1・2・3の各方向成分から1999年7月1日を基点として算出

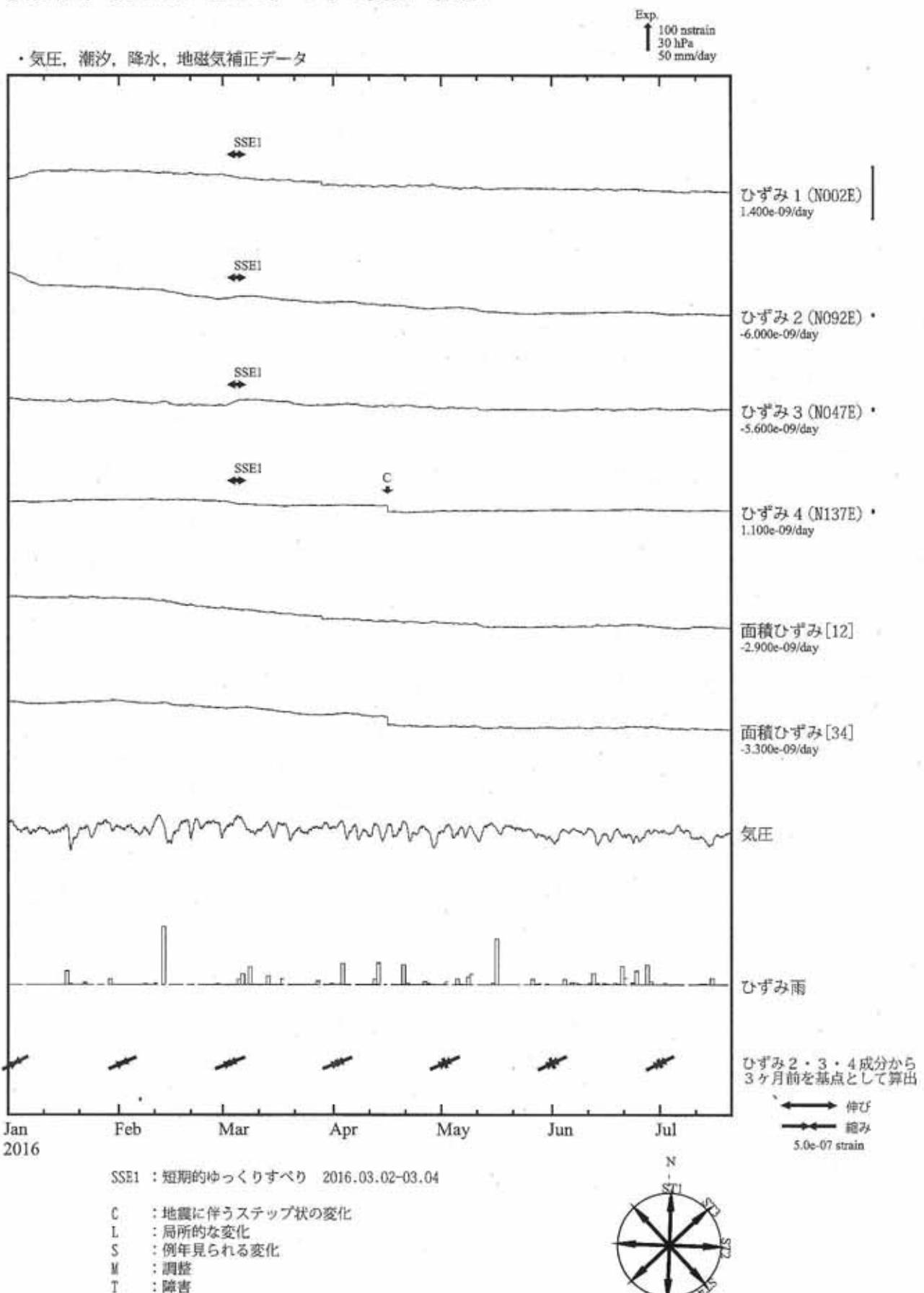
Exp.  
↑ 5000 nstrain



※最大剪断ひずみ、面積ひずみおよび主軸方向は、駿河湾の地震および東北地方太平洋沖地震に伴う  
ステップ状の変化を除去して計算している。

気象庁作成

## 浜松春野（はままつはるの）ひずみ変化 時間値

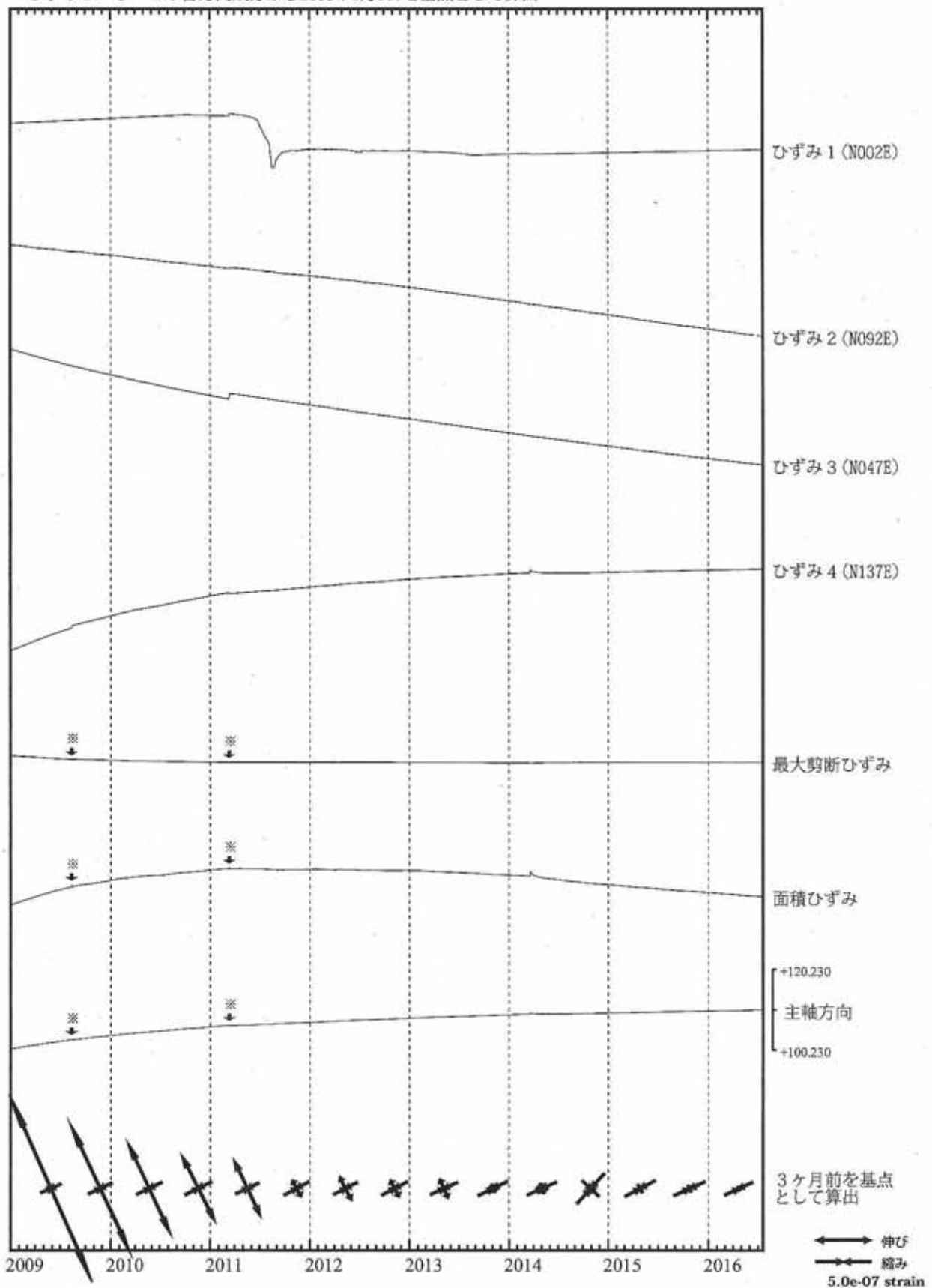


気象庁作成

## 浜松春野 ひずみ変化 日値

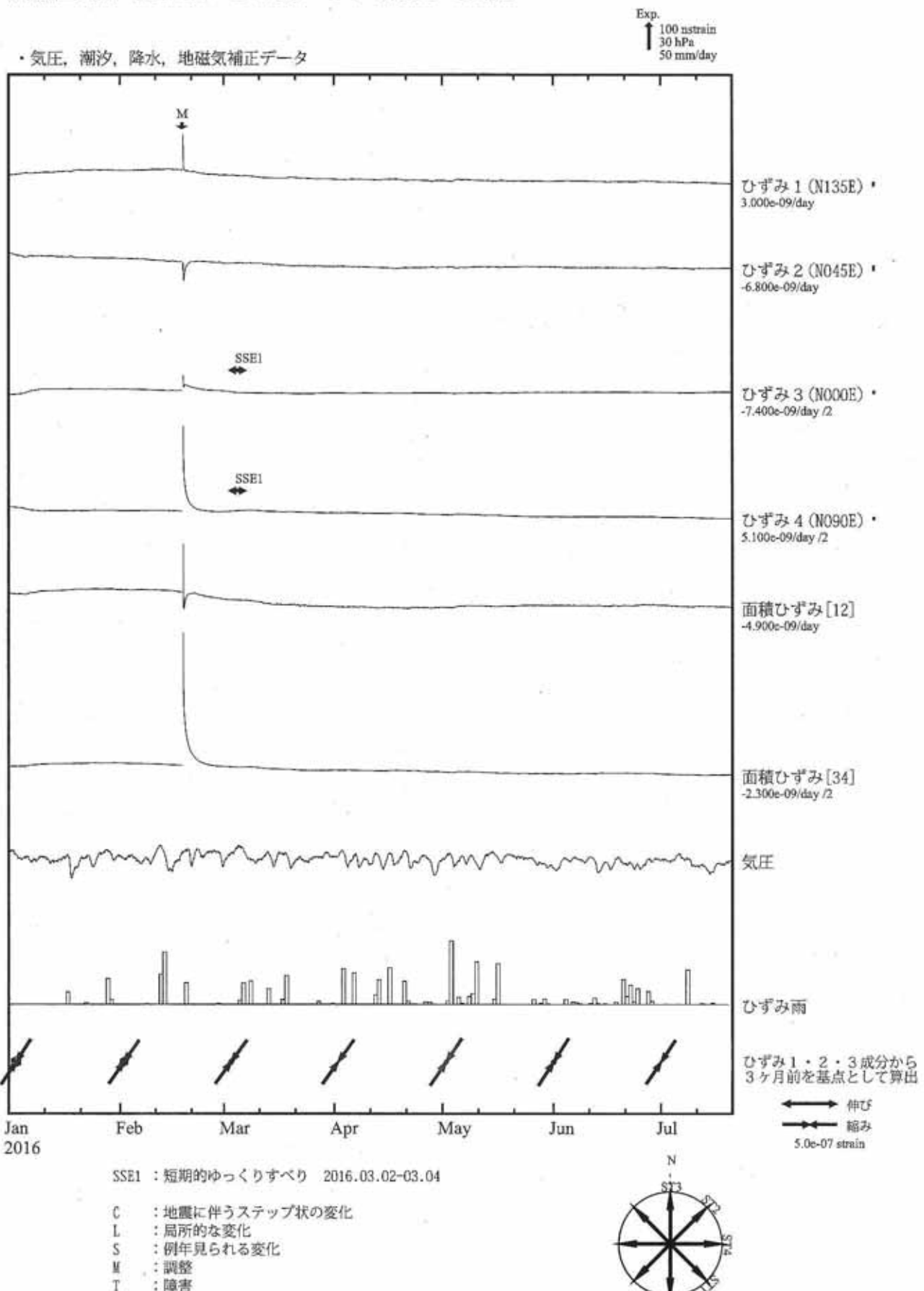
・最大剪断ひずみ、面積ひずみおよび主軸方向は  
ひずみ2・3・4の各方向成分から2003年1月1日を基点として算出

Exp.  
↑ 5000 nstrain



※最大剪断ひずみ、面積ひずみおよび主軸方向は、駿河湾の地震および東北地方太平洋沖地震に伴う  
ステップ状の変化を除去して計算している。

## 浜松佐久間（はままつさくま）ひずみ変化 時間値

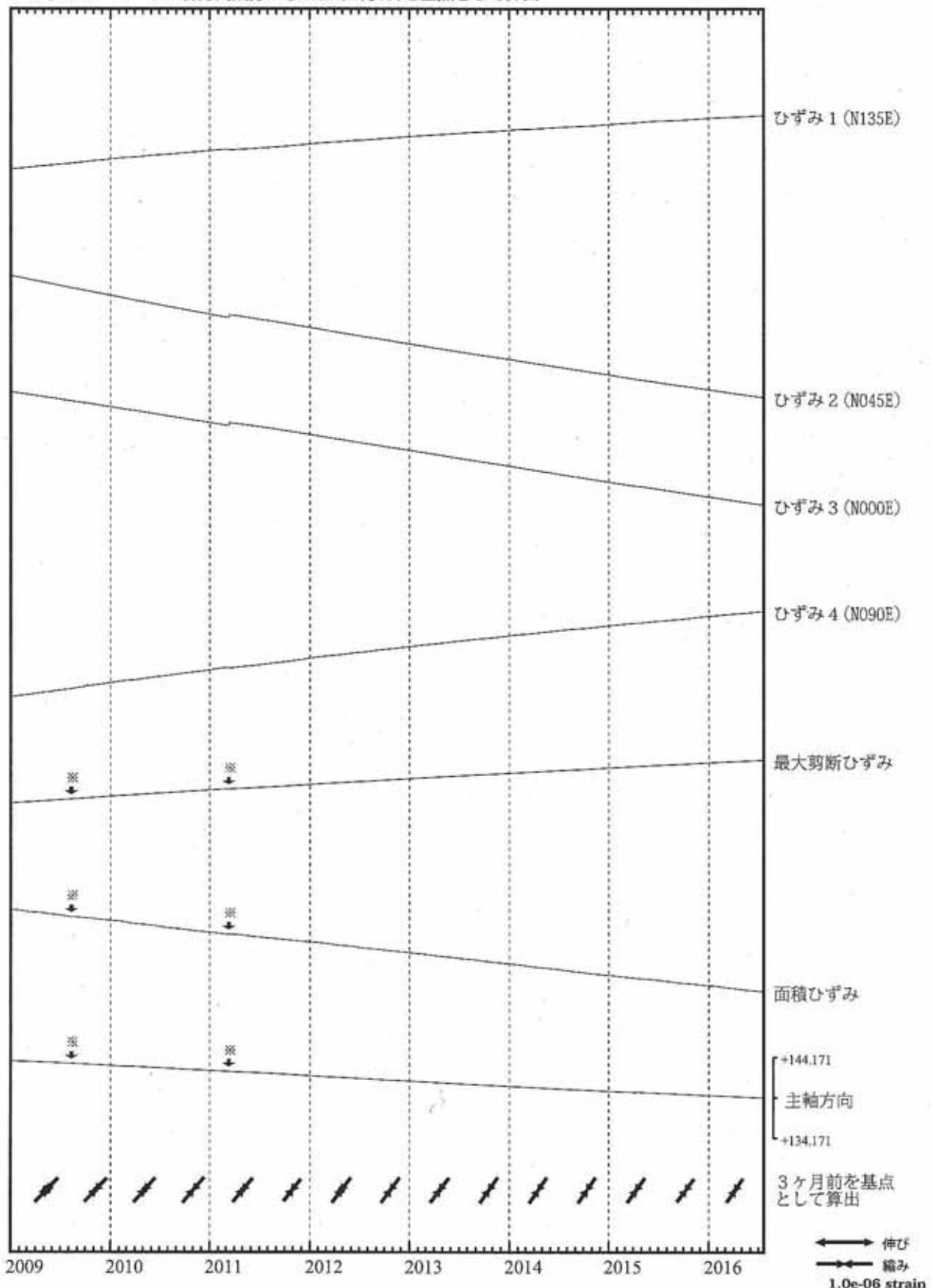


気象庁作成

## 浜松佐久間 ひずみ変化 日値

・最大剪断ひずみ、面積ひずみおよび主軸方向は  
ひずみ1・2・3の各方向成分から2000年1月1日を基点として算出

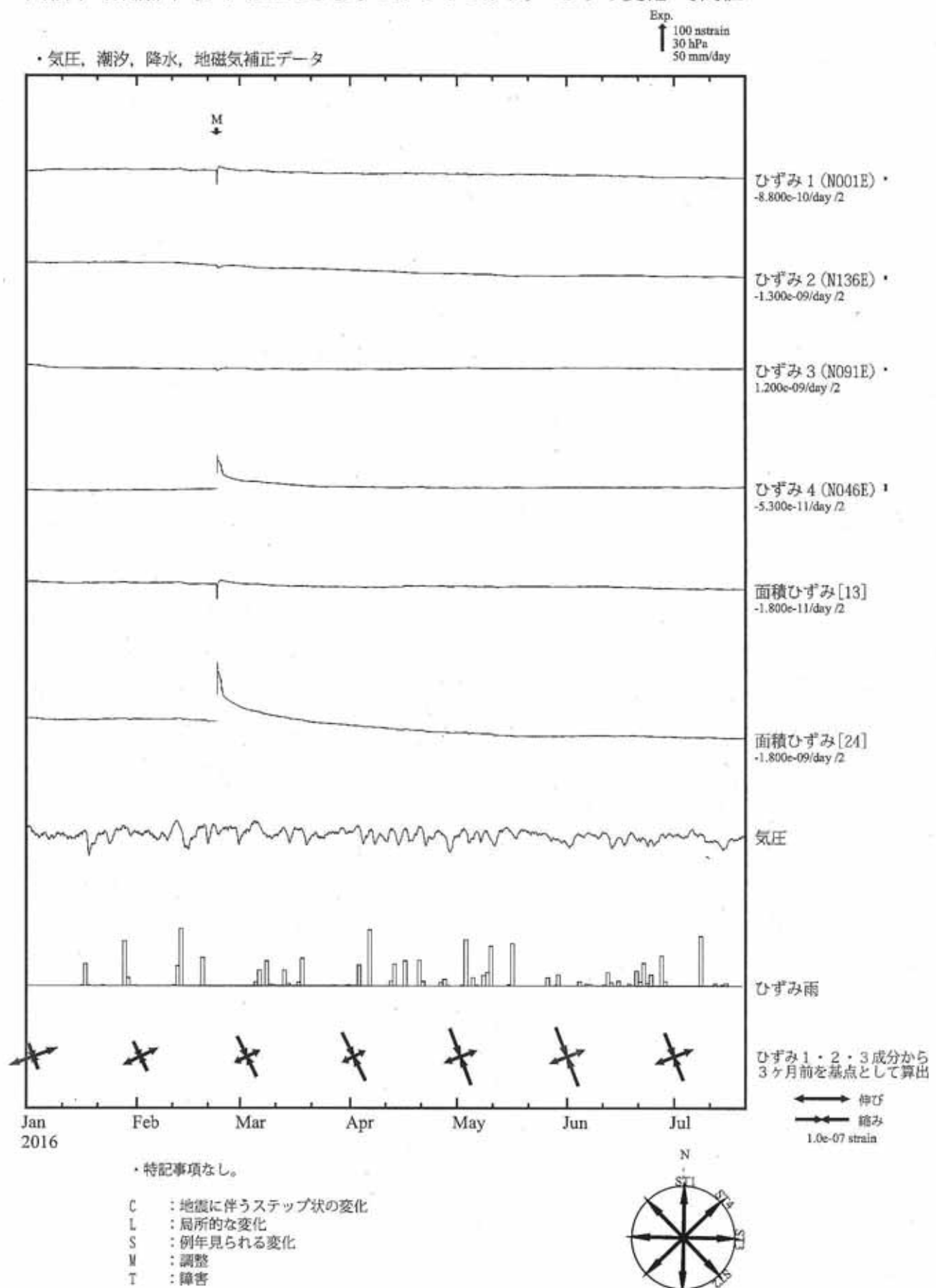
Exp.  
↑ 5000 nstrain



※最大剪断ひずみ、面積ひずみおよび主軸方向は、駿河湾の地震および東北地方太平洋沖地震に伴う  
ステップ状の変化を除去して計算している。

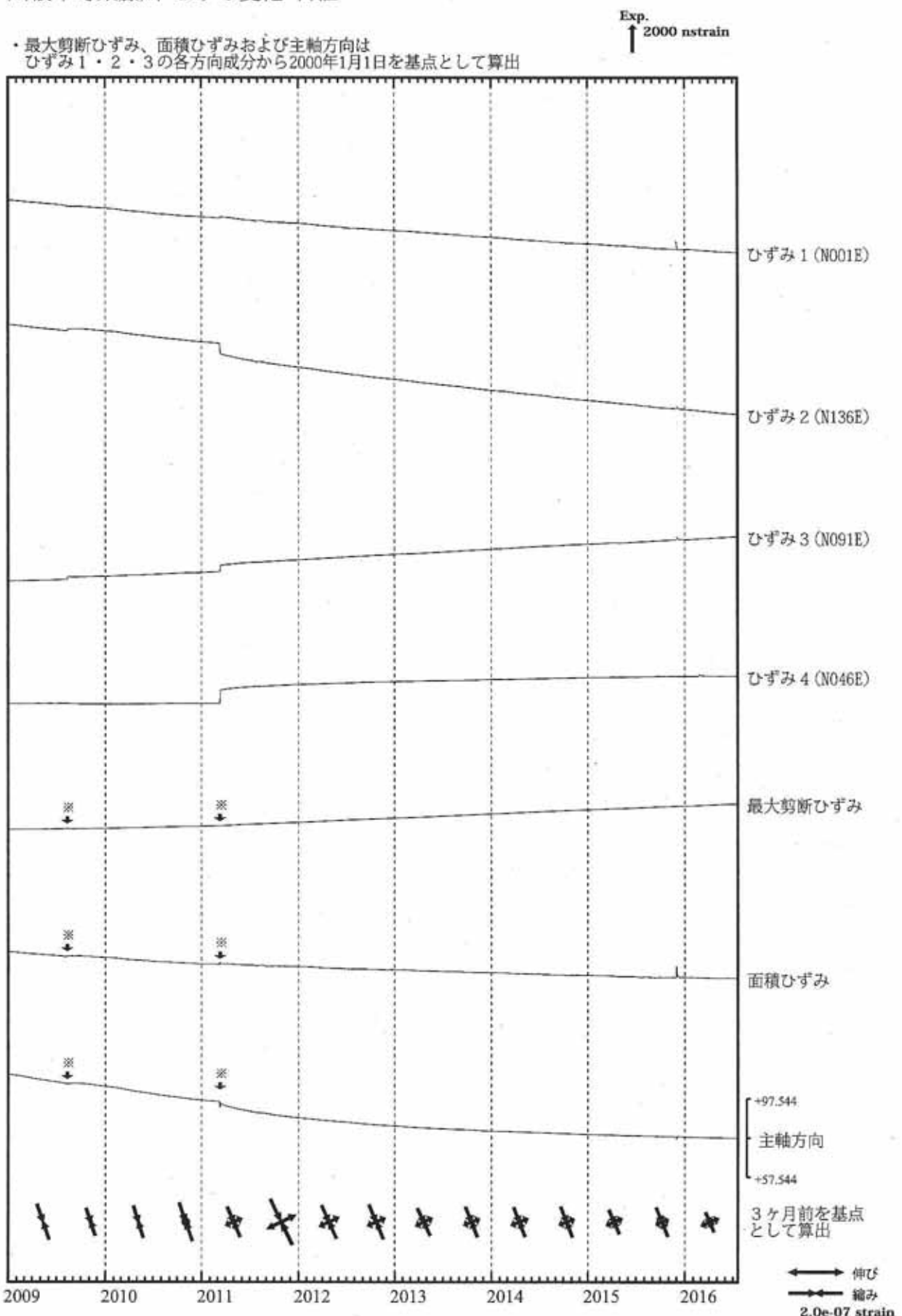
気象庁作成

川根本町東藤川（かわねほんちょうひがしふじかわ）ひずみ変化 時間値



気象庁作成

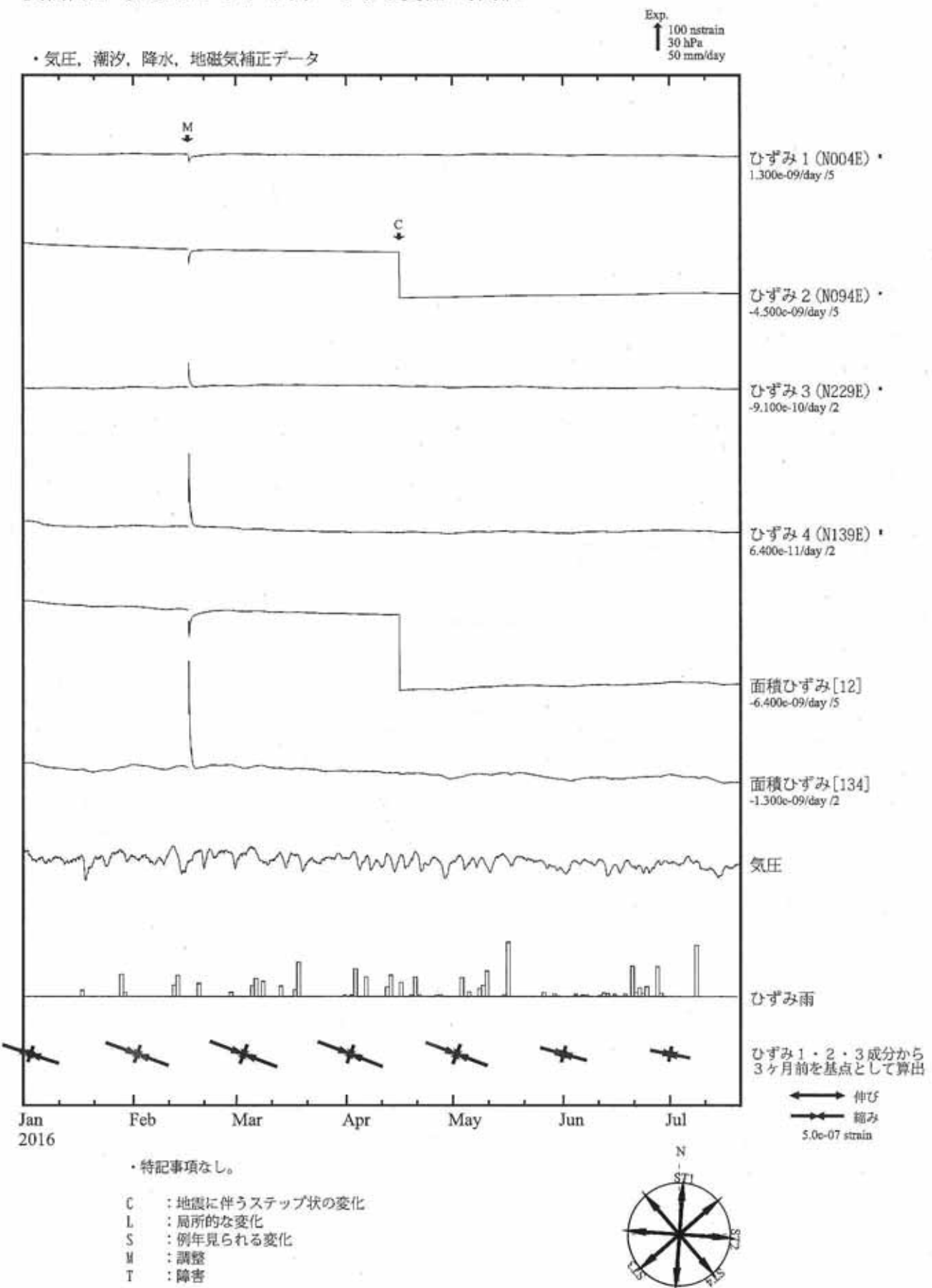
## 川根本町東藤川 ひずみ変化 日値



\*最大剪断ひずみ、面積ひずみおよび主軸方向は、駿河湾の地震および東北地方太平洋沖地震に伴う  
ステップ状の変化を除去して計算している。

気象庁作成

## 浜松宮口（はままつみやぐち）ひずみ変化 時間値

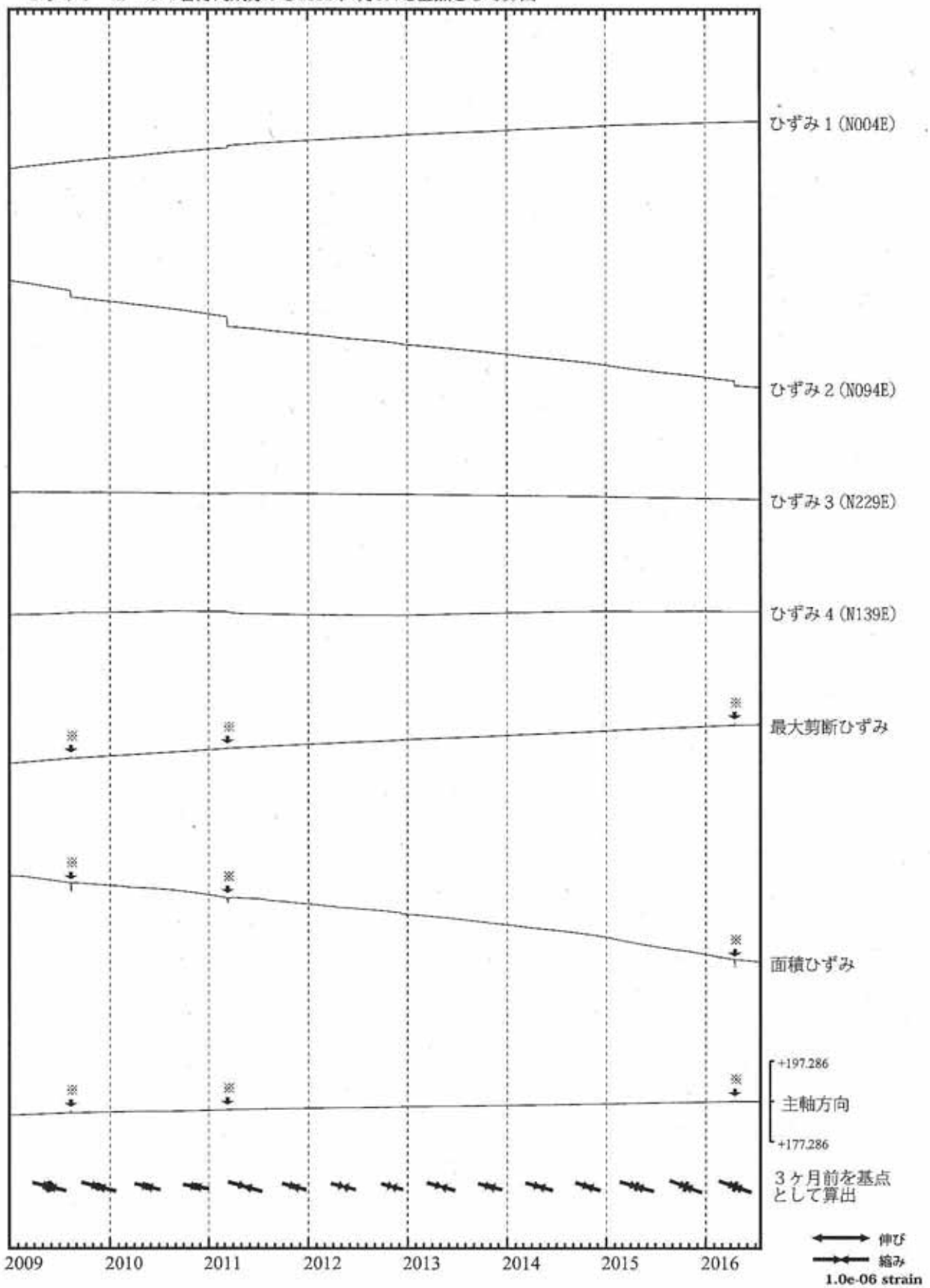


気象庁作成

## 浜松宮口 ひずみ変化 日値

・最大剪断ひずみ、面積ひずみおよび主軸方向は  
ひずみ1・2・3の各方向成分から2002年7月1日を基点として算出

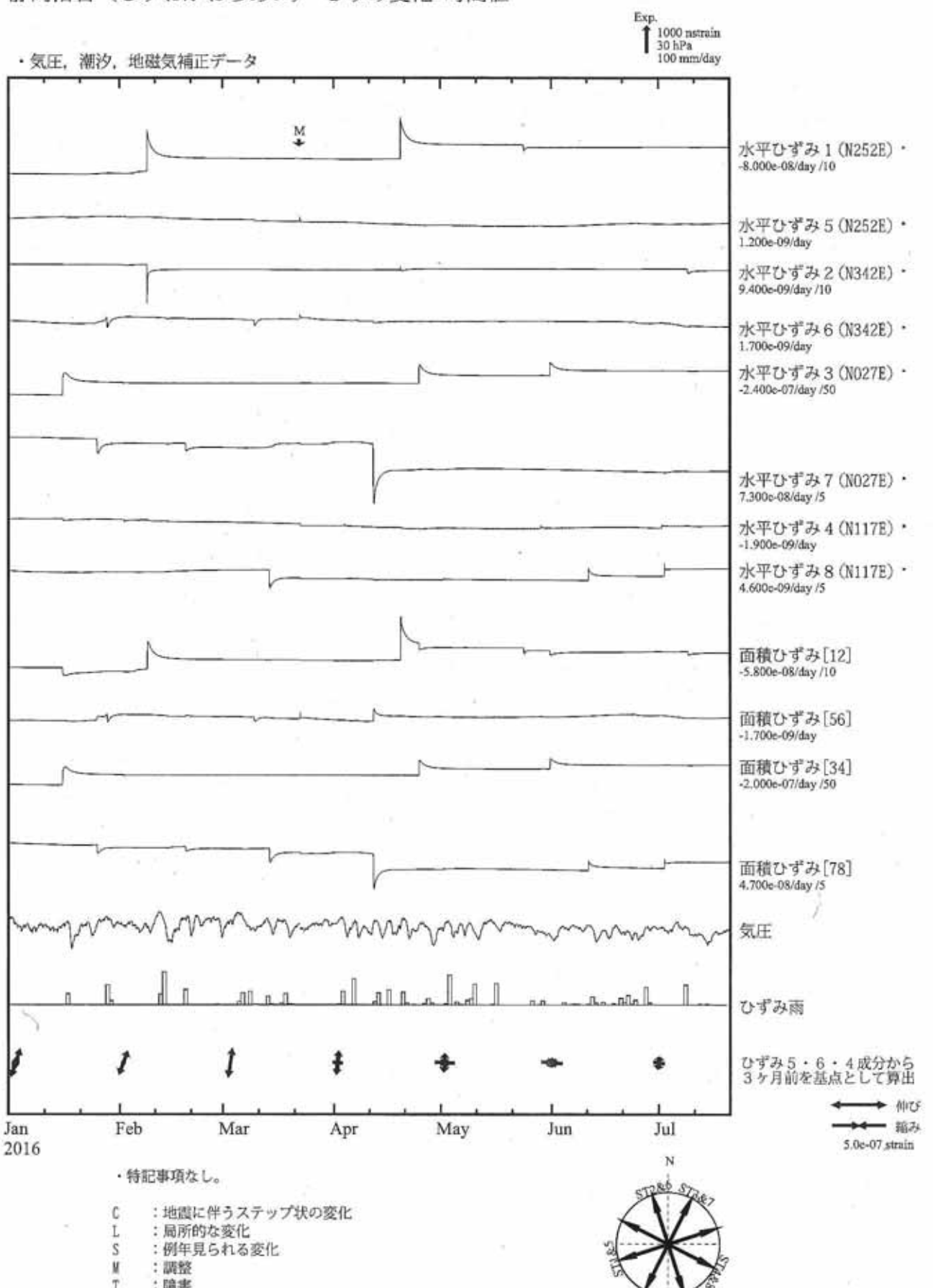
Exp.  
↑ 5000 nstrain



※最大剪断ひずみ、面積ひずみおよび主軸方向は、駿河湾の地震、東北地方太平洋沖地震および熊本地震に伴うステップ状の変化を除去して計算している。

気象庁作成

## 静岡落合（しづおかおちあい）ひずみ変化 時間値

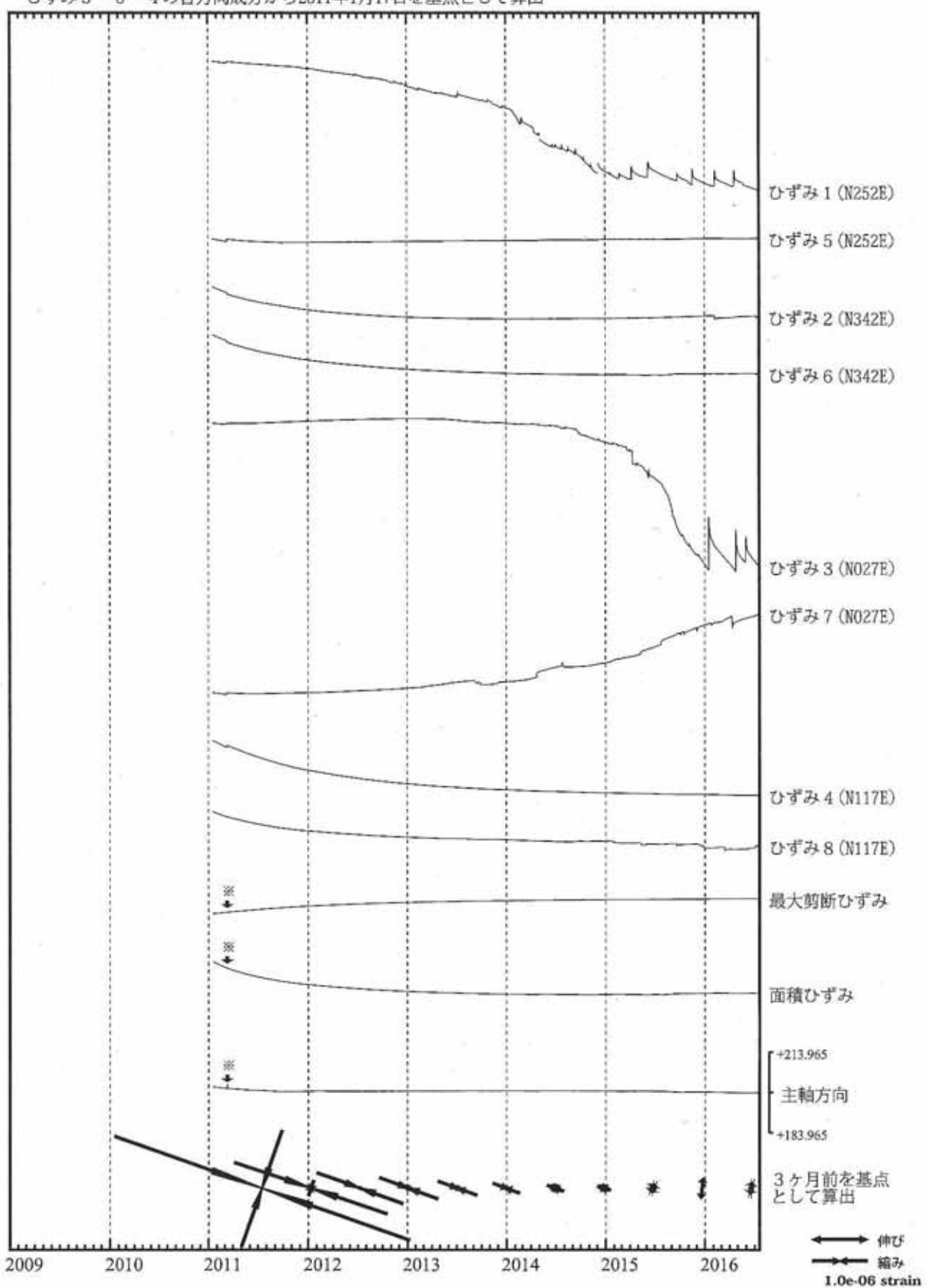


気象庁作成

## 静岡落合 ひずみ変化 日値

・最大剪断ひずみ、面積ひずみおよび主軸方向は  
ひずみ5・6・4の各方向成分から2011年1月17日を基点として算出

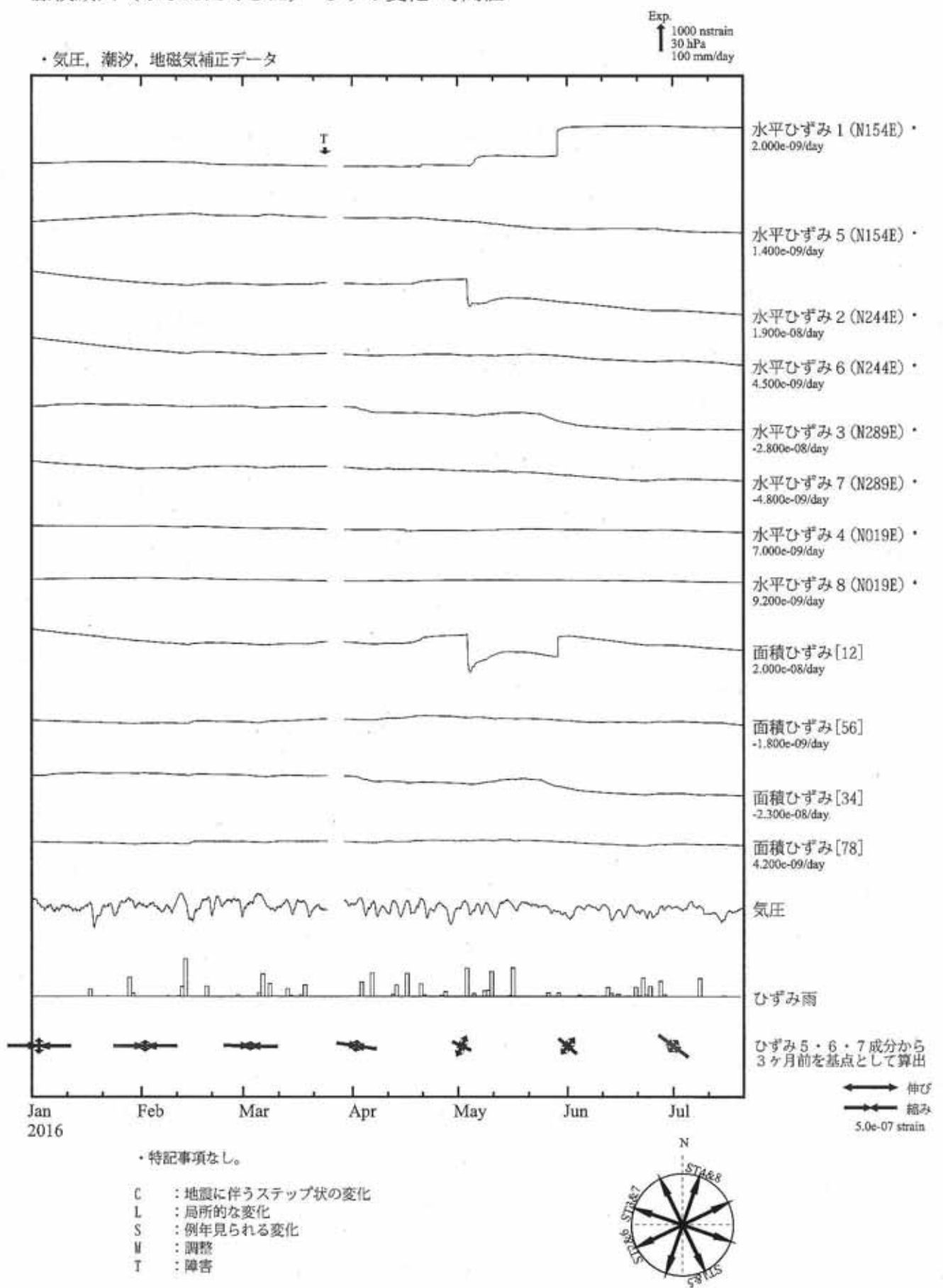
Exp.  
↑ 20000 nstrain



※最大剪断ひずみ、面積ひずみおよび主軸方向は、東北地方太平洋沖地震に伴うステップ状の変化を除去して計算している。

気象庁作成

## 藤枝蕨田（ふじえだくらた）ひずみ変化 時間値

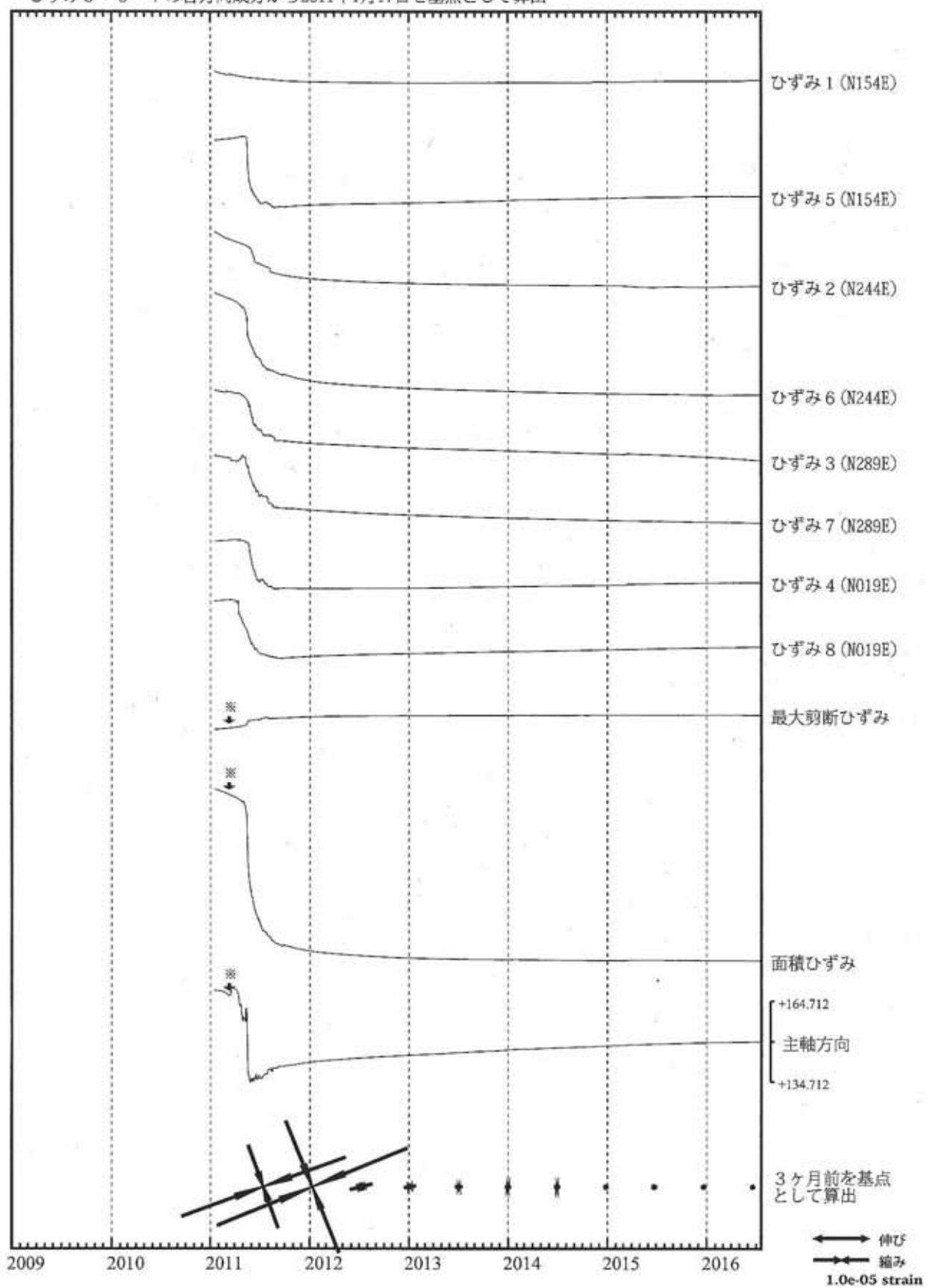


気象庁作成

## 藤枝蔵田 ひずみ変化 日値

・最大剪断ひずみ、面積ひずみおよび主軸方向は  
ひずみ 5・6・7 の各方向成分から2011年1月17日を基点として算出

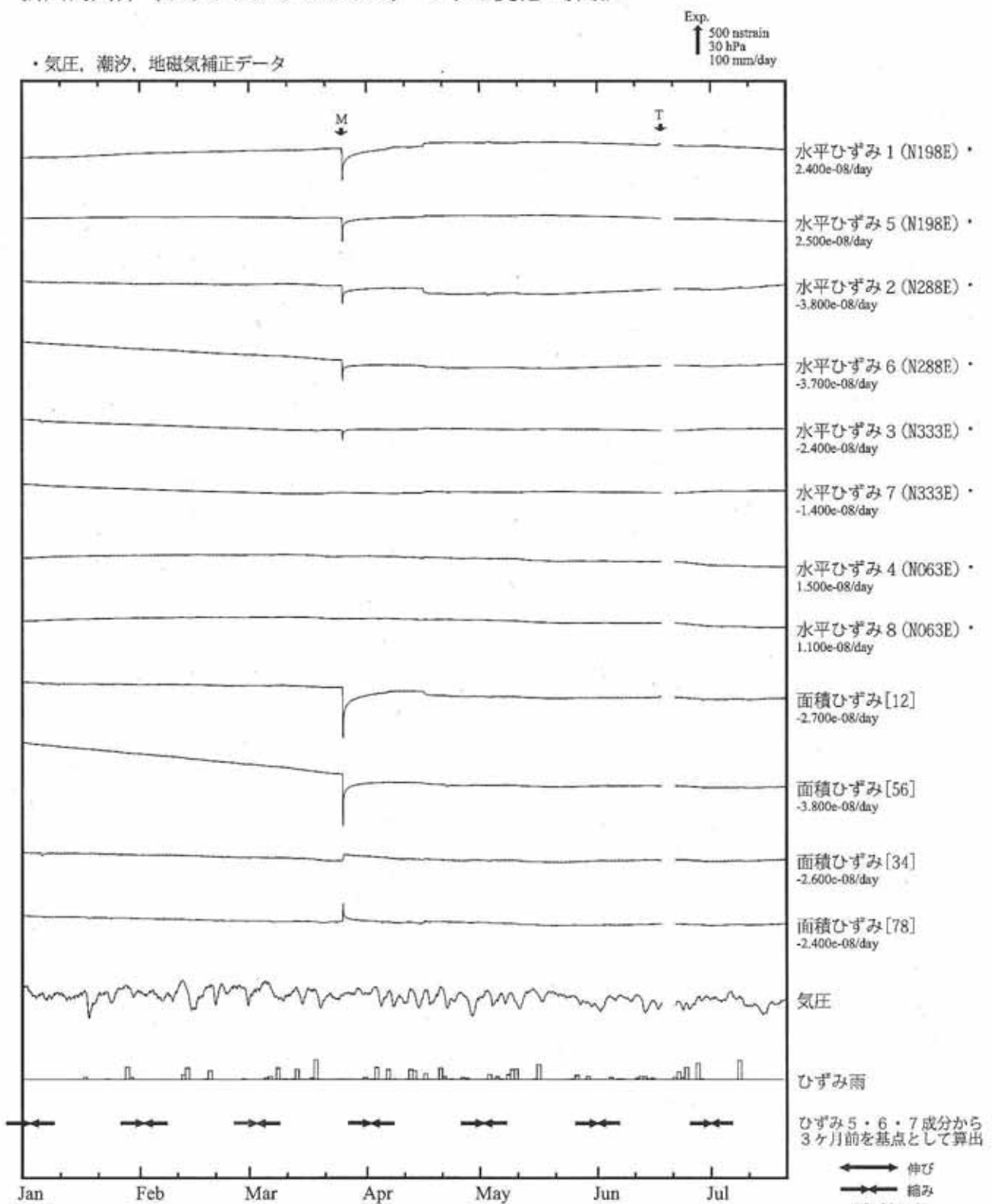
Exp.  
↑ 50000 nstrain



※最大剪断ひずみ、面積ひずみおよび主軸方向は、東北地方太平洋沖地震に伴うステップ状の変化を除去して計算している。

気象庁作成

## 掛川高天神（かけがわたかてんじん）ひずみ変化 時間値

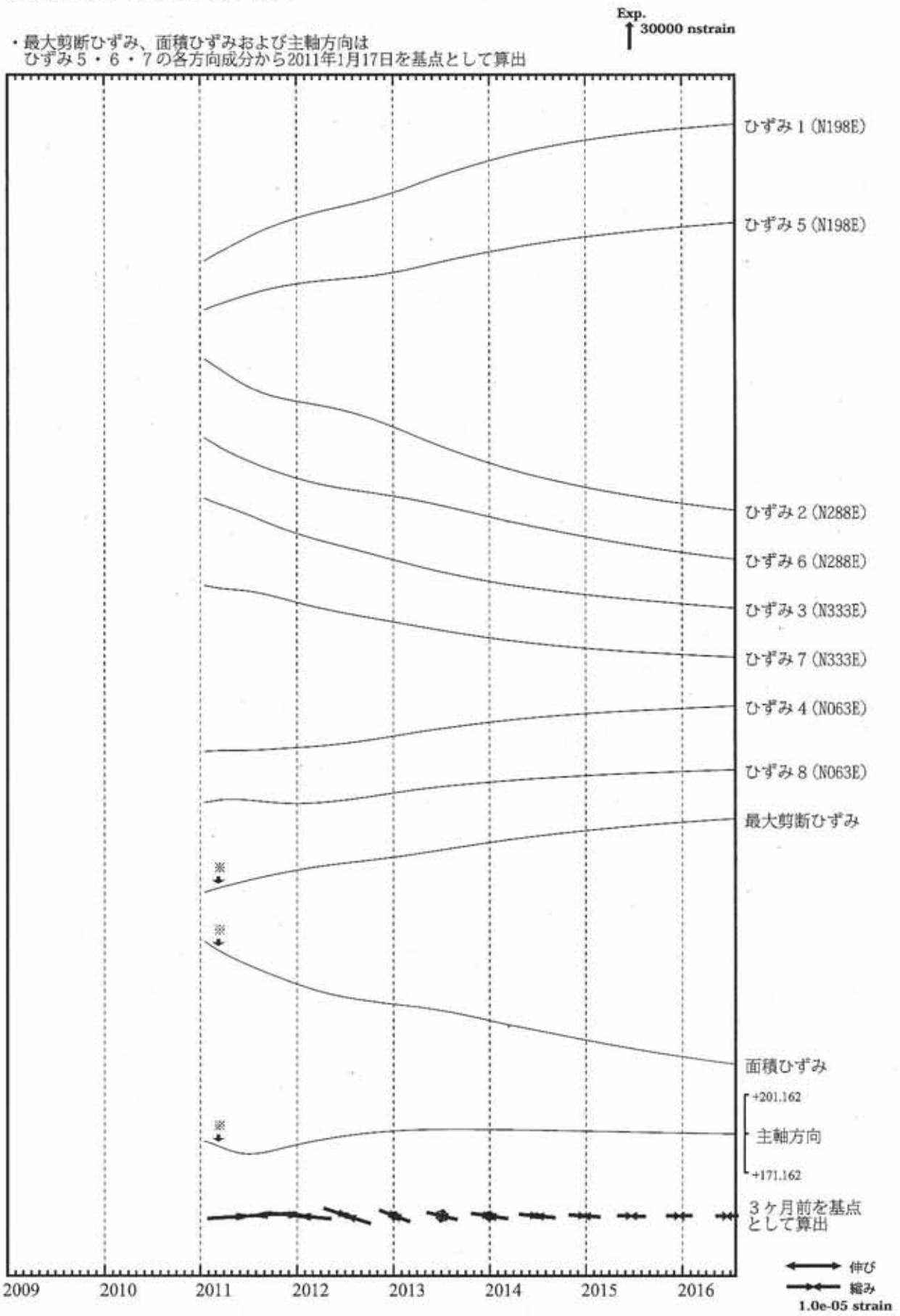


・特記事項なし。

- C : 地震に伴うステップ状の変化
- L : 局所的な変化
- S : 例年見られる変化
- M : 調整
- T : 障害



## 掛川高天神 ひずみ変化 日値

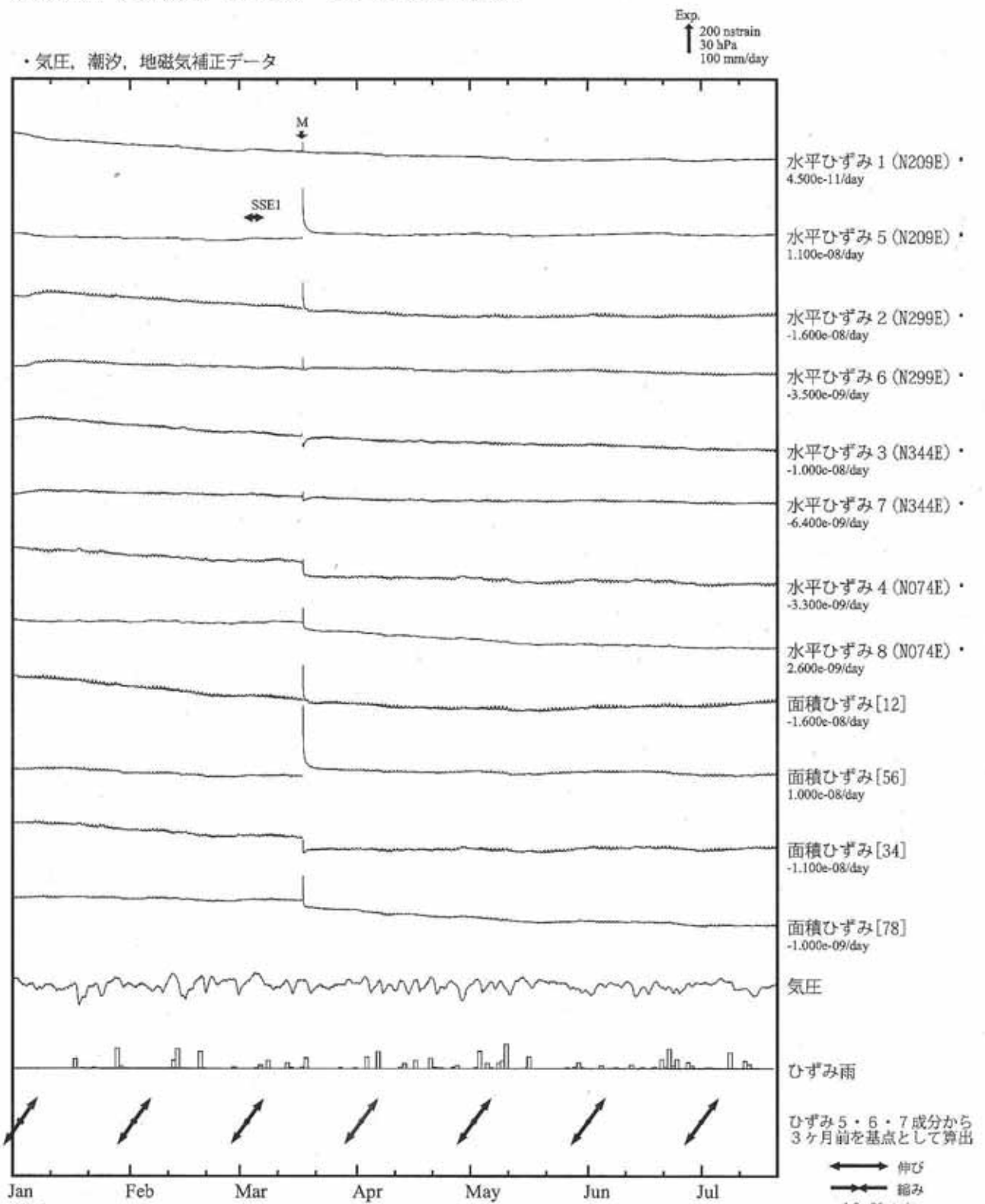


※最大剪断ひずみ、面積ひずみおよび主軸方向は、東北地方太平洋沖地震に伴うステップ状の変化を除去して計算している。

気象庁作成

壳木岩倉（うるぎいわくら） ひずみ変化 時間値

#### ・気圧、潮汐、地磁気補正データ



SSE1 : 短期的ゆっくりすべり 2016.03.02-03.04

## C 地震に伴うステップ状の変化

L : 局所的な変化

S : 局所的な変化  
S : 例年見られる変化

卷之三

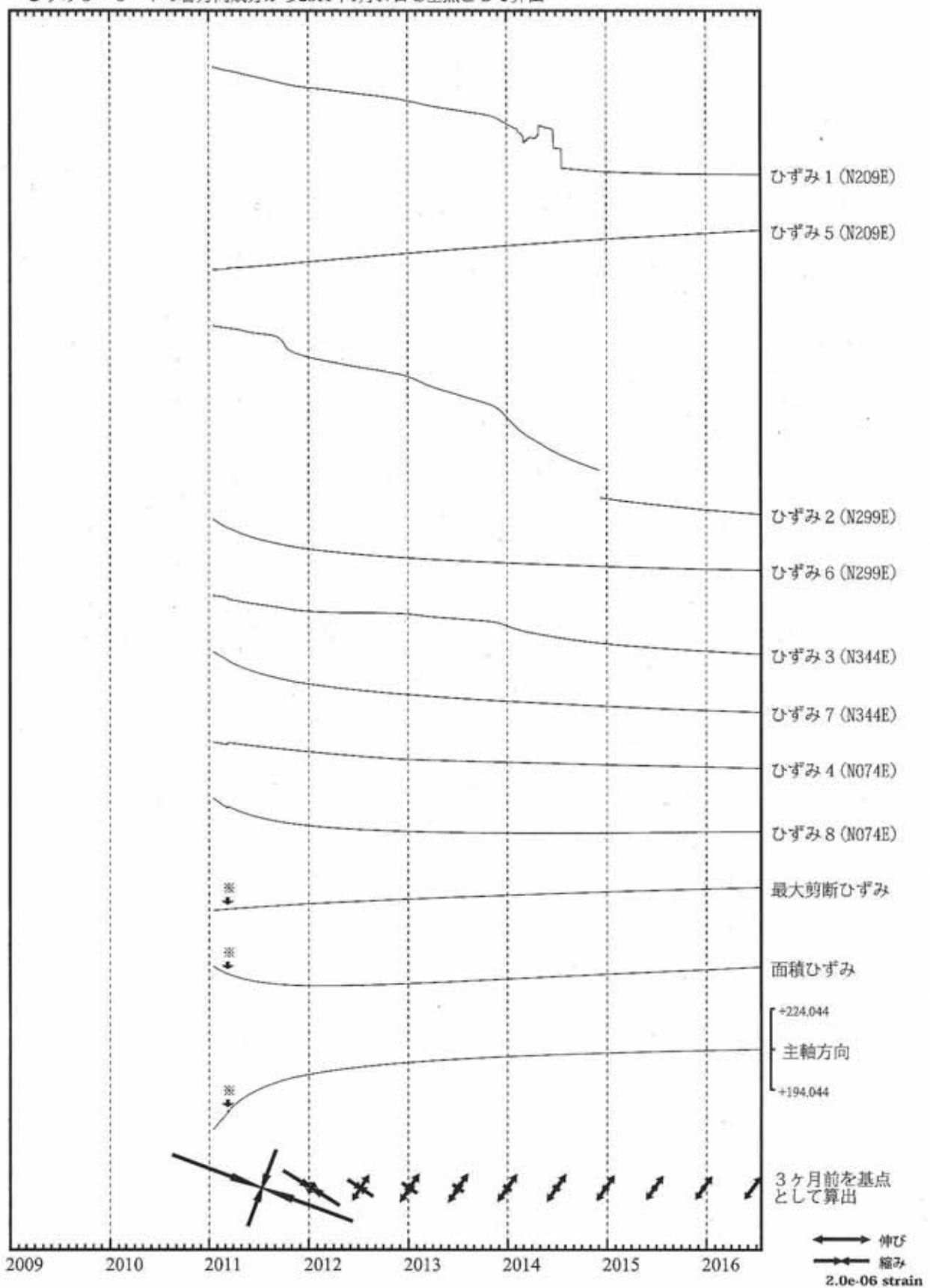
· 諷諭  
· 隊害



## 壳木岩倉 ひずみ変化 日値

・最大剪断ひずみ、面積ひずみおよび主軸方向は  
ひずみ5・6・7の各方向成分から2011年1月17日を基点として算出

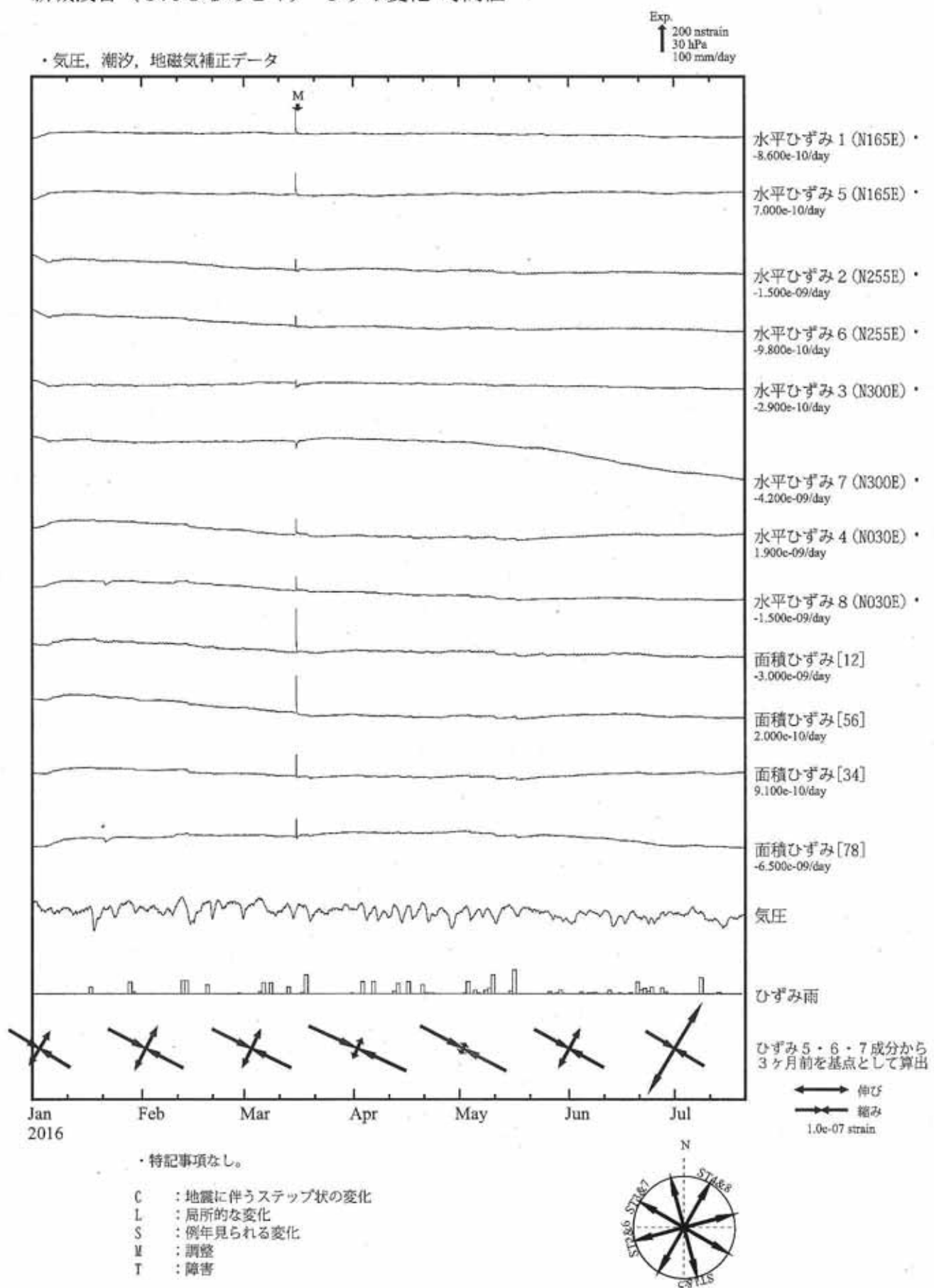
Exp.  
↑ 20000 nstrain



※最大剪断ひずみ、面積ひずみおよび主軸方向は、東北地方太平洋沖地震に伴うステップ状の変化を除去して計算している。

気象庁作成

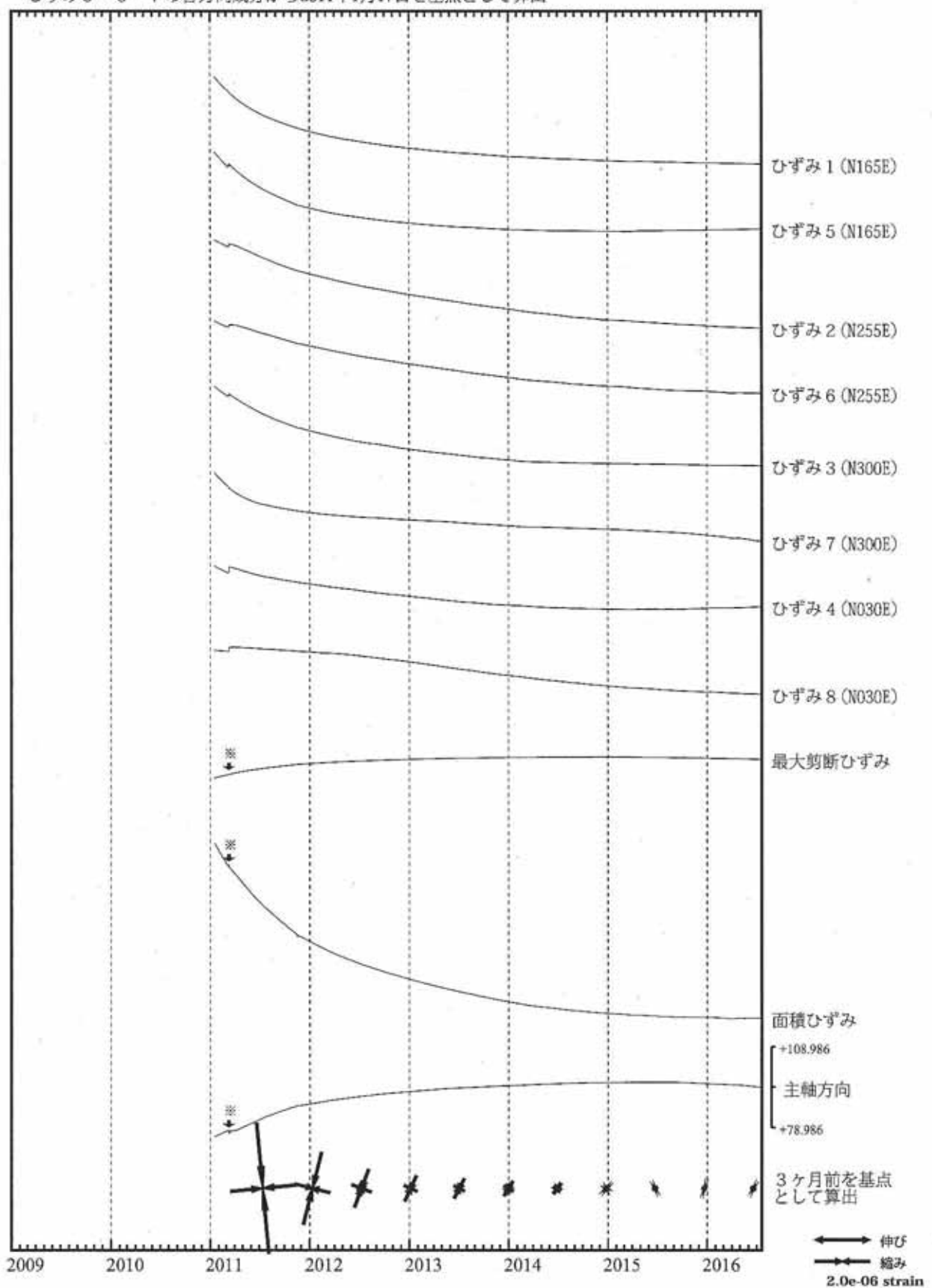
## 新城浅谷（しんしろあさや）ひずみ変化 時間値



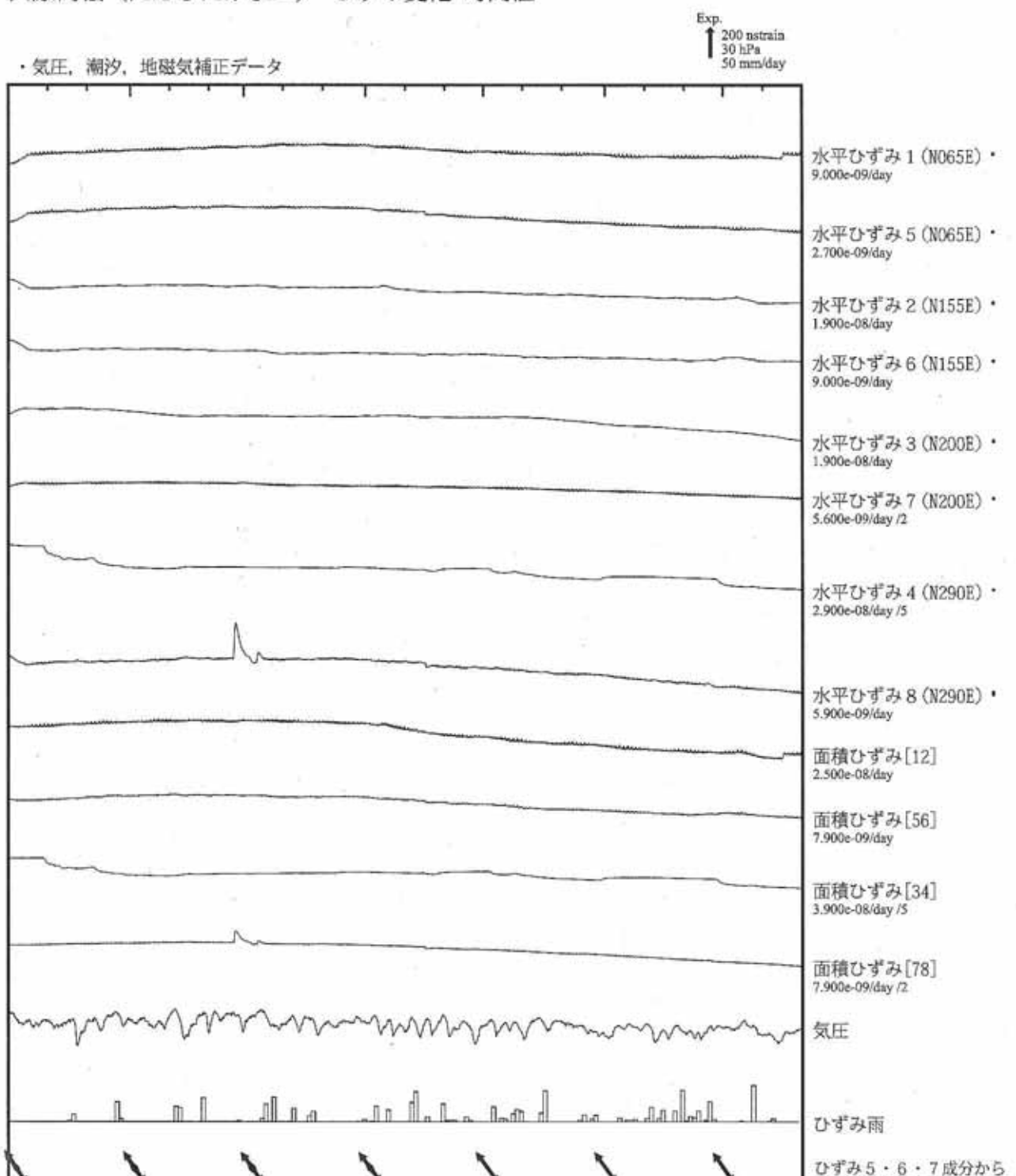
## 新城浅谷 ひずみ変化 日値

・最大剪断ひずみ、面積ひずみおよび主軸方向は  
ひずみ5・6・7の各方向成分から2011年1月17日を基点として算出

Exp.  
↑ 5000 nstrain



## 田原高松（たはらたかまつ）ひずみ変化 時間値



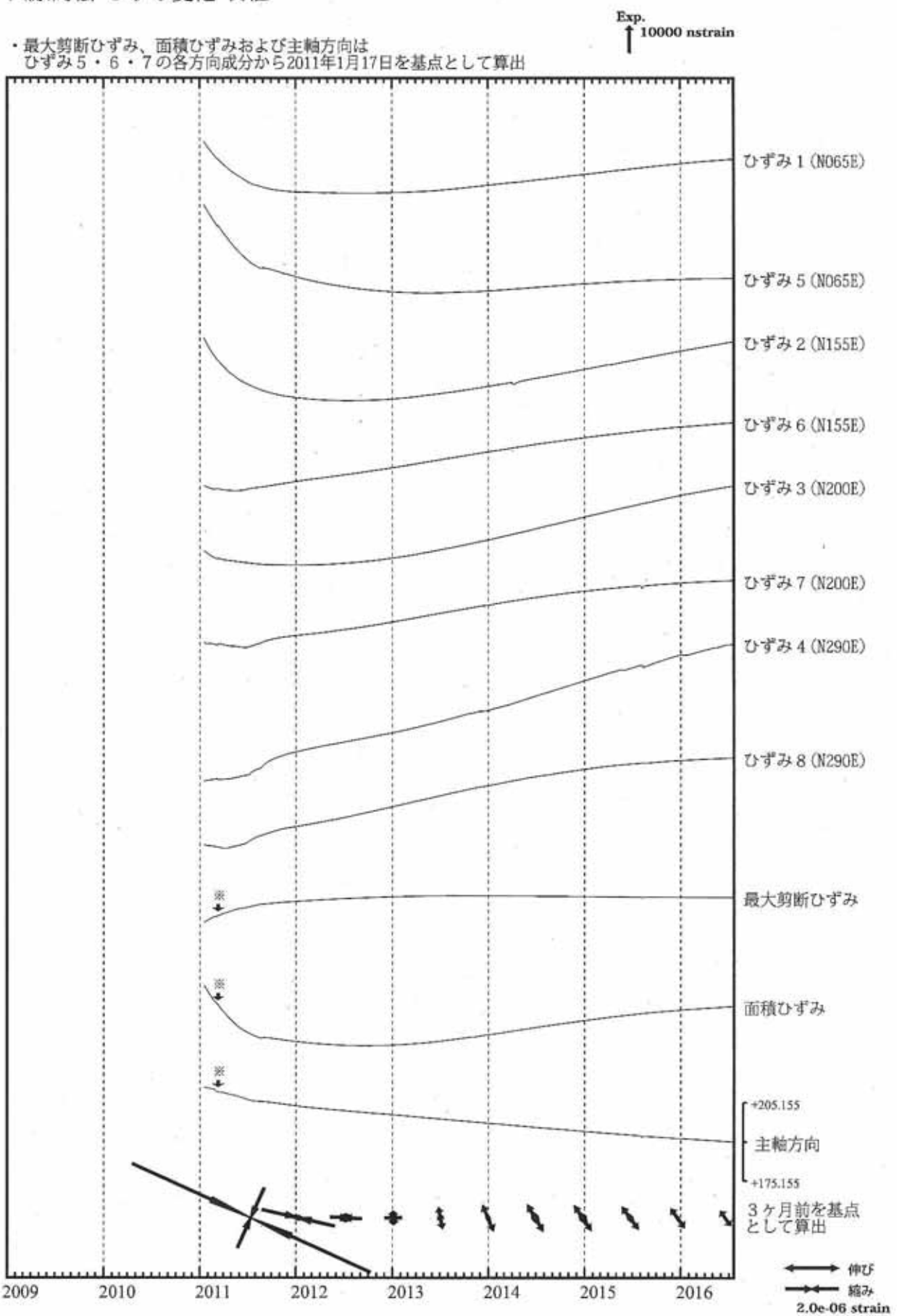
Jan  
2016

• 特記事項なし。

- C : 地震に伴うステップ状の変化
- L : 局所的な変化
- S : 例年見られる変化
- M : 調整
- T : 障害



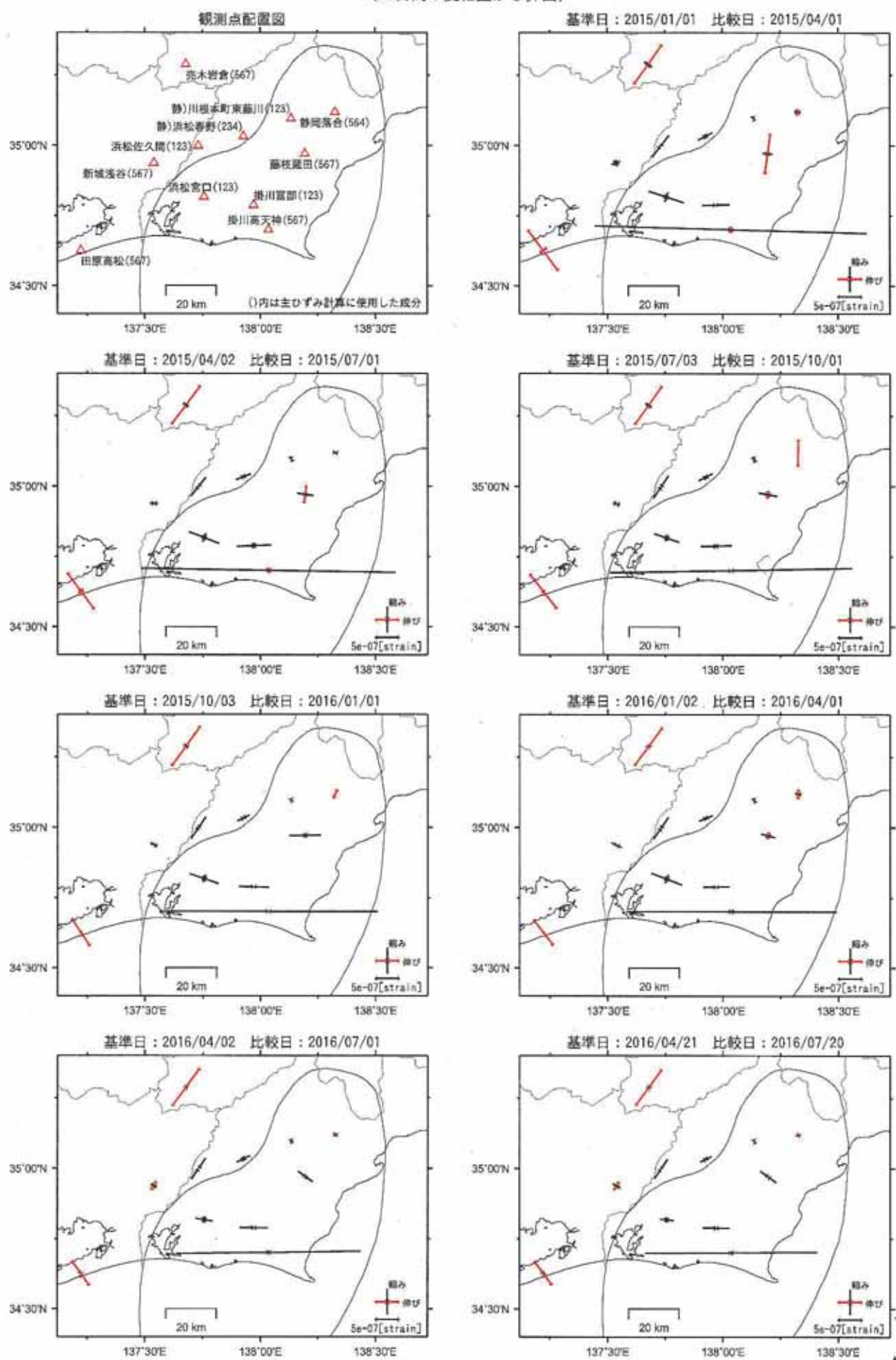
## 田原高松 ひずみ変化 日値



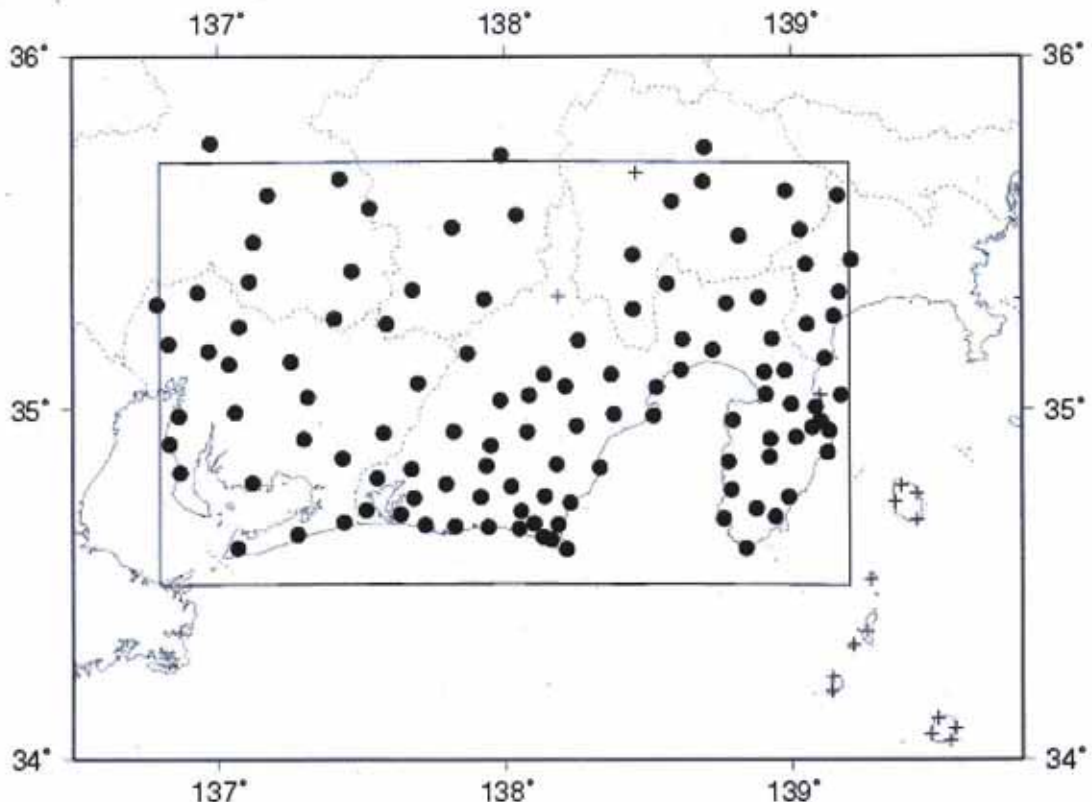
気象庁作成

# 多成分ひずみ計日值による主ひずみ解析結果

(90日間の変化量から算出)



## GNSS 6時間値による面的監視



対象範囲(内側の矩形内)と使用観測点(●印)。+印の観測点はデータ不安定などにより今回の解析に使用していない。

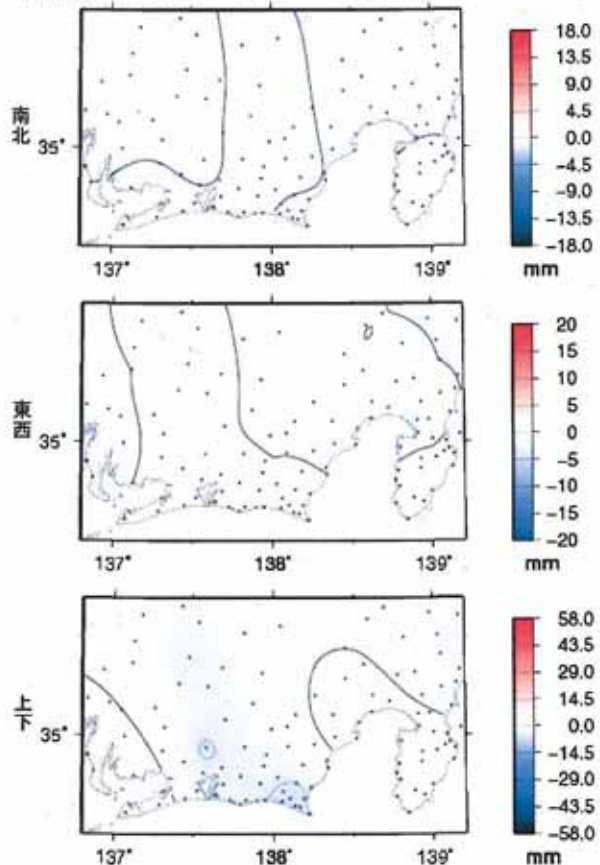
東海地域におけるGNSS6時間値(国土地理院)を用いて、最近1日間及び1週間の中央値を過去と比較した。異常検知の閾値(ノイズレベル)は、2006年1月～2007年12月の2年間分のデータを元に、1年に1回出現する最大値・最小値を把握できる値を求め設定。

夏季に解析値のばらつきが見られるほかは特に目立った変位は見られない。

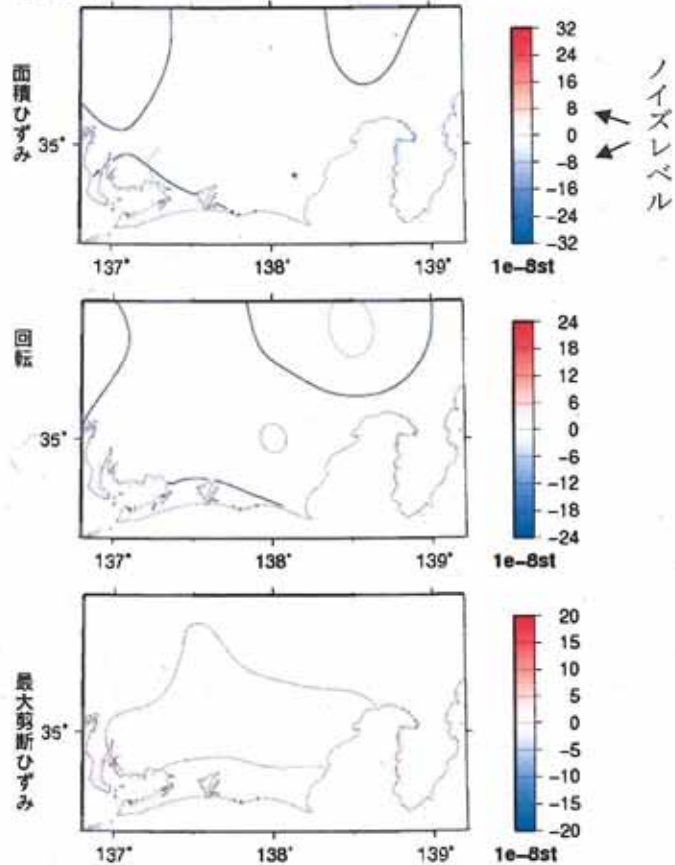
※GNSS (Global Navigation Satellite System)とは、GPSをはじめとする衛星測位システム全般をしめす呼称。

## 最近1日間とその前1週間との比較

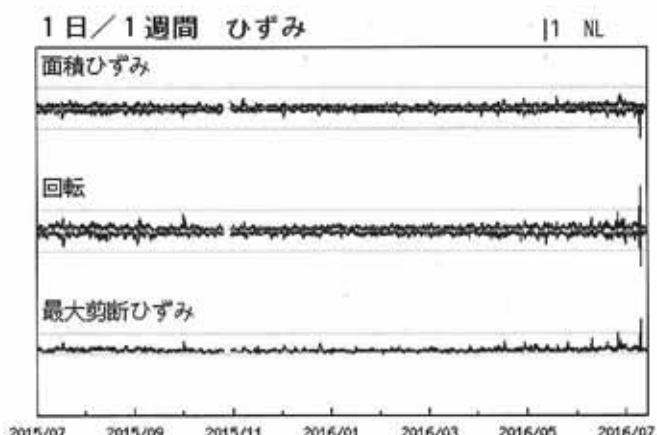
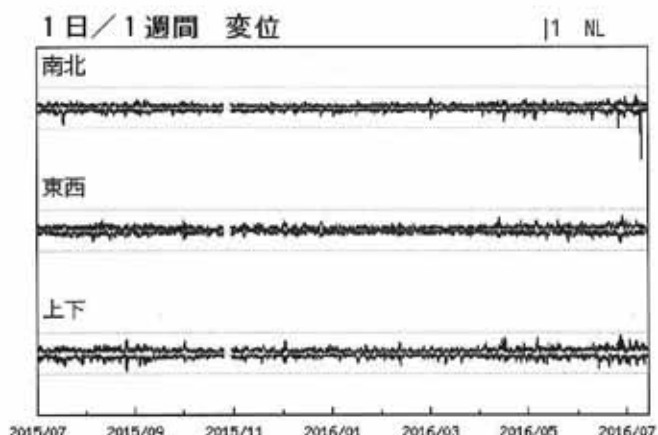
対象期間：2016/07/19 00:00 - 2016/07/20 00:00 UTC (1日)  
 基準期間：2016/07/12 00:00 - 2016/07/19 00:00 UTC (1週間)



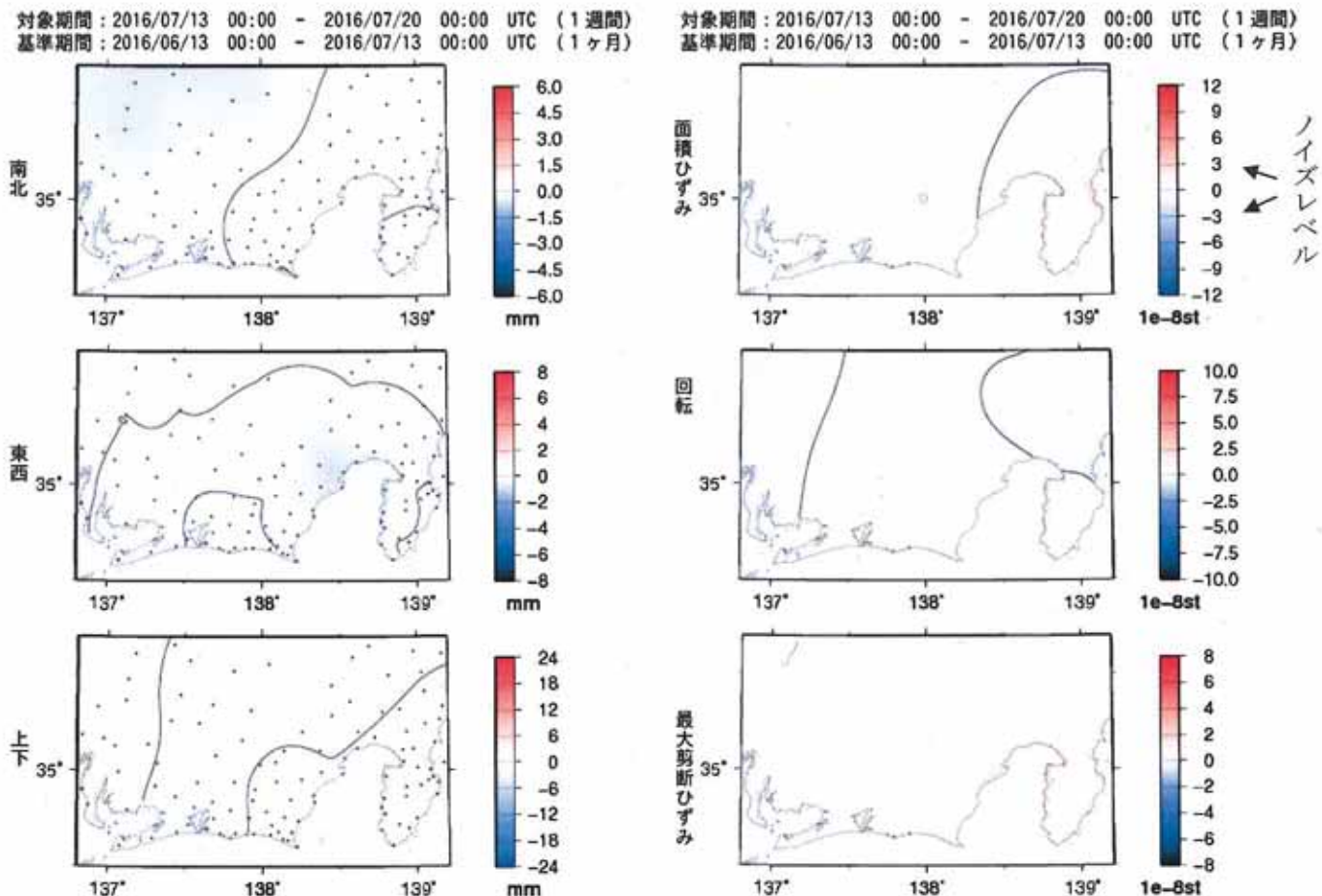
対象期間：2016/07/19 00:00 - 2016/07/20 00:00 UTC (1日)  
 基準期間：2016/07/12 00:00 - 2016/07/19 00:00 UTC (1週間)



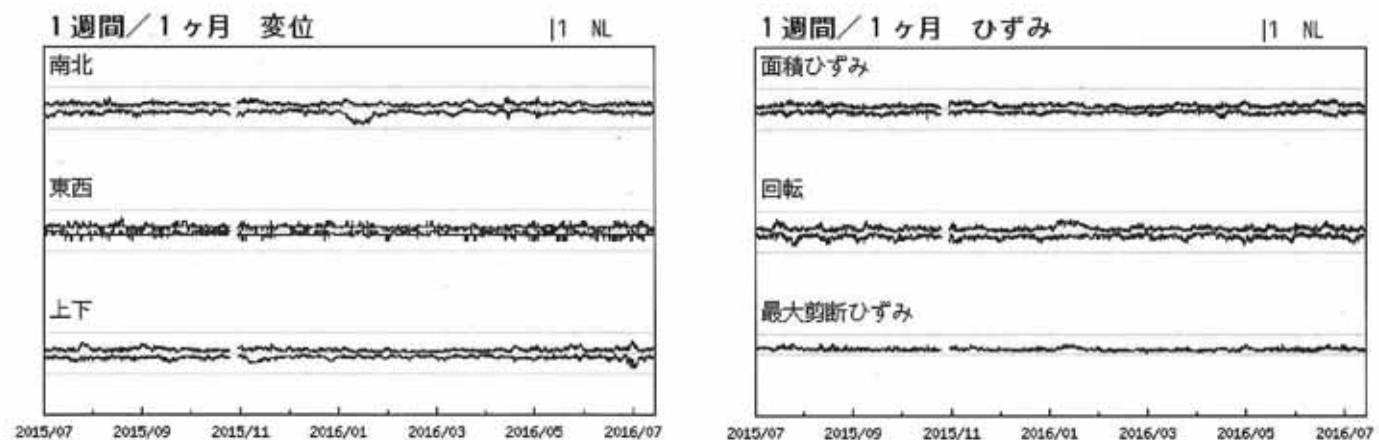
## 最近1年間(2015年7月1日00:00～2016年7月20日00:00)の 面的監視による対象範囲内の最大値の経過



## 最近1週間とその前1ヶ月間との比較



## 最近1年間(2015年7月1日00:00～2016年7月20日00:00)の 面的監視による対象範囲内の最大値の経過



## GNSS 日値による面的監視

四国地域で、紀伊水道の長期的ゆっくりすべりに伴う変化が見られる。

南海トラフ沿いの地域について東海地域・紀伊半島・四国地域の三つに分け、GNSS日値(国土地理院)を用いて、以下の通り面的監視手法で見た。

- ① 最近1ヶ月間とその前の3ヶ月間との座標変化と水平ひずみ(R3解)
- ② 最近1ヶ月間と1年前の1ヶ月間との座標変化と水平ひずみ(R3解)
- ③ 各対象範囲内の最大値の経過(F3解)

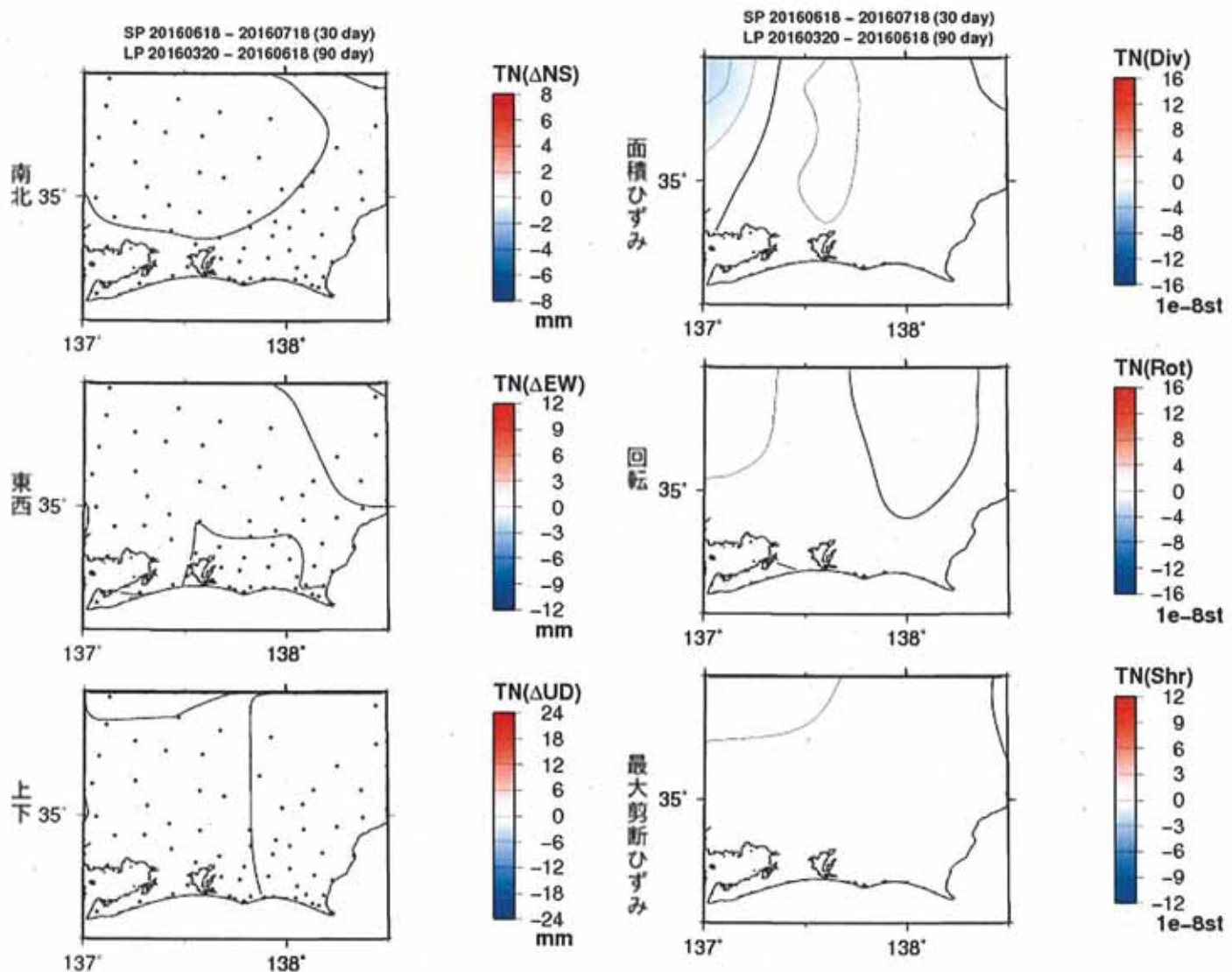
面的監視手法(小林, 2005<sup>1)</sup>)とは、GNSSデータを用いて以下の手順で解析したものである。

1. 観測点ごとに定常変位と見なされる期間の直線トレンドを除去
2. 主な地震に伴うオフセットを除去
3. 各期間中の中央値から、観測点ごとの座標変化を計算
4. 各領域内の座標変化の中央値を固定値として各観測点の変化量を計算
5. 各領域の外周を変化なしと仮定
6. 緯度経度0.5度ごとに変化量の中央値を求め、スプライン関数で平滑化する
7. 平滑化した格子点データからノイズレベルを算出する
8. 格子点データから水平ひずみを計算
9. 得られた格子点データから等值線図を作成
10. 格子点データの最大値・最小値から時系列グラフを作成

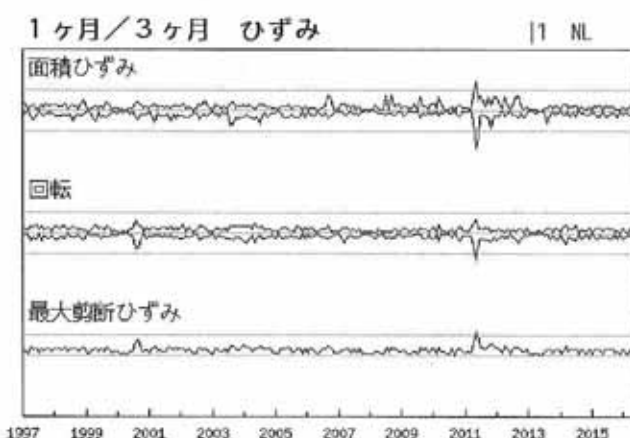
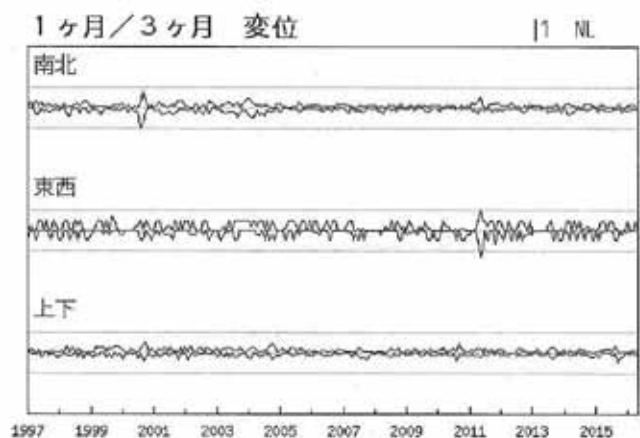
1) 小林昭夫(2005): GPS東海地域3時間解析値の面的監視, 駆震時報第68巻第3~4号 P99~104

※G N S S (Global Navigation Satellite System) とは、G P S をはじめとする衛星測位システム全般をしめす呼称。

## 最近2ヶ月間の変位とひずみ 一東海地域一

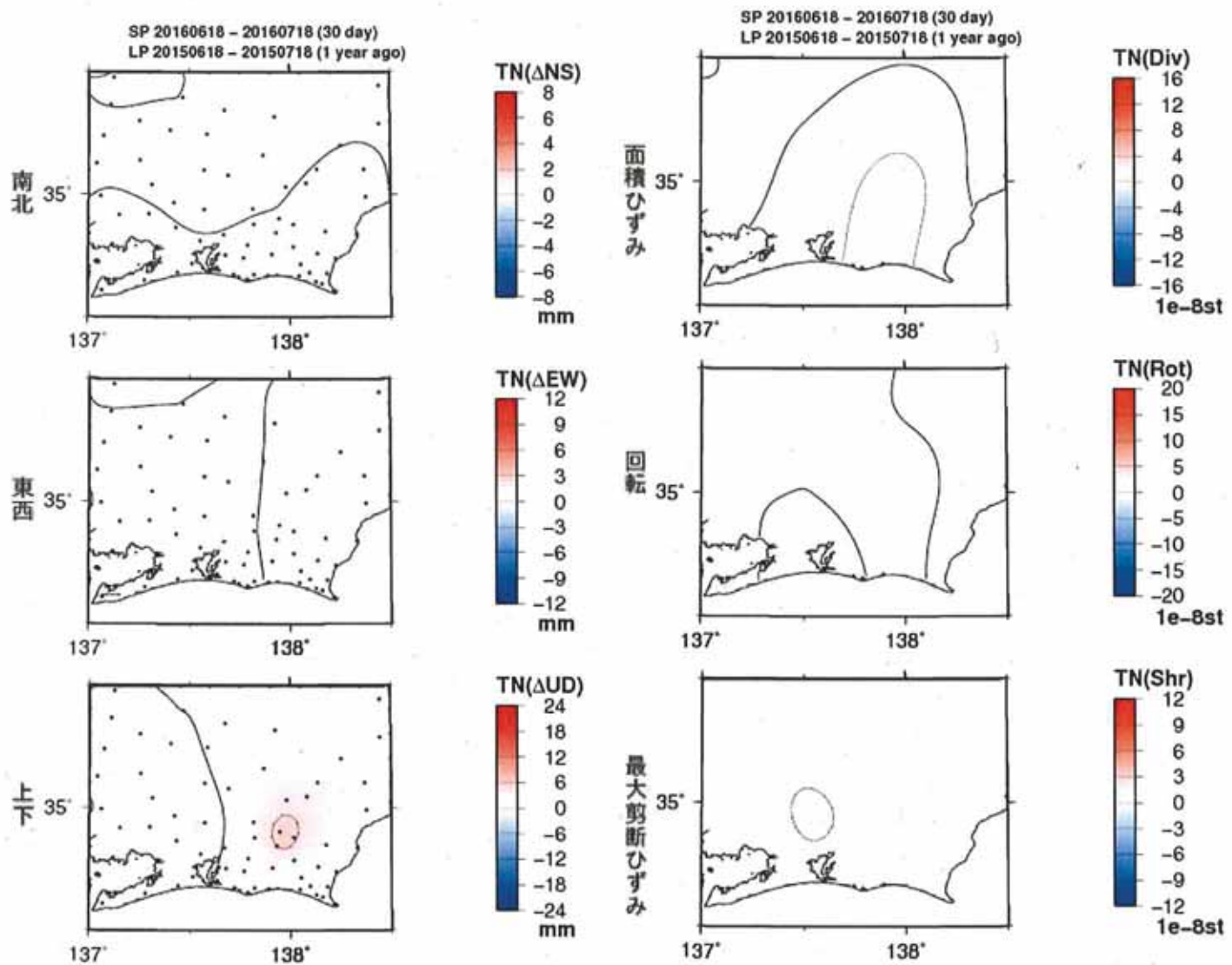


対象範囲内の最大値の経過(1997年1月～2016年6月)

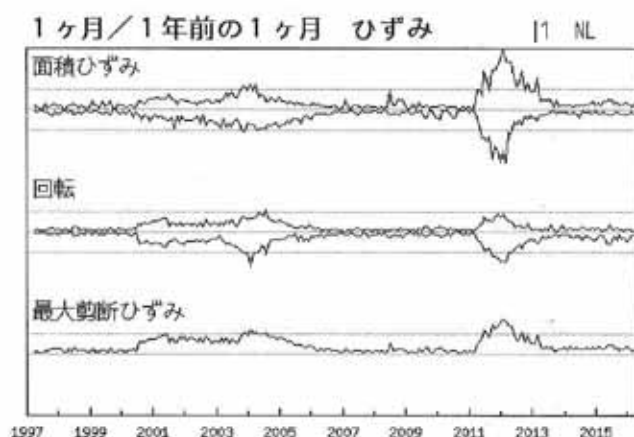
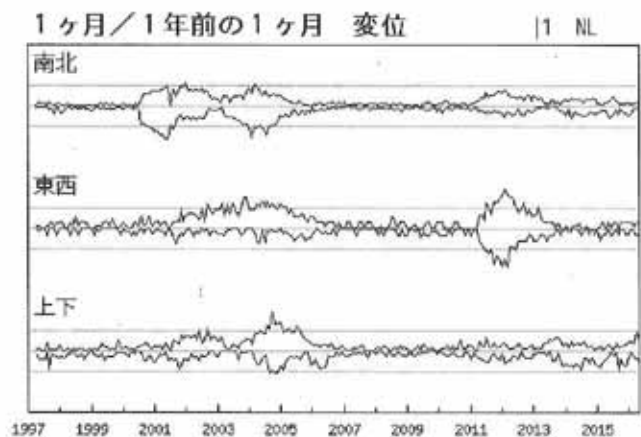


気象庁・気象研究所作成

## 最近1年間の変位とひずみ－東海地域－

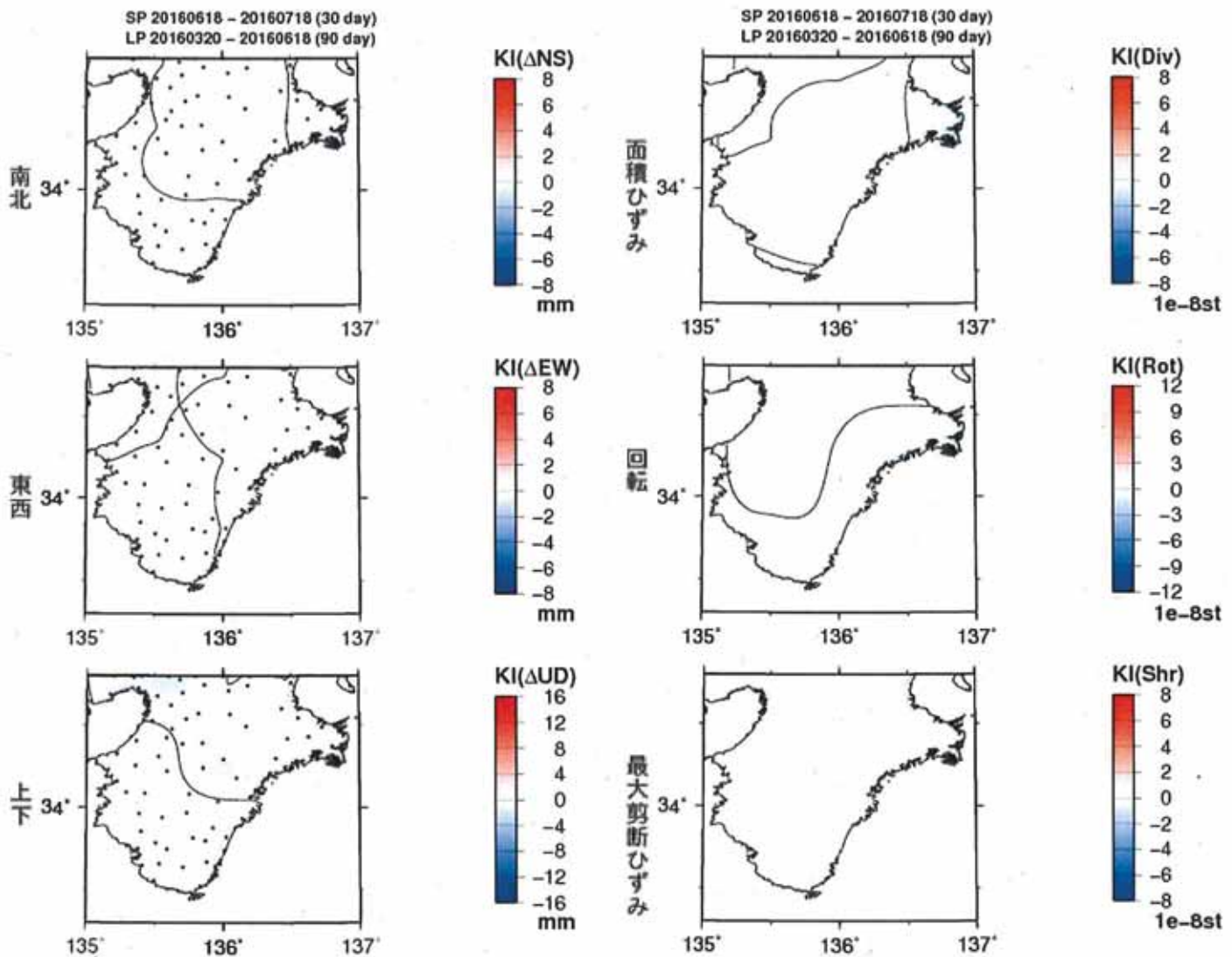


対象範囲内の最大値の経過(1997年1月～2016年6月)

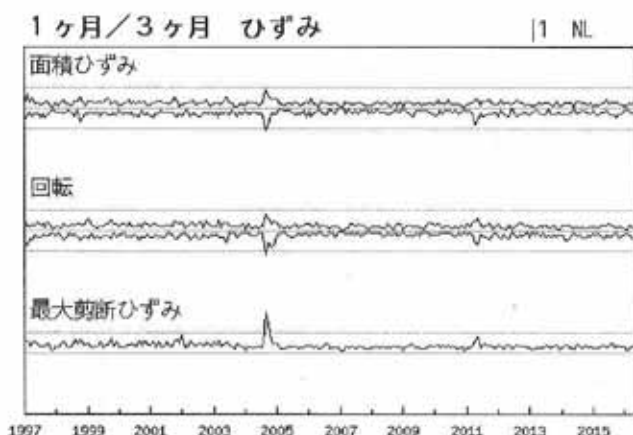
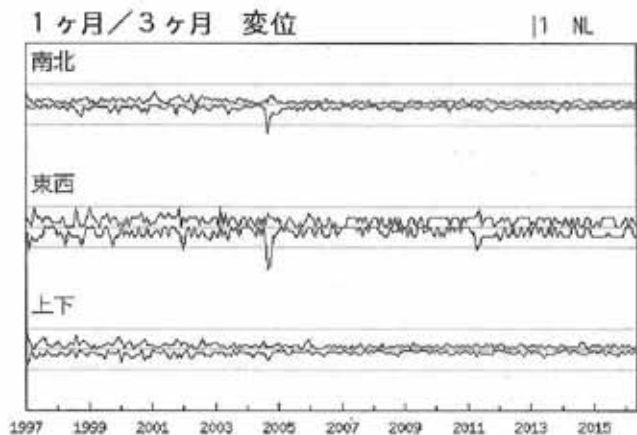


気象庁・気象研究所作成

## 最近2ヶ月間の変位とひずみ 一紀伊半島一

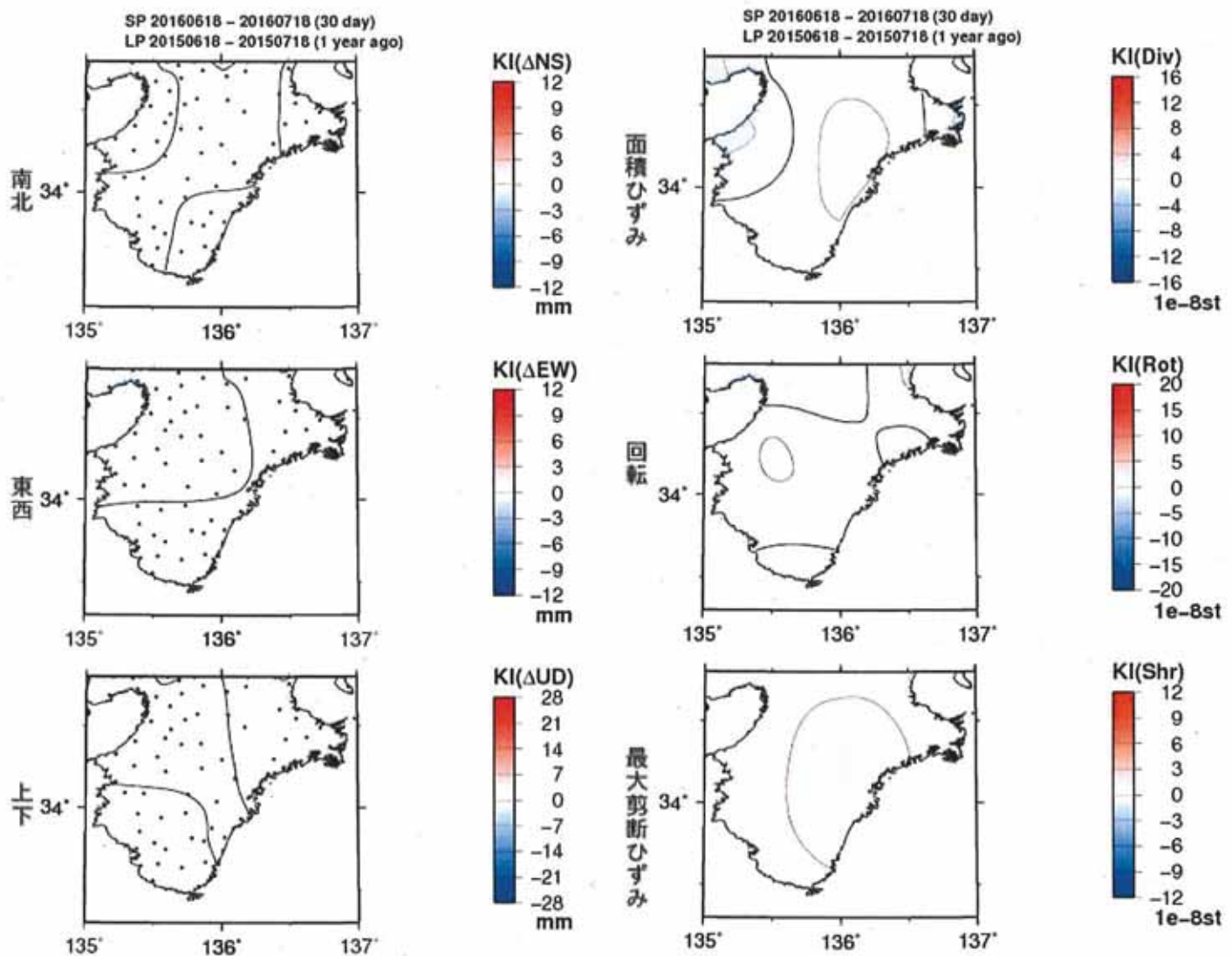


対象範囲内の最大値の経過(1997年1月～2016年6月)

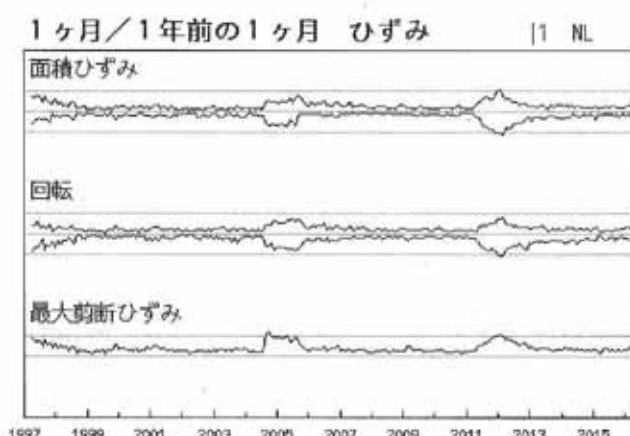
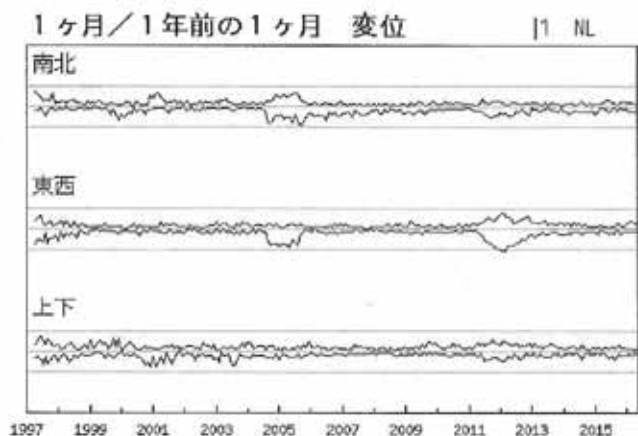


気象庁・気象研究所作成

## 最近1年間の変位とひずみ 一紀伊半島一

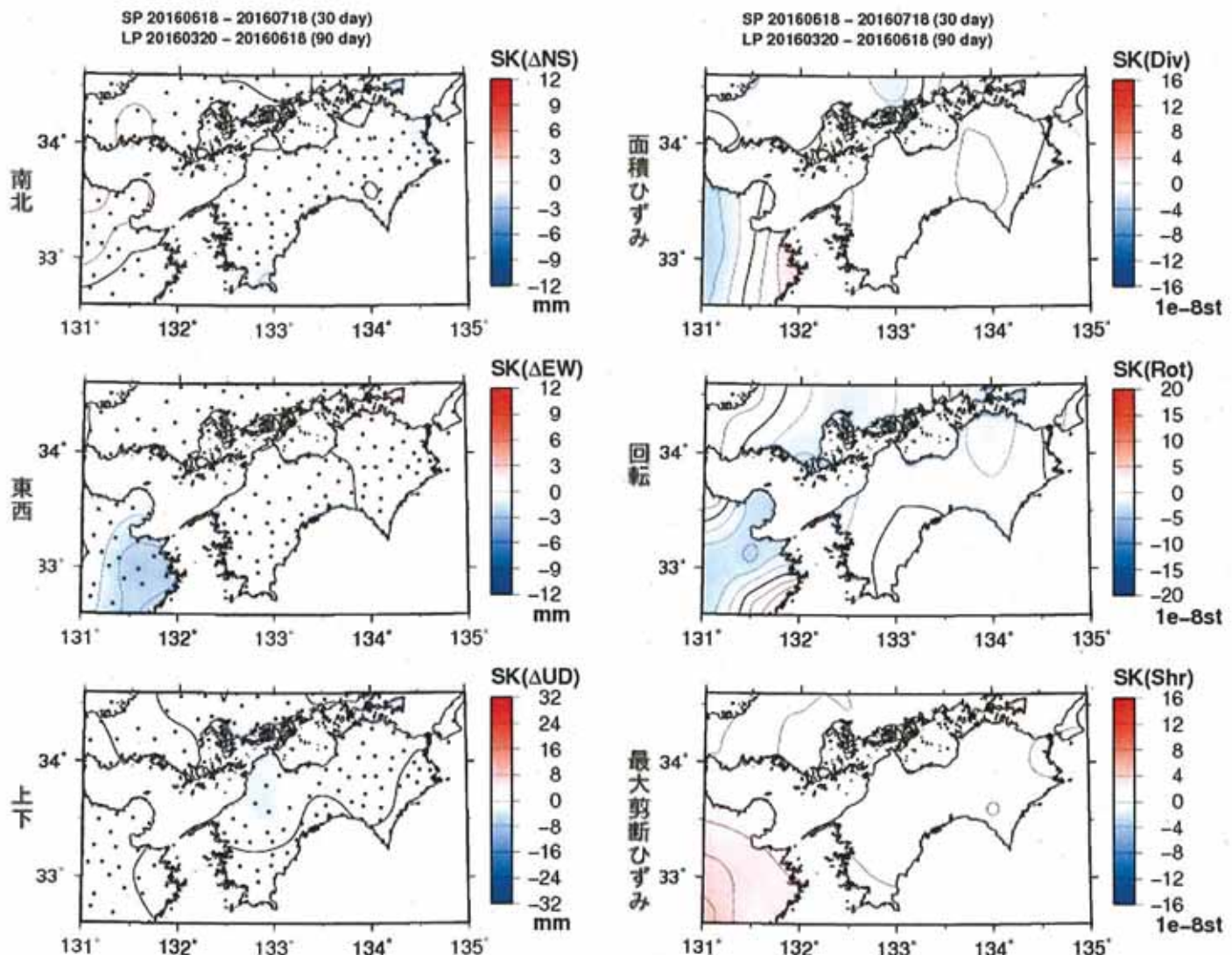


対象範囲内の最大値の経過(1997年1月～2016年6月)

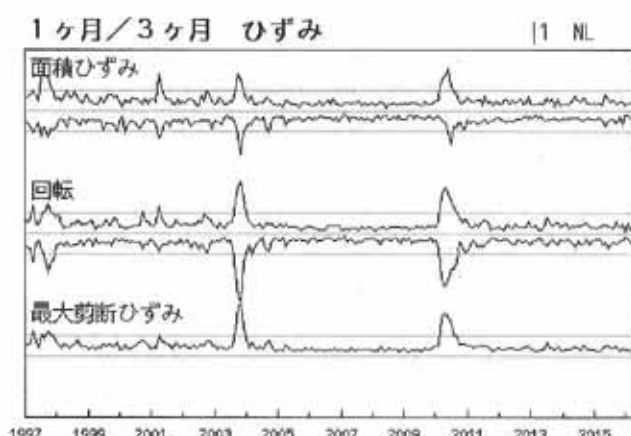
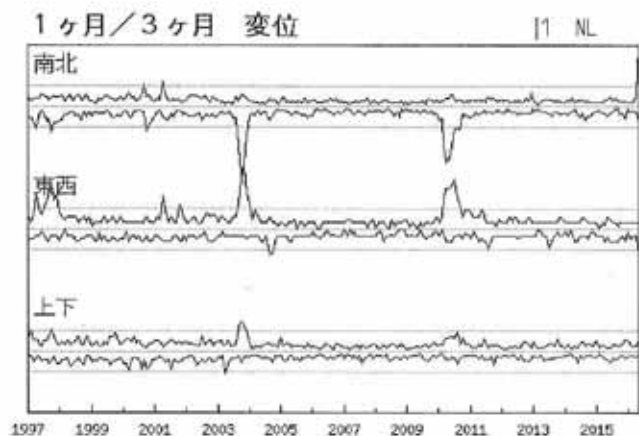


気象庁・気象研究所作成

## 最近2ヶ月間の変位とひずみ 一四国地域一

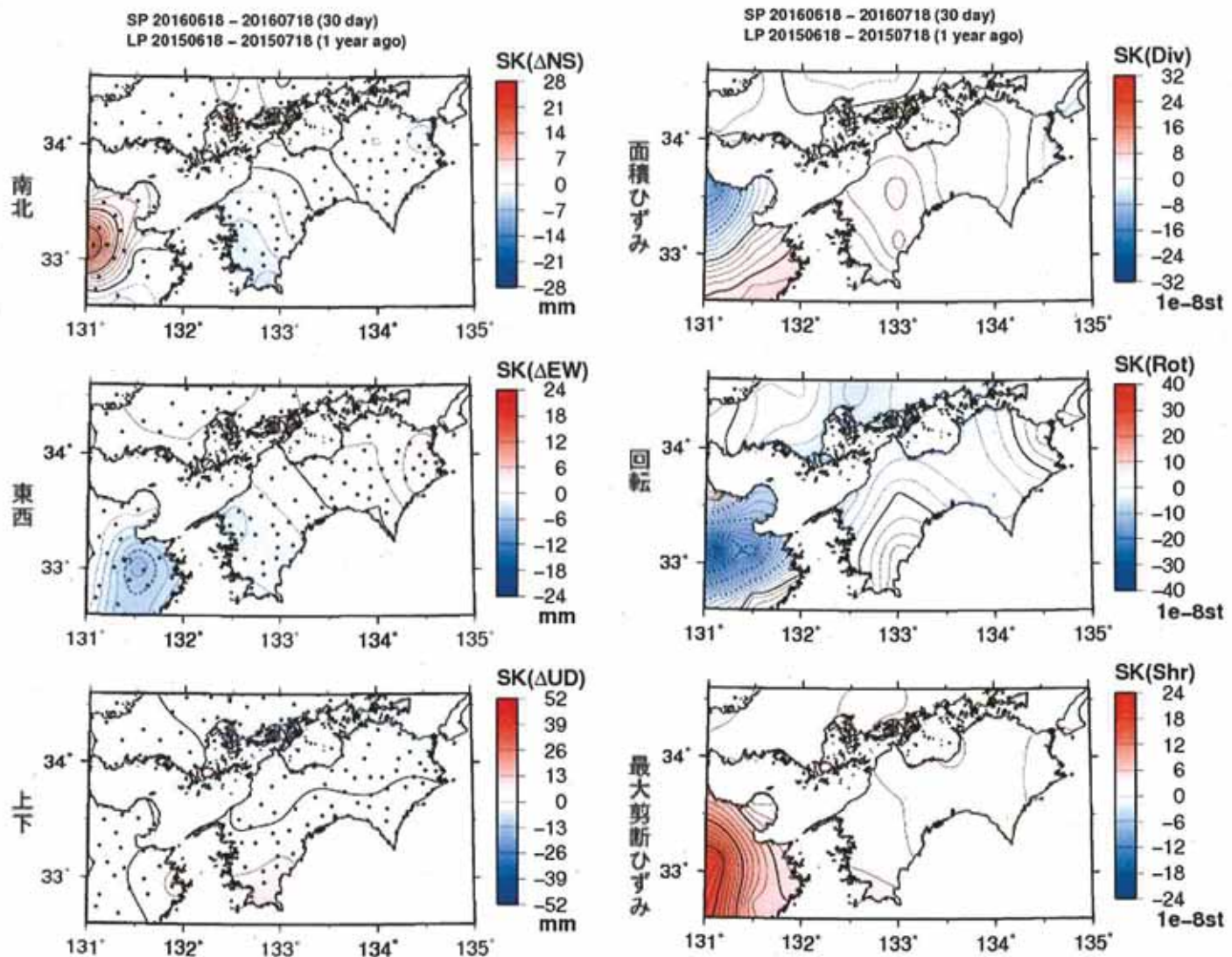


対象範囲内の最大値の経過(1997年1月～2016年6月)

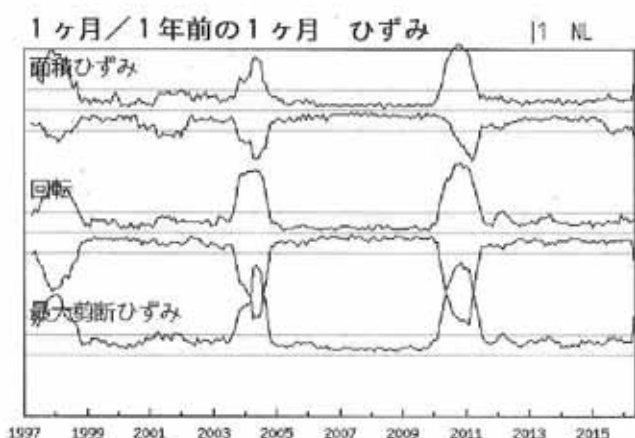
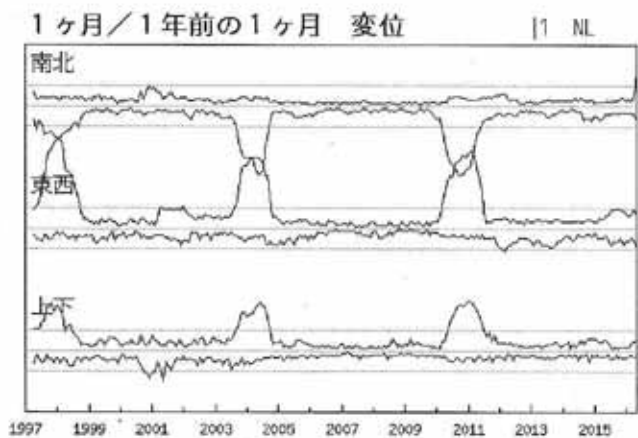


気象庁・気象研究所作成

## 最近1年間の変位とひずみ 一四国地域一

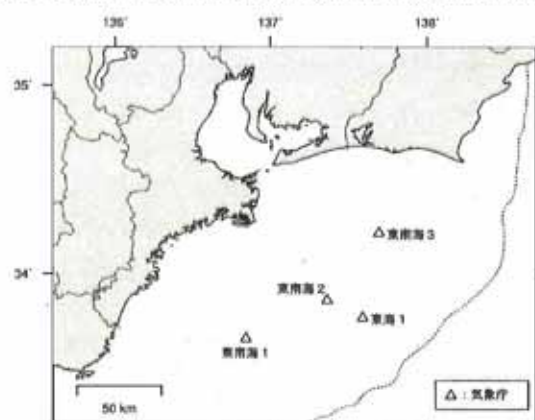
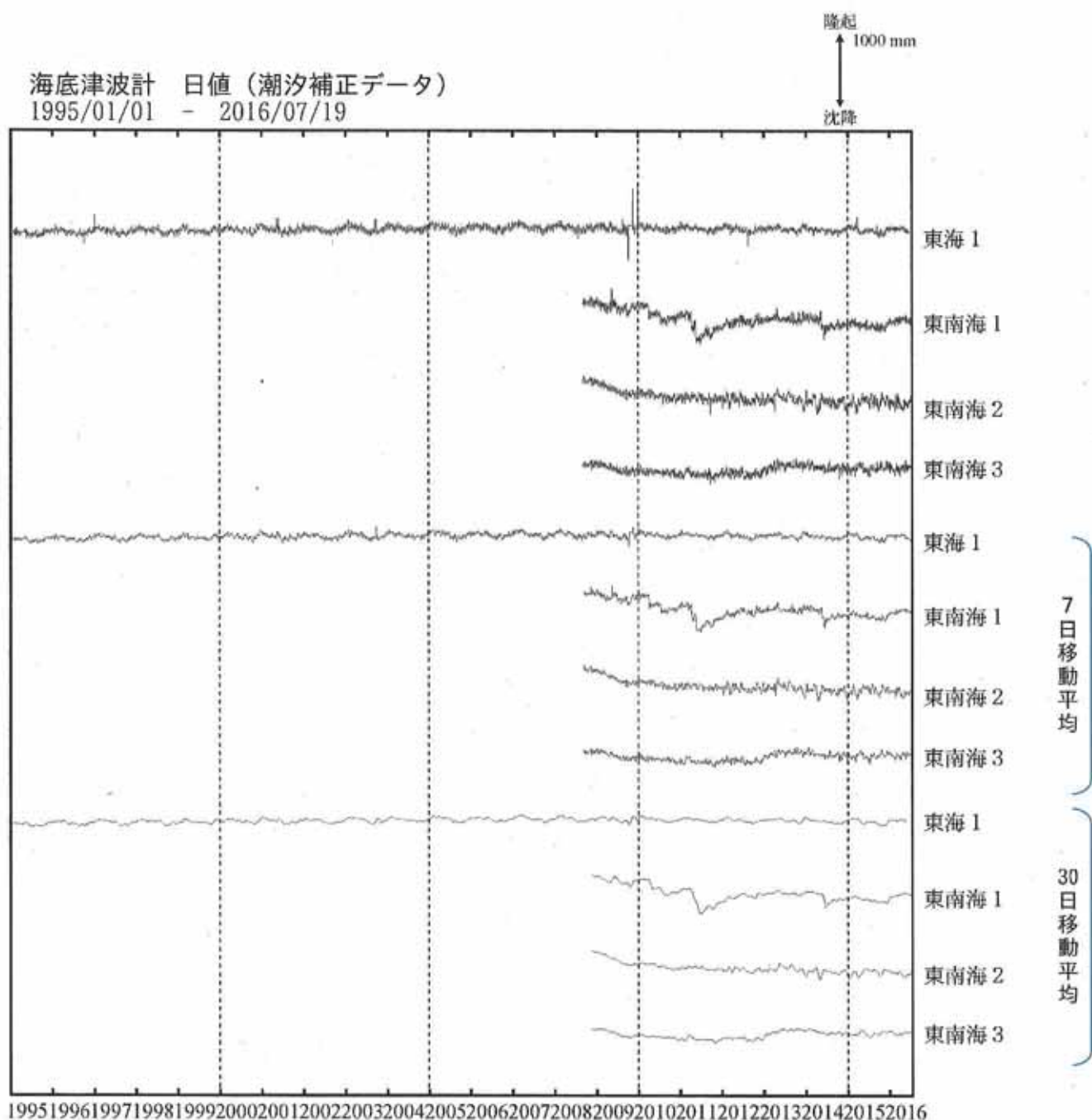


対象範囲内の最大値の経過(1997年1月～2016年6月)

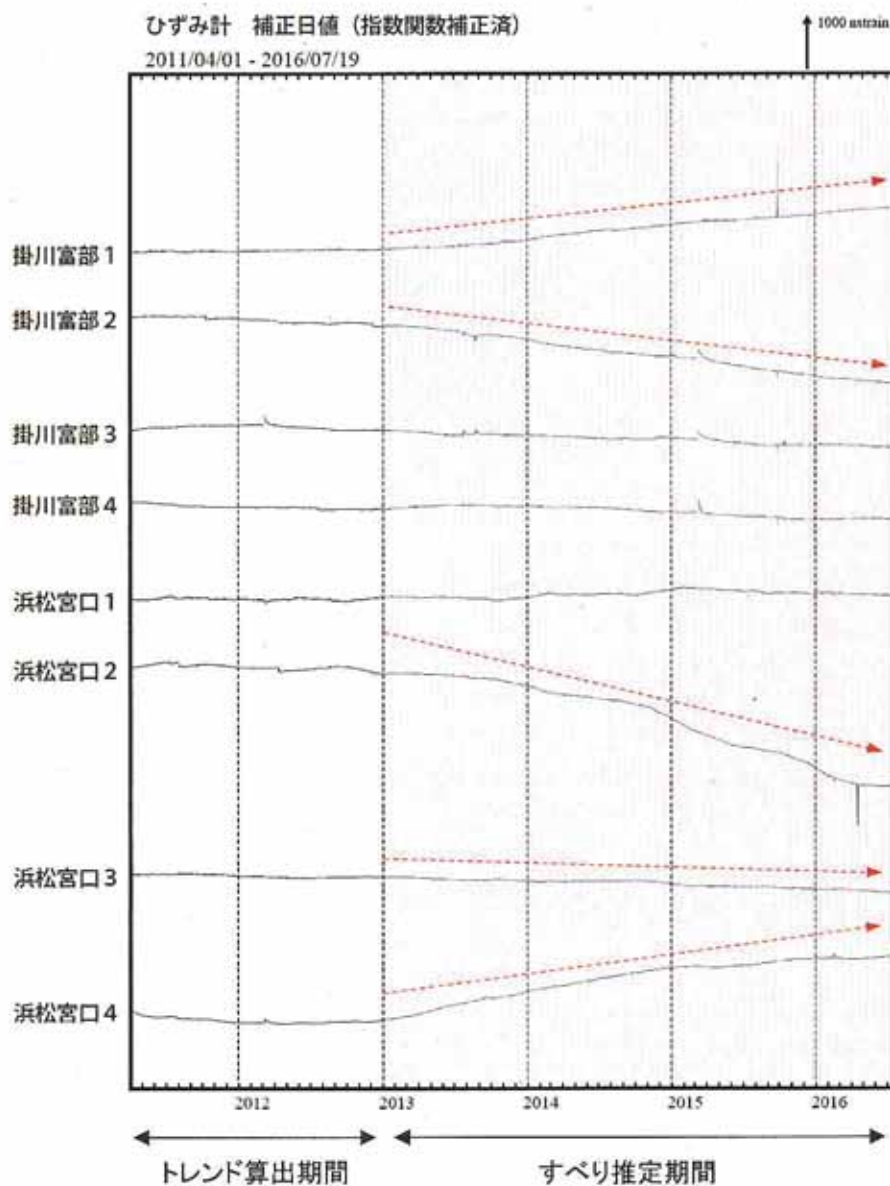


気象庁・気象研究所作成

## 東海・東南海地域の海底津波計記録の長期変化



## ひずみ変化と長期的ゆっくりすべりのすべり推定



ひずみ計の観測結果から、長期的ゆっくりすべりに対応すると思われる変化を読み取り、グリッドサーチの手法で、変動源の断層モデルを推定した。その推定方法は、短期的ゆっくりすべりの解析で行っているものと同じであり、仮定している断層のスケーリング則が、ターゲットとしている長期的ゆっくりすべりに当てはまらない可能性がある。また、解析に使用できた観測点は2点のみであり、この結果の精度はあまり高くはない。

### ひずみ変化を説明しうる断層モデル候補

Mw6.6～6.9



断層モデル候補は、中村・竹中(2004)<sup>1)</sup>によるグリッドサーチの手法※により求めた。プレート境界と断层面の形状はHirose et al.(2008)<sup>2)</sup>による。

※ 断層モデル候補の中心とその規模(Mw)を、すべりがプレート界面上でプレートの沈み込み方向と反対に発生したと仮定し、考え得る全ての解を前提として得られる理論値と観測値を比較し、合致するものを抽出する手法

1) 中村浩二・竹中潤、東海地方のプレート間すべり推定ツールの開発、震震時報、68, 25-35, 2004

2) Hirose, F., J. Nakajima, A. Hasegawa, Three-dimensional seismic velocity structure and configuration of the Philippine Sea slab in southwestern Japan estimated by double-difference tomography, J. Geophys. Res., 113, B09315, doi:10.1029/2007JB005274, 2008

## ひずみ日値のスタッキングによる長期的ゆっくりすべりの検出について

### ○各グリッドでの時系列変化

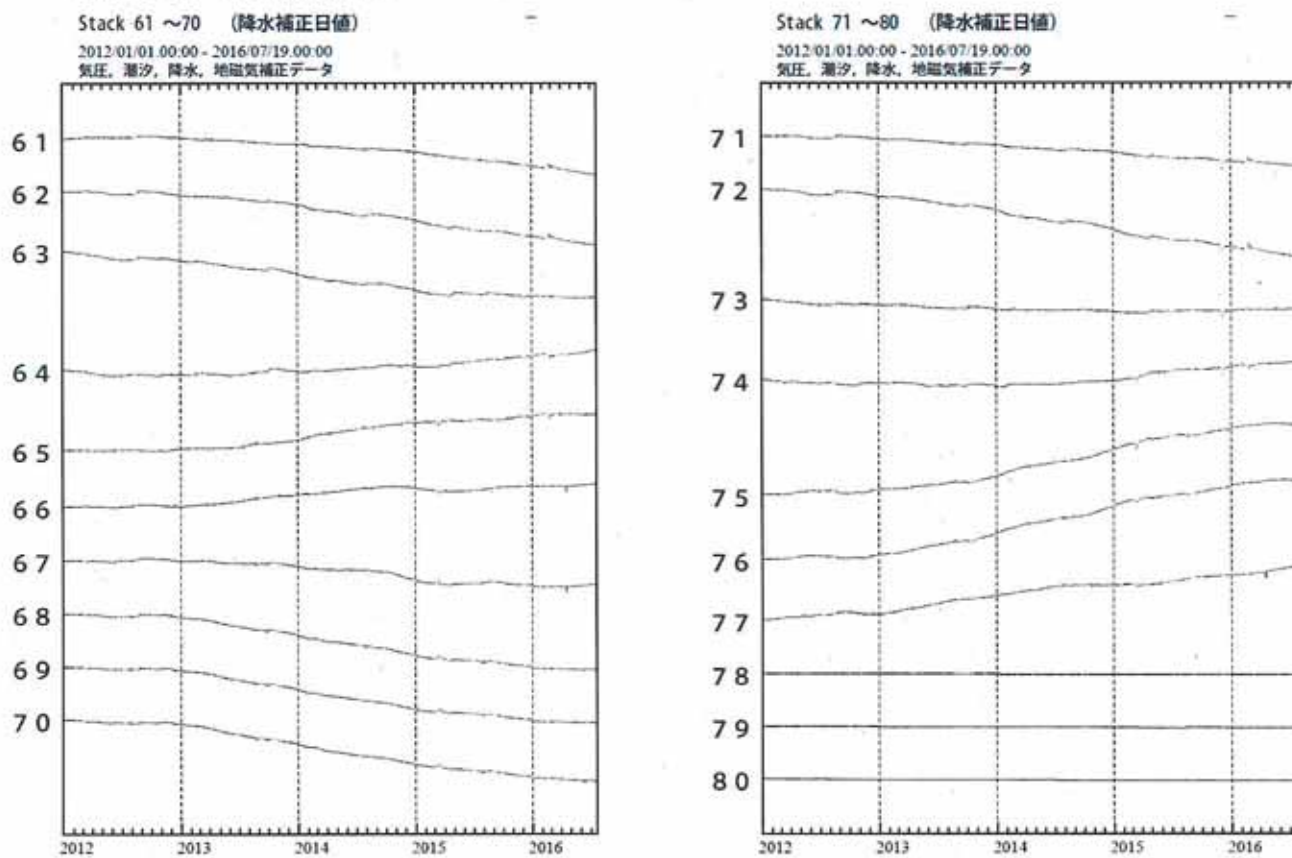


図1：日値スタッキング波形。番号は監視グリッド（図2参照）を示す。

データ : 補正日値（体積ひずみ計と1998年から2002年整備の多成分ひずみ計）  
主な地震および短期的 SSE による変化をオフセットとして除去  
ひずみ計の長期変化について、指數関数で近似して補正  
ノイズレベル : 2011年6月～2012年12月の、60日階差（単純な階差）の標準偏差  
理論値計算 : 0.15° ごとの各グリッドを中心とする、20×20km の断層  
トレンド : 2012年7月～12月の期間のトレンドを除去している

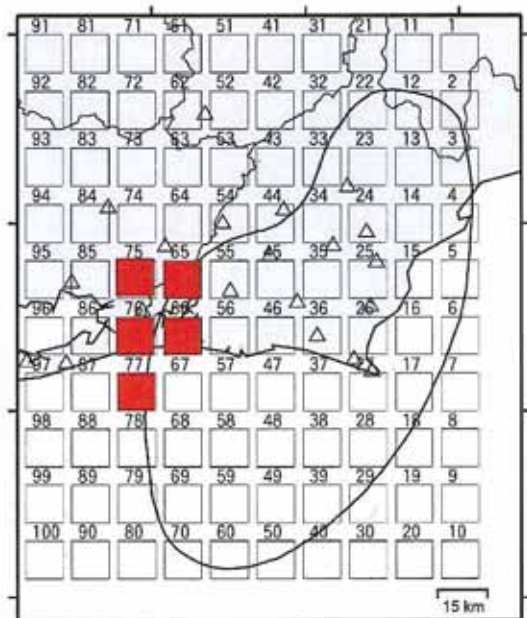


図2：グリッド配置およびすべり位置

グリッド No.65, 66 及び 75~77 に明瞭な変化が見られる。総すべり量は Mw6.7 相当となる。

□スタッキンググリッド

\* スタッキング手法は、複数のひずみ計のデータを重ね合わせることによって、微小な地殻変動のシグナルを強調させて、検知能力を向上させる解析方法である。

#### 参考文献

宮岡一樹, 横田 崇 (2012) : 地殻変動検出のためのスタッキング手法の開発—東海地域のひずみ計データによるプレート境界すべり早期検知への適用—, 2012, 地震, 2, 65, 205-218.